

# 星震学(Asteroseismology)

一振動(脈動)から知る恒星内部：主系列星から超新星親星まで一

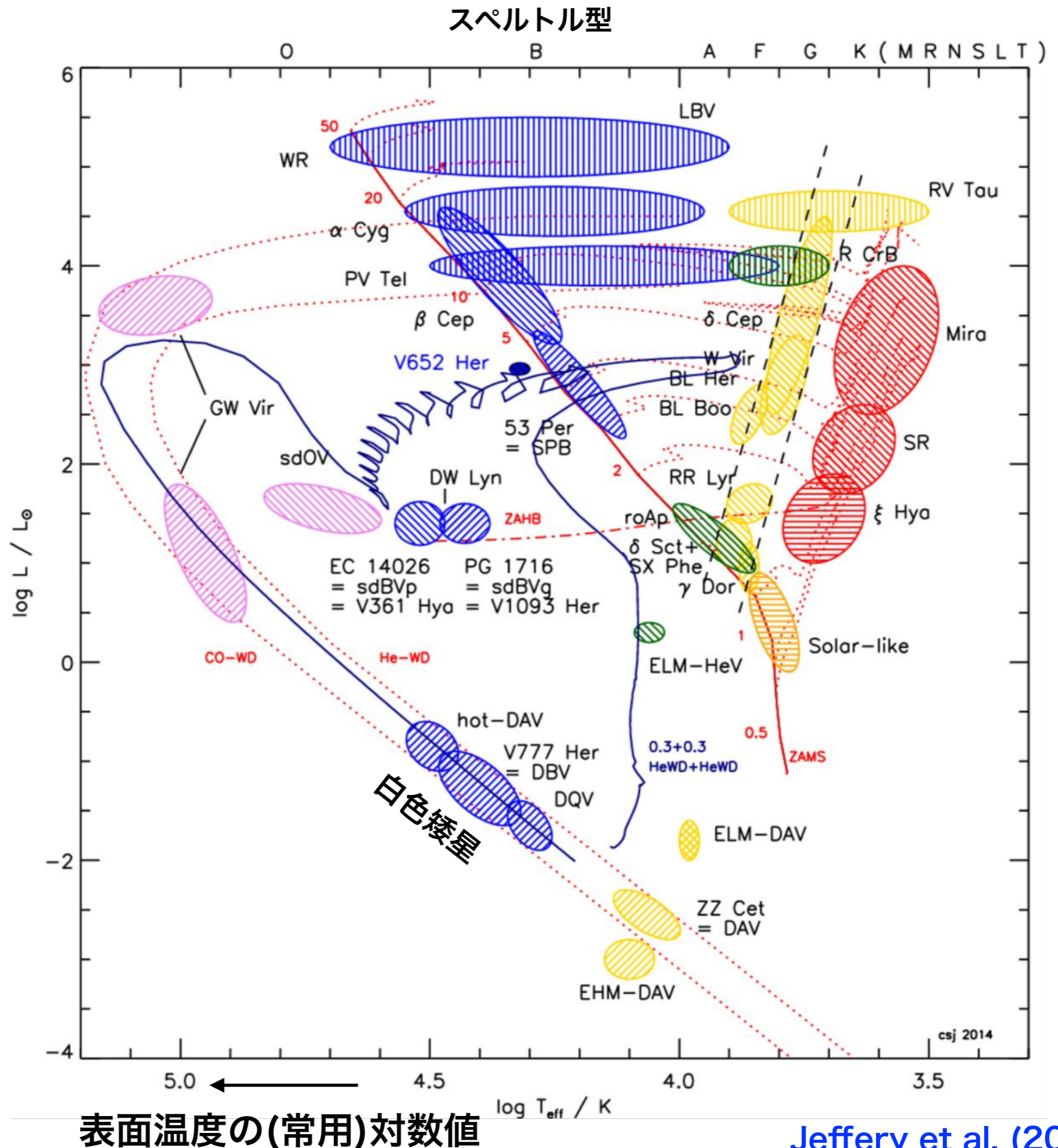
## 齊尾英行 (東北大学)

1. 恒星振動(脈動) の 基本的性質
2. 恒星振動から知る恒星自転速度
3. r (Rossby) mode 振動
4. 脈動周期変化率と恒星進化速度
5. 進化の進んだ大質量星の脈動
6. Betelgeuse ( $\alpha$  Ori) の脈動

# Pulsational variables in the HRD

L = luminosity  
 星表面から毎秒放出されるエネルギー

☉ = 太陽

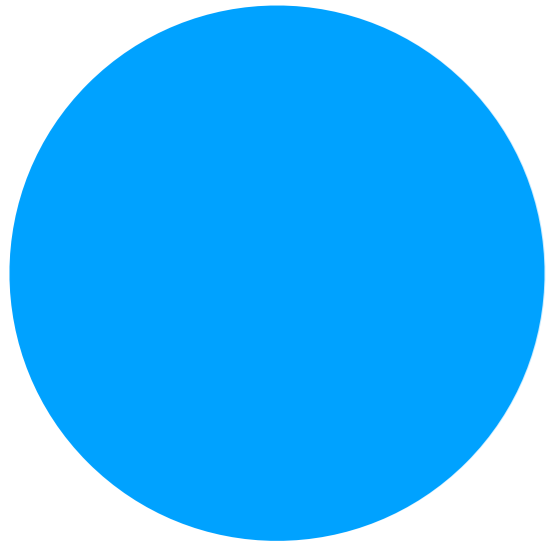




# Radial & Non-radial pulsations

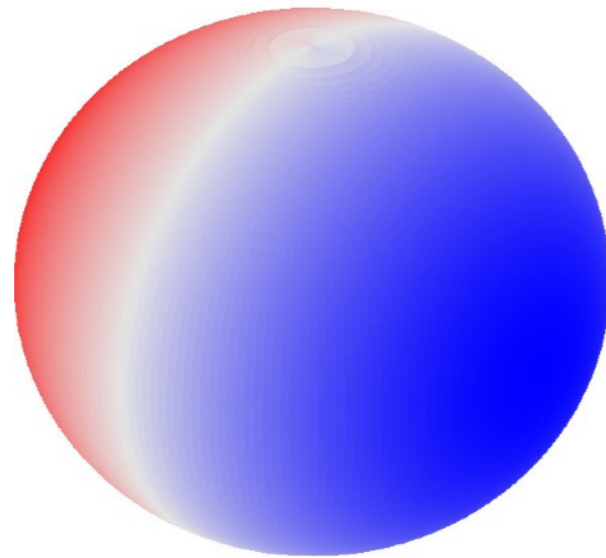
$$Y_\ell^m(\theta, \phi)e^{i\omega t}$$

$$\ell = 0, m = 0$$

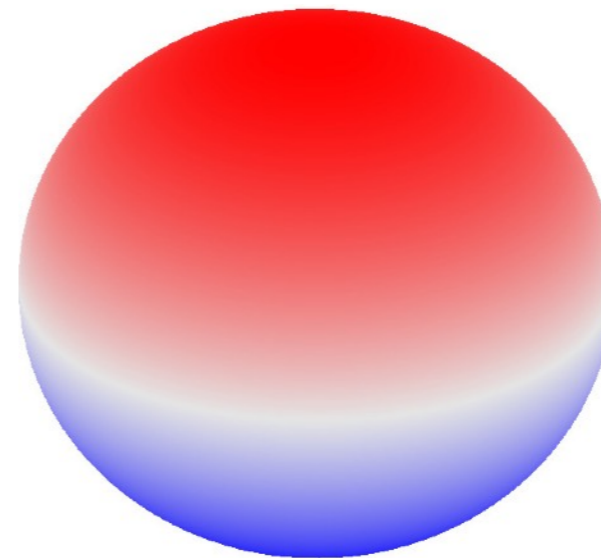


Radial pulsation  
(動径脈動)

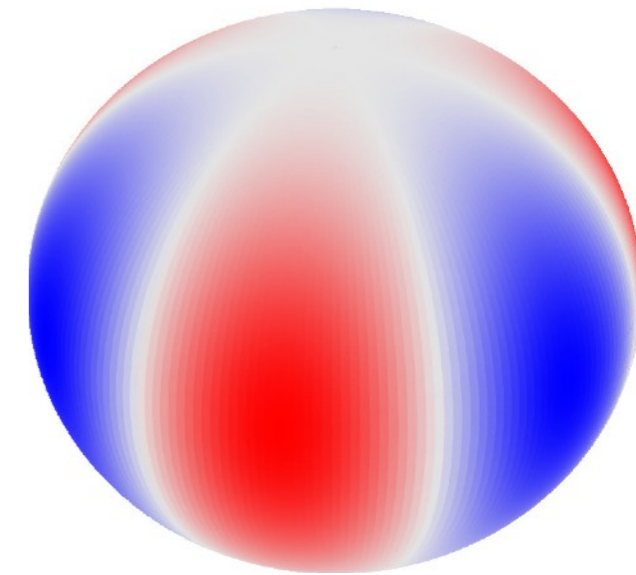
$$\ell = 1, m = \pm 1$$



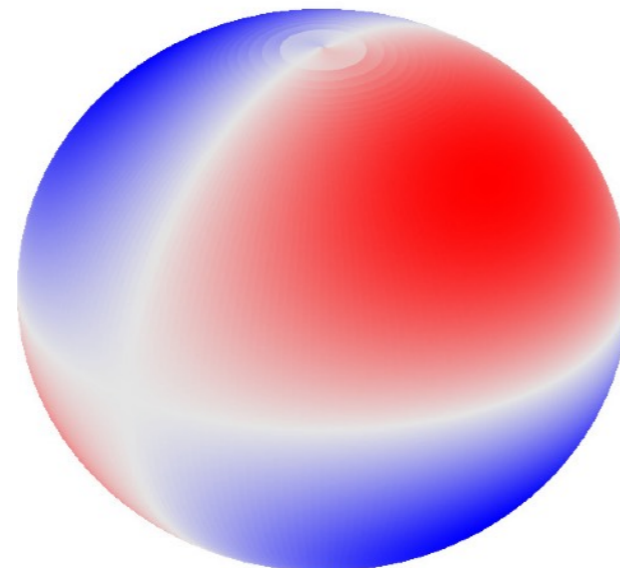
$$\ell = 1, m = 0$$



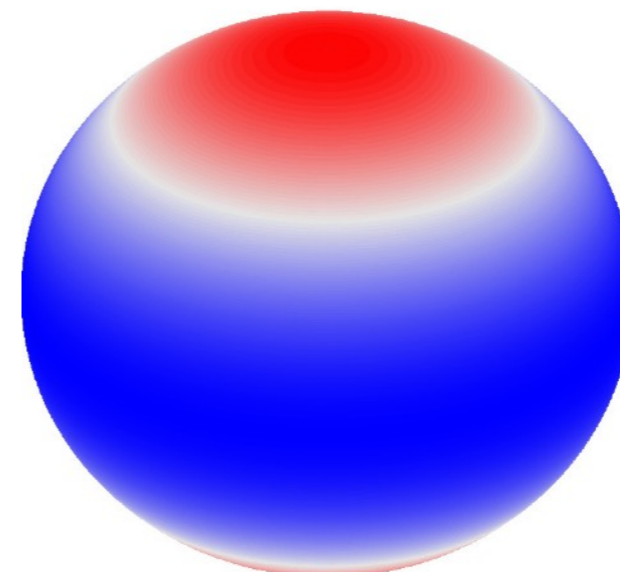
$$\ell = 3, m = \pm 3$$



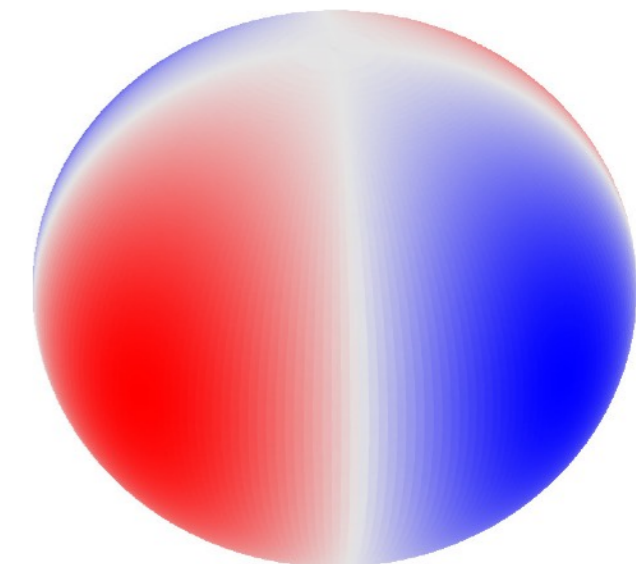
$$\ell = 2, m = \pm 1$$



$$\ell = 2, m = 0$$

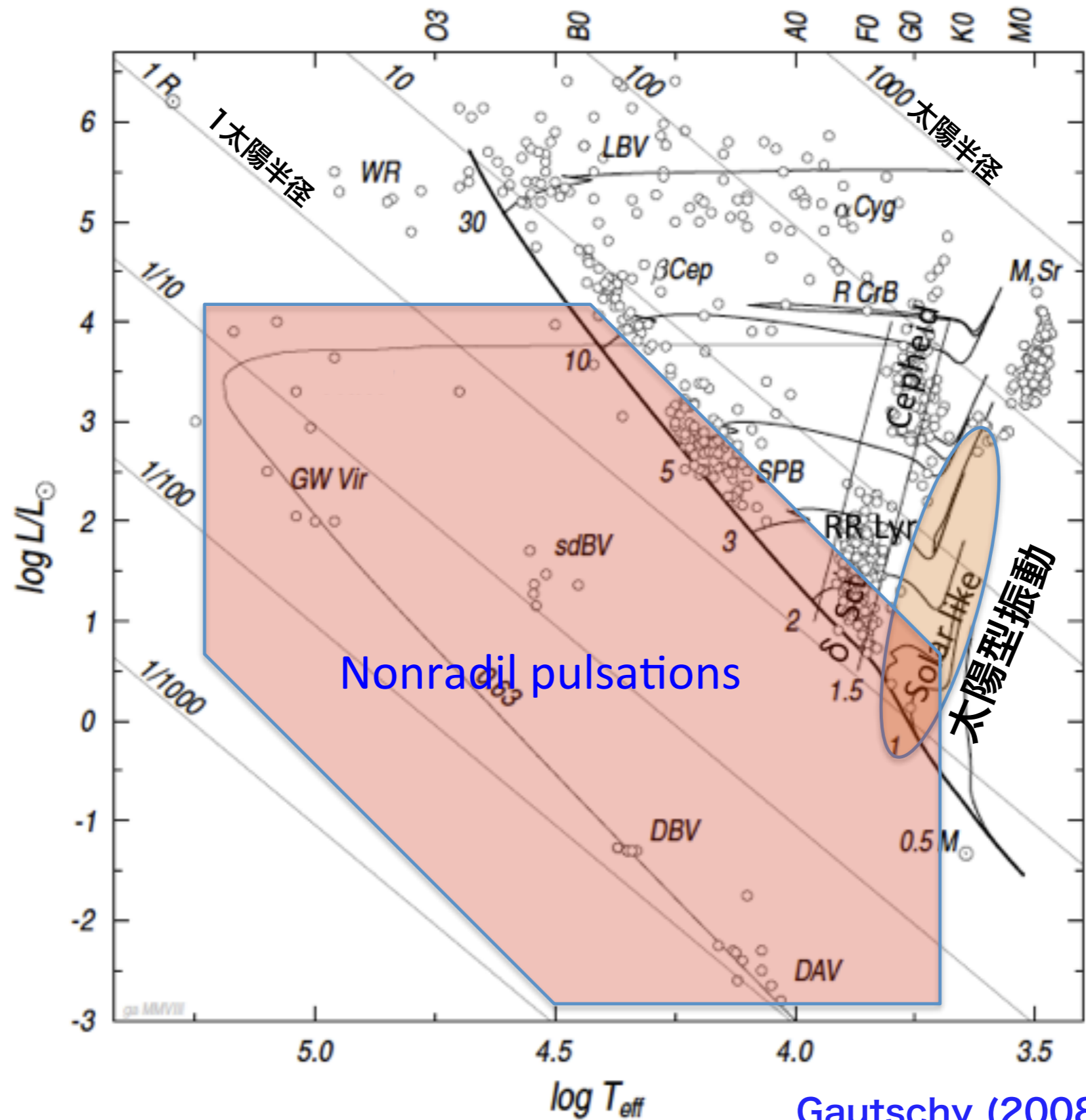


$$\ell = 2, m = \pm 2$$



Nonradial pulsation (非動径脈動(非動径振動))

# 種々の脈動変光星サンプルのHR図上の位置



# 恒星脈動(振動)の駆動メカニズム

Kappa (opacity) mechanism

Epsilon mechanism      圧縮高温時にエネルギーを溜め込む

Strange-mode (thermal-dynamical) instability

$L/M > 10^4$       外層で  $P \sim P_{\text{rad}}$

Stochastic excitation mechanism --Solar-like oscillations

対流運動によるランダムな揺らぎ --> 星の固有(p-mode)振動と共鳴

緯度方向の流れの揺らぎとコリオリの力 Rossby waves

+浮力の効果      ->      R (Rossby) mode 振動



# Kappa (or opacity) mechanism excitation

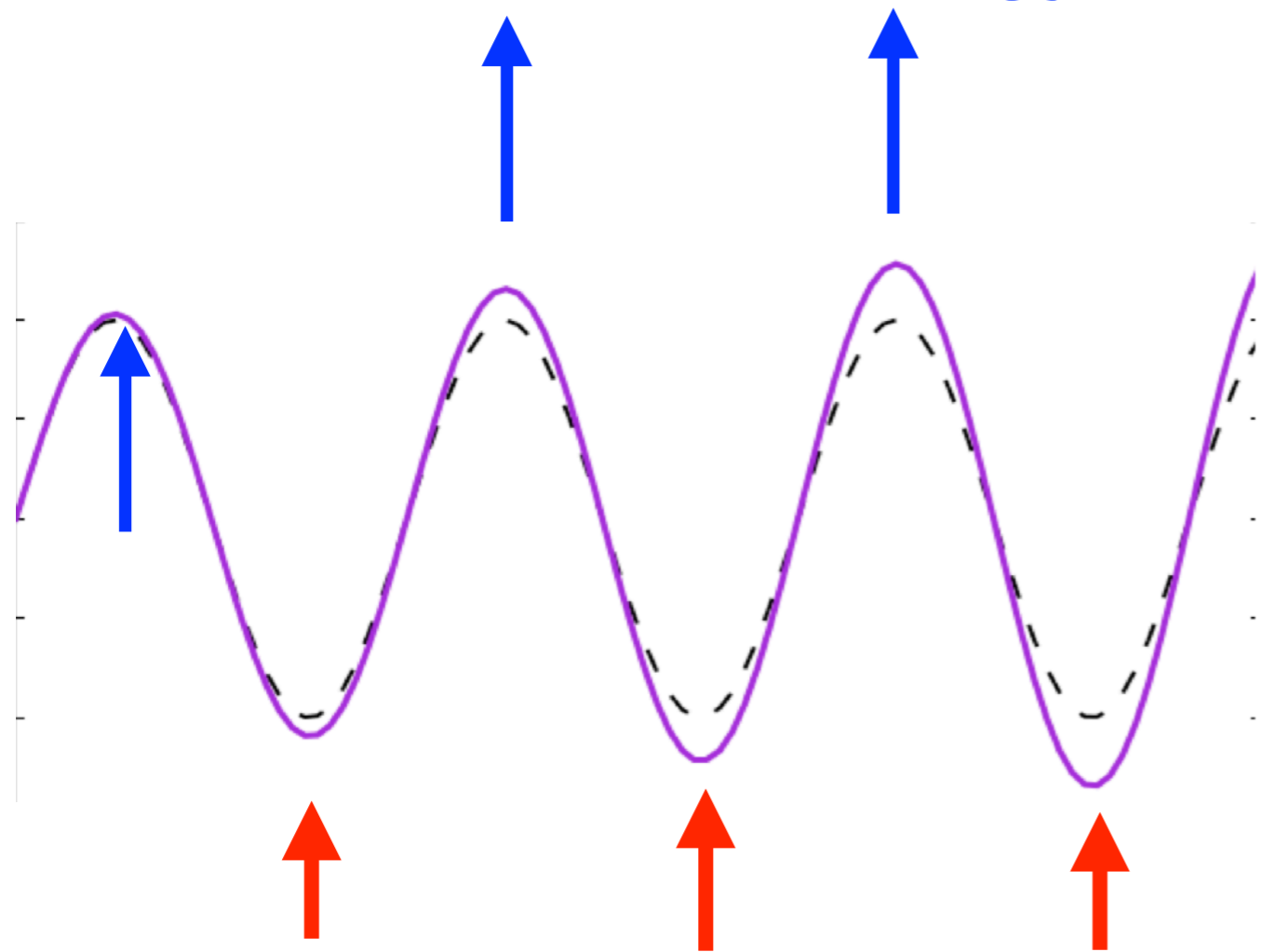
規則的な脈動

膨張&低温時に energy loss

$$\frac{d}{dr} \left( \kappa_T + \frac{\kappa_\rho}{\Gamma_3 - 1} \right) > 0$$

$$\kappa_T = \left( \frac{\partial \ln \kappa}{\partial \ln T} \right)_\rho \quad \kappa_\rho = \left( \frac{\partial \ln \kappa}{\partial \ln \rho} \right)_T$$

$$\Gamma_3 - 1 = \left( \frac{d \ln T}{d \ln \rho} \right)_{\text{ad}}$$



nonadiabatic

adiabatic

Growth time  $\gg$  Period

Weakly nonadiabatic

$$\frac{\Delta P}{P} \approx \Gamma_1 \frac{\Delta \rho}{\rho}$$

ほとんど断熱関係が成り立つ

圧縮 & 高温時に energy gain

Time

核反応の起こっている領域では常に高温時に energy gain

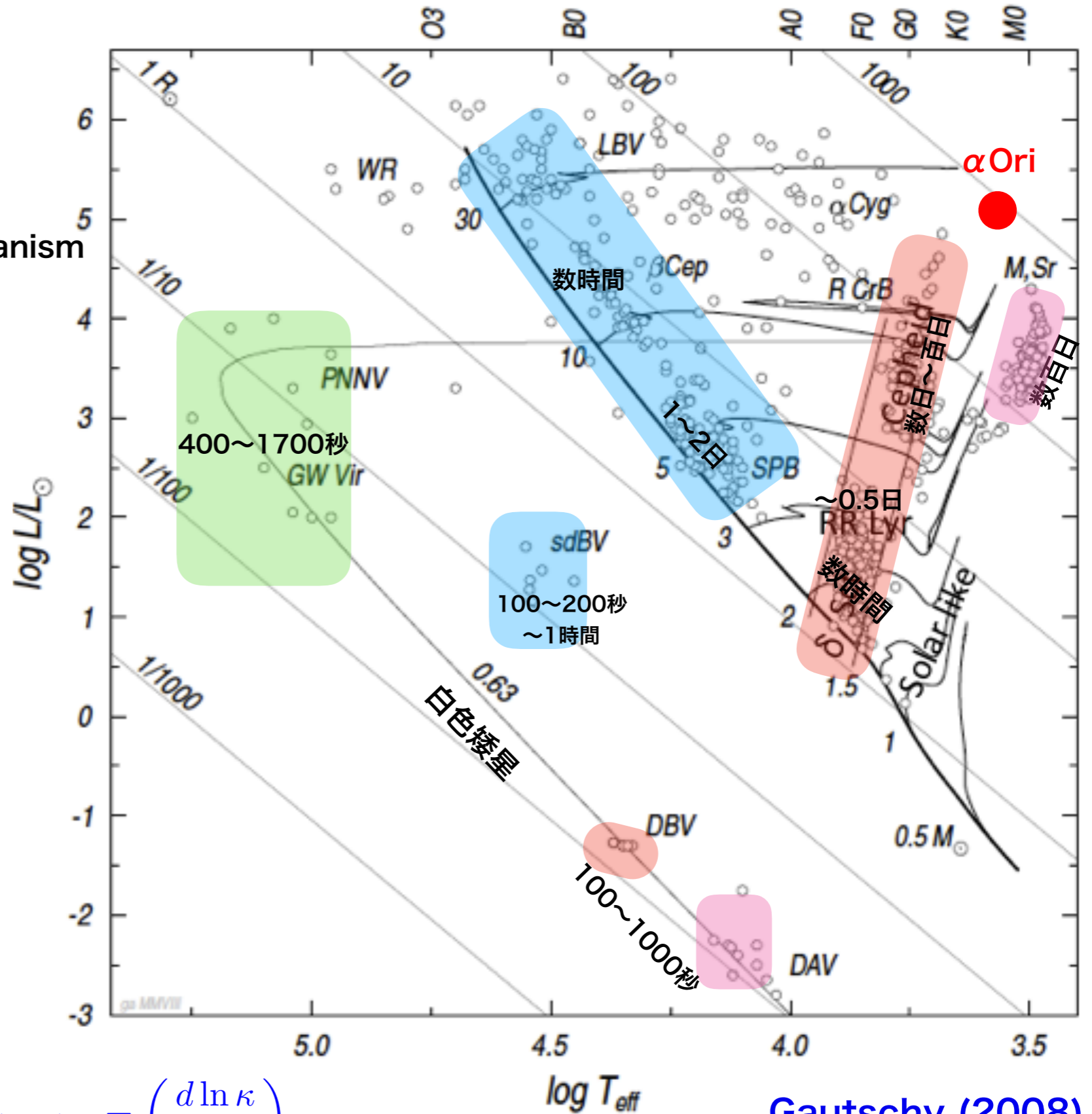
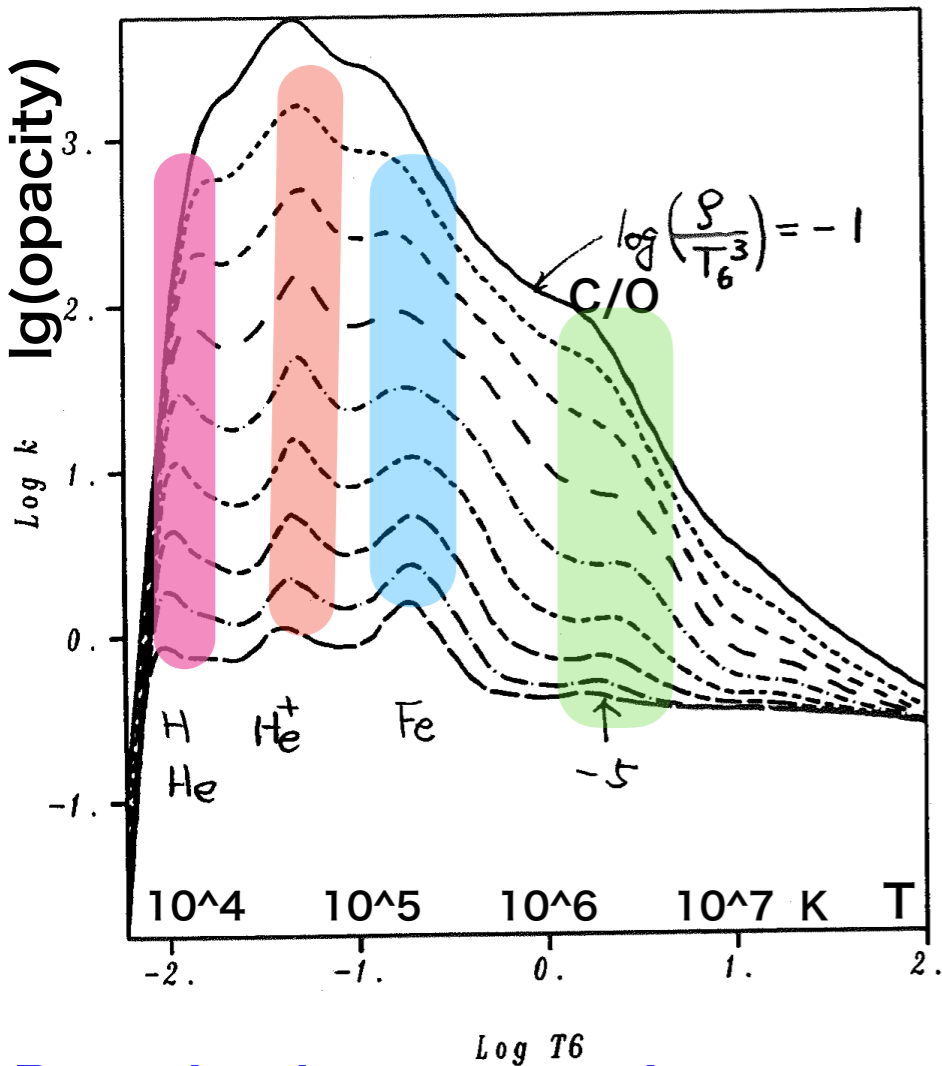
-> Epsilon mechanism (脈動駆動への寄与は小さい)

# Kappa-mechanismで成長した脈動

Thermal time ~ Period

となっている層で

$$\frac{d}{dr} \left( \kappa_T + \frac{\kappa_\rho}{\Gamma_3 - 1} \right) > 0 \quad \text{kappa mechanism が働く}$$

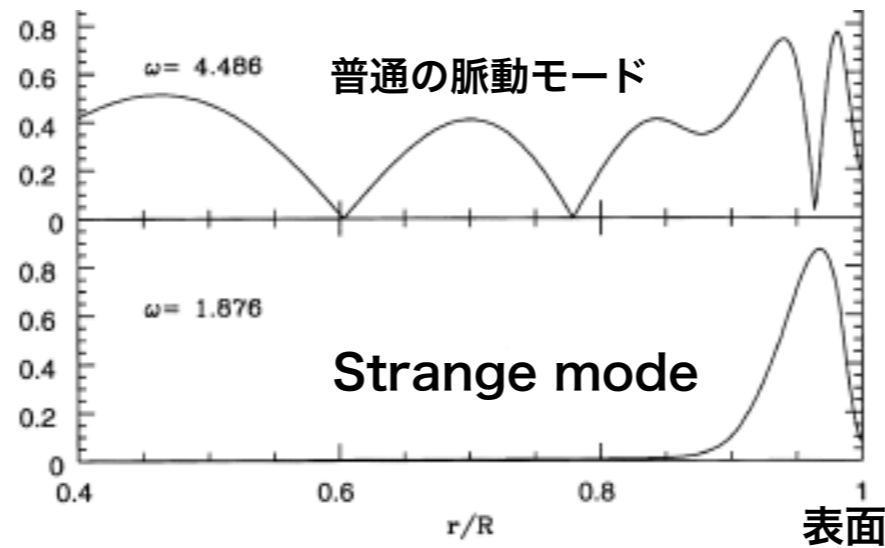
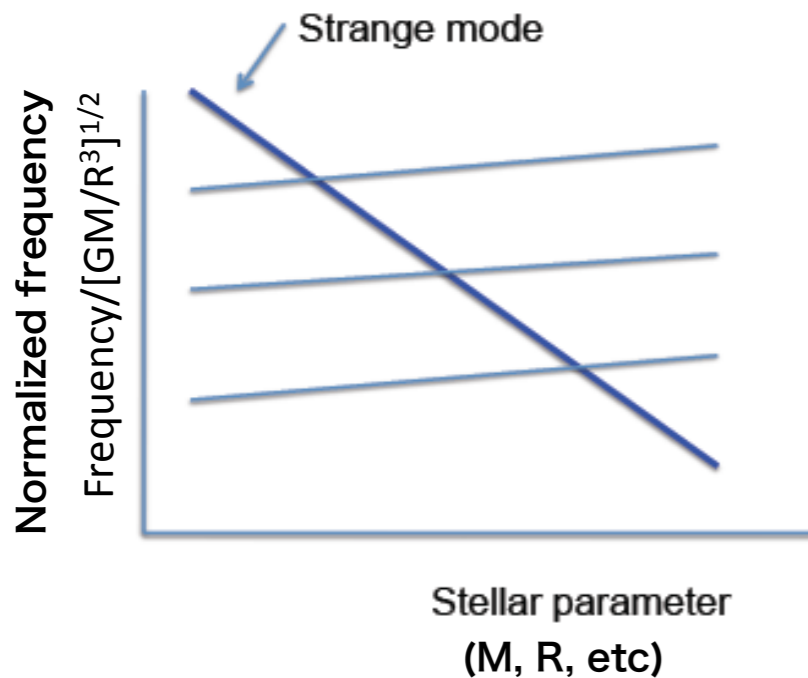


Rosseland mean opacity

$$\frac{1}{\kappa} \equiv \left[ \int_0^\infty \frac{dB_\nu}{dT} d\nu \right]^{-1} \int_0^\infty \frac{(dB_\nu/dT)}{\kappa_\nu + \sigma_\nu} d\nu, \quad \kappa_T \equiv \left( \frac{d \ln \kappa}{d \ln T} \right)$$

Gautschy (2008)

# Strange-mode (thermo-dynamical) instability



星の内部での脈動振幅分布

Strange modes are trapped in the outer layers where

$$P_{\text{rad}} \gg P_{\text{gas}}$$

$$\frac{(L/L_{\odot})}{(M/M_{\odot})} > 10^4$$

$$\frac{L}{4\pi r^2} = -\frac{c}{\kappa\rho} \frac{dP_{\text{rad}}}{dr} \quad \text{with} \quad \tau_{\text{thermal}} \ll \text{Period} \quad \rightarrow \quad \frac{\partial \Delta P}{\partial r} \approx \frac{\partial \Delta P_{\text{rad}}}{\partial r} \approx -\frac{\kappa_{\rho}\kappa}{c} \frac{L}{4\pi r^2} \Delta\rho$$

$\Delta P$ と $\Delta\rho$ の位相の不一致  $\rightarrow$  Dynamical type instability  
Strange mode instability

$$\Delta P, \Delta\rho \propto \exp(i\sigma t - ik_r r)$$

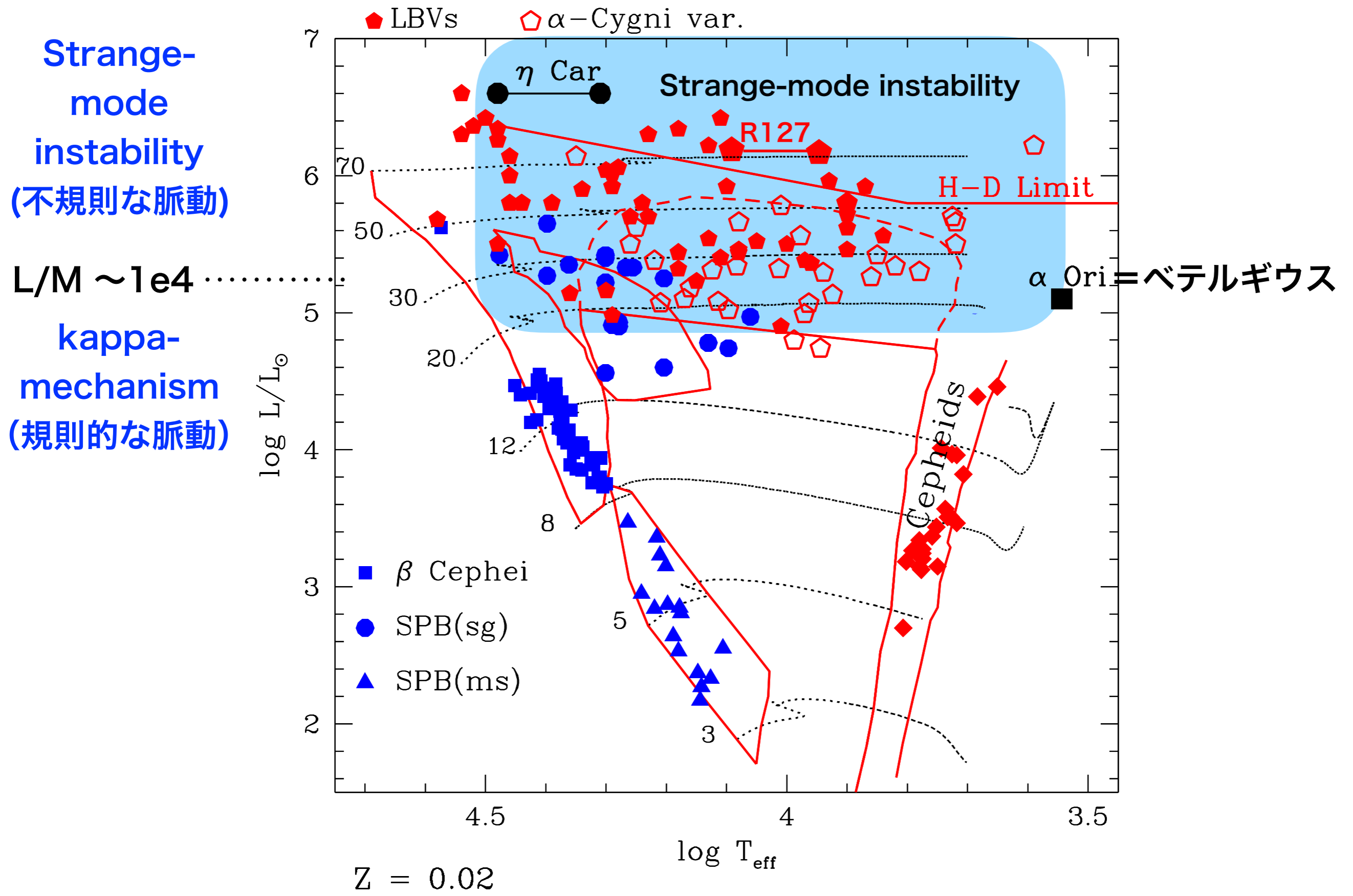
$$\Delta P = i \frac{\kappa_{\rho}\kappa}{k_r c} \frac{L}{4\pi r^2} \Delta\rho \quad (\text{cf. adiabatic relation } \frac{\Delta P}{P} = \Gamma_1 \frac{\Delta\rho}{\rho} )$$

Large phase difference between  $\Delta P$  &  $\Delta\rho$   $\rightarrow$  strong instability

不規則な脈動



# Massive (Luminous) variable stars



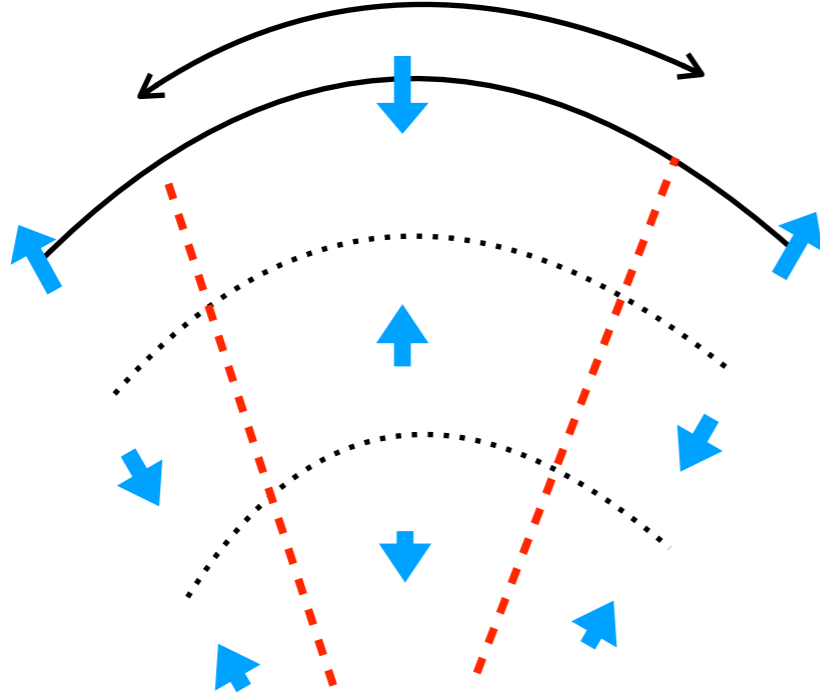
# 星の振動（脈動）の2種類のモード

動径方向の運動が優勢

radial または nonradial modes

## pモード振動

$$P_\ell^m(\cos\theta); \ell \geq 0$$



復元力: 圧力(音波)

周期が短い

周期:  $\Pi_p \propto \frac{1}{n+1} \frac{2R}{\langle c_s \rangle}$

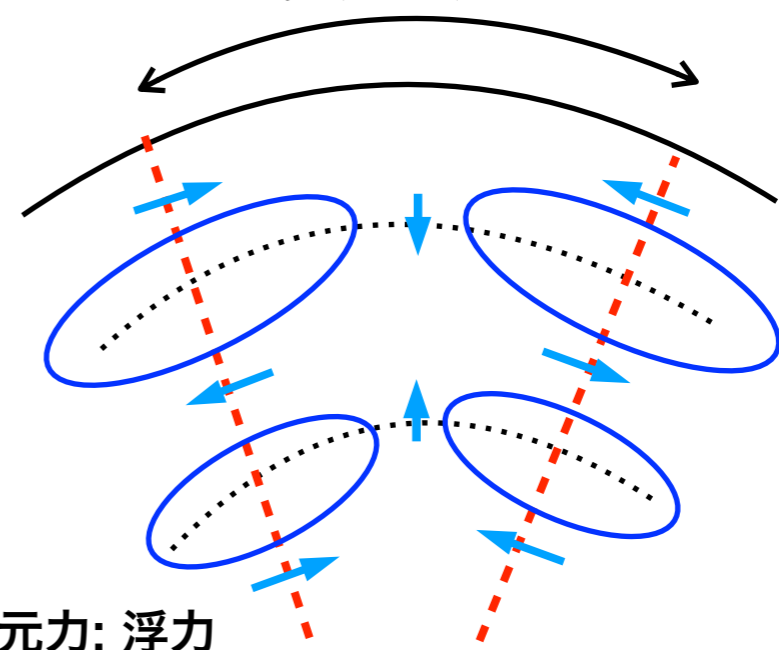
水平方向の運動が優勢

nonradial modes のみ

## gモード振動

(+ r モード)

$$P_\ell^m(\cos\theta); \ell \geq 1$$



復元力: 浮力

$$\text{R.F.} \propto g\Delta\rho \propto g\xi_r \quad \& \quad \text{K.E.} \propto (\xi_h/\Pi_g)^2$$

周期が長い

$$\ll \quad \longrightarrow \quad \Pi_g \propto \frac{\xi_h}{\xi_r} \sim \frac{n}{\ell}$$

$n \gg 1$  のとき:  $\Delta\nu = \Delta(1/\Pi)$  が一定

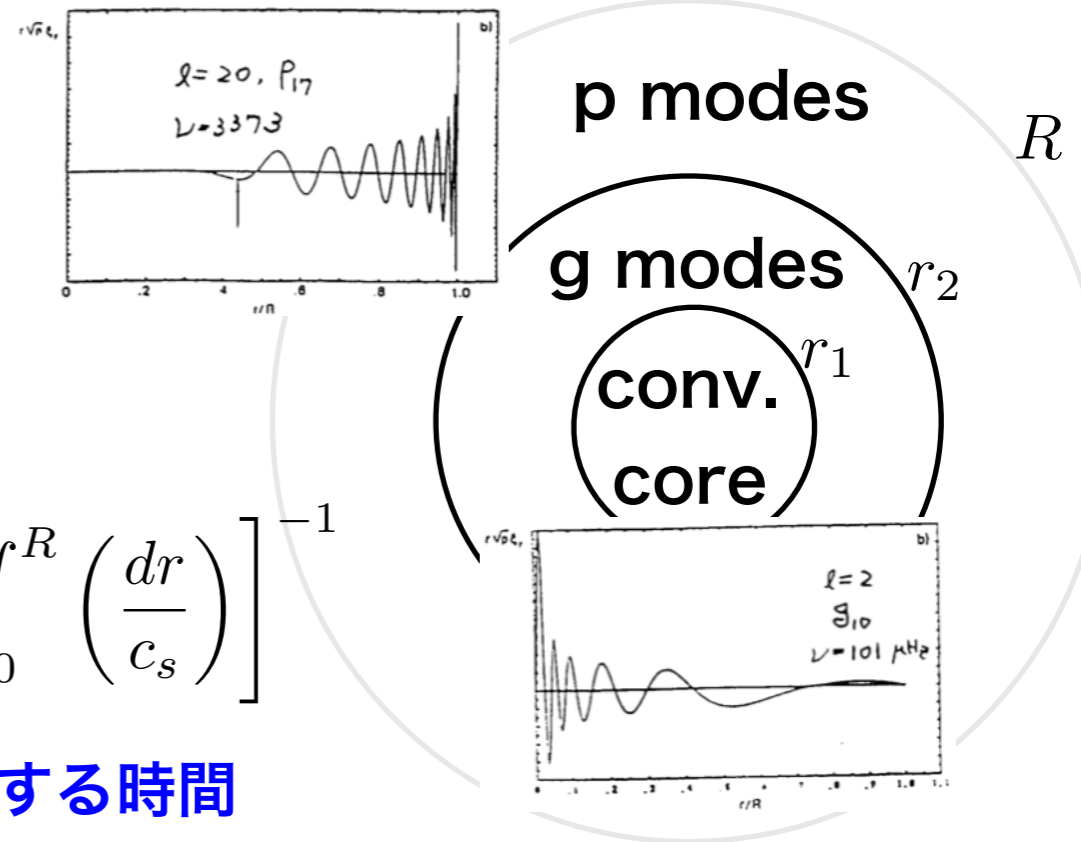
セファイド, ミラ, 太陽型振動  
ベテルギウス, リゲルなど

$\Delta\Pi = (\Pi(n+1) - \Pi(n))$  周期間隔が一定

白色矮星, 主系列星 ( $\gamma$  Dor, SPB など)

# p modes (radial & non-radial)

## g modes (non-radial)



### p modes -- 外層部(envelope)

$n \gg 1$   $n =$  ノードの数

$$\nu(\text{p mode}) \approx n \Delta \nu \quad \text{振動数間隔一定} \quad \Delta \nu = \left[ 2 \int_0^R \left( \frac{dr}{c_s} \right) \right]^{-1}$$

p mode の周期 = 隣接するノード間を音波が往復する時間  
 → 上下移動の幅が小さい(n大)と周波数が大きい(周期が短い)

### g modes -- 深層部(core)

$$P(\text{g mode}) \approx n \Delta P \quad \text{周期間隔一定} \quad \Delta P = \frac{\pi}{\sqrt{2}} \left( \int_{r_1}^{r_2} N d \ln r \right)^{-1} \quad \rho = \text{density}$$

Brunt-Väisälä frequency  $N^2 = \frac{g}{r} \left[ \left| \frac{d \ln \rho}{d \ln r} \right| - \left| \frac{d \ln \rho}{d \ln r} \right|_{\text{ad}} \right]$  (浮力による振動の基本振動数)

安定な構造では  $N^2 > 0$  (上むきの移動に対し負の浮力)

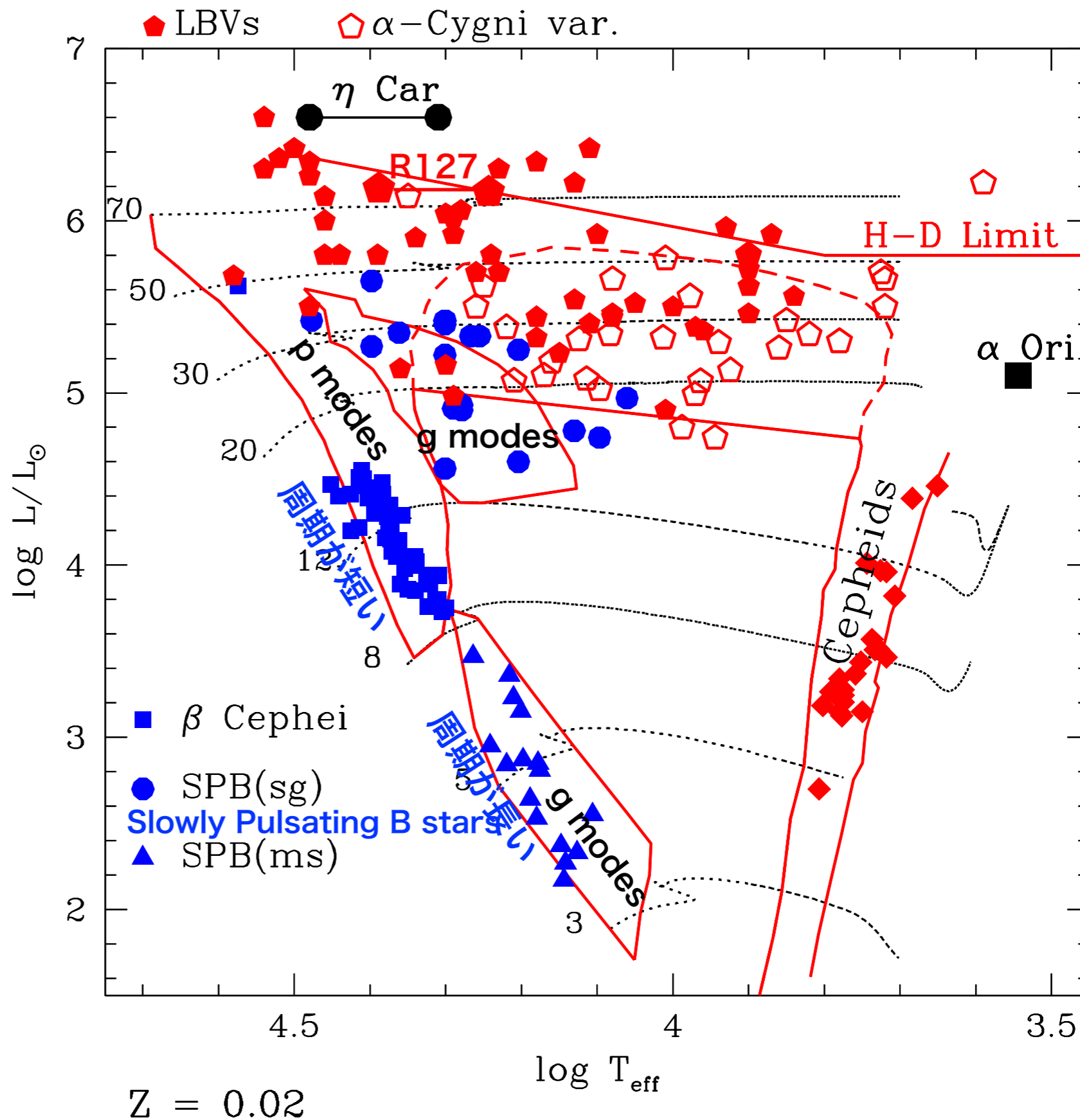
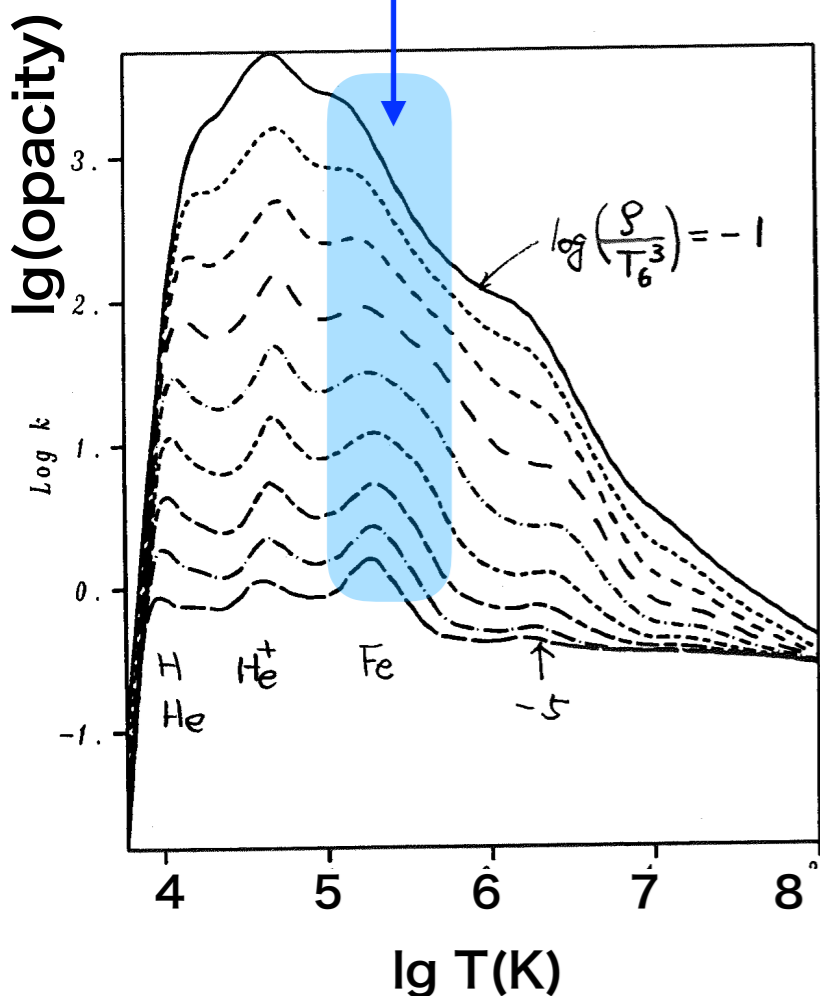
上下移動の幅が小さい(n大)と負の浮力による復元力が小さい → 周期の長い振動

密度勾配の大きな中心部ほど N が大きい →  $\Delta P$  が小さい



# Massive (Luminous) variable stars

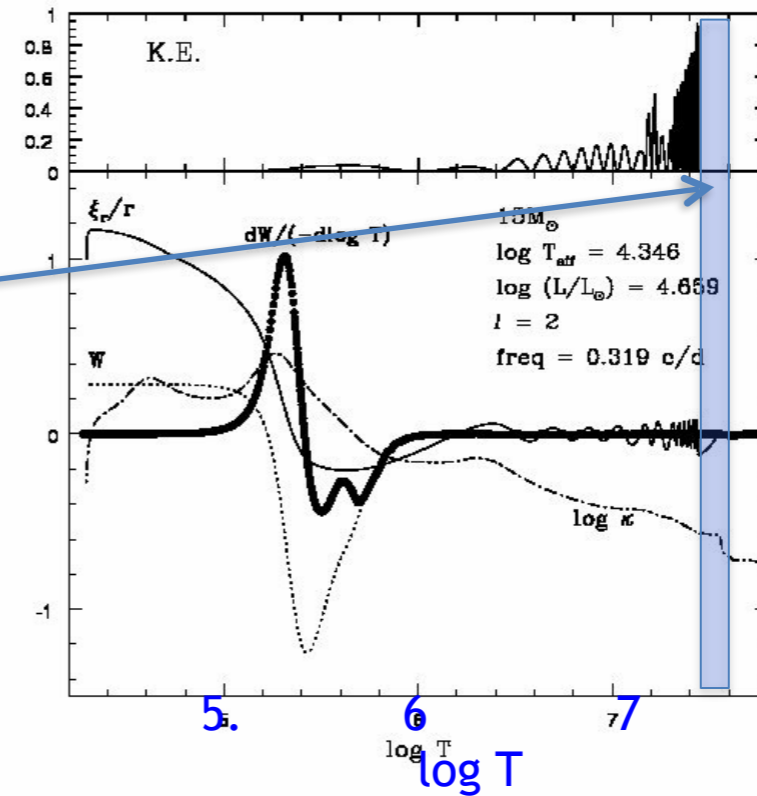
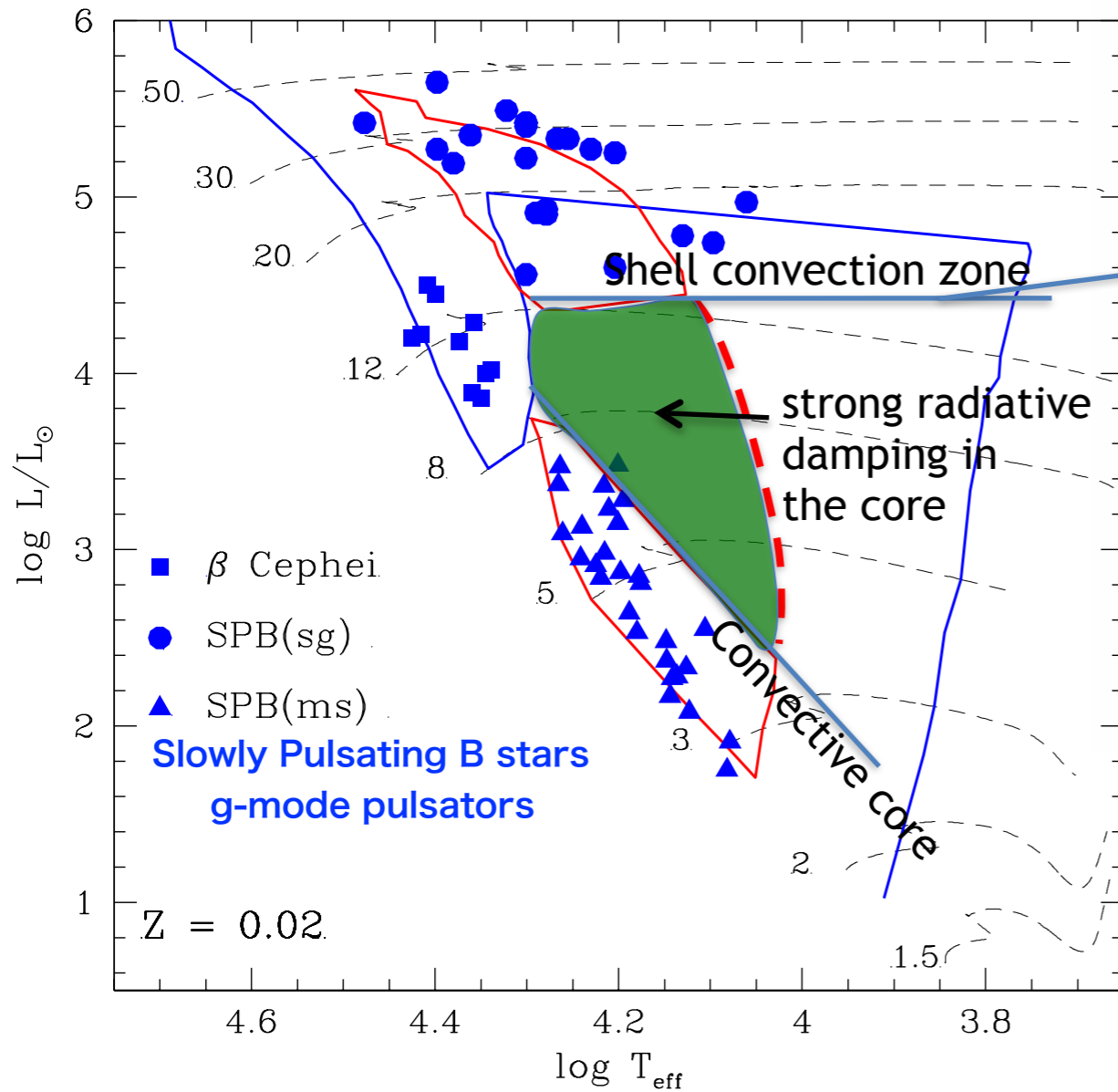
鉄の電離層で  
熱交換時間～脈動周期  
となっている時  
 $\kappa$ -mechanism励起  
(高温星)



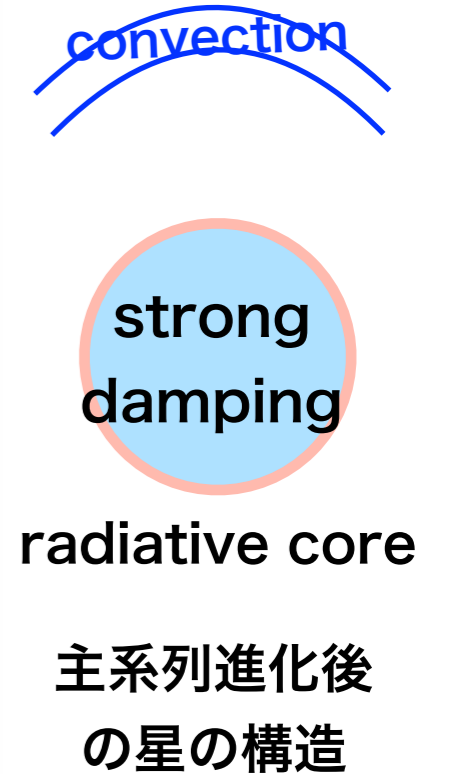
g-mode instability boundaries は対流層の有無に影響される  
 (shell convection zone or convective core)

**g-mode は対流層に侵入できない (N=0)**

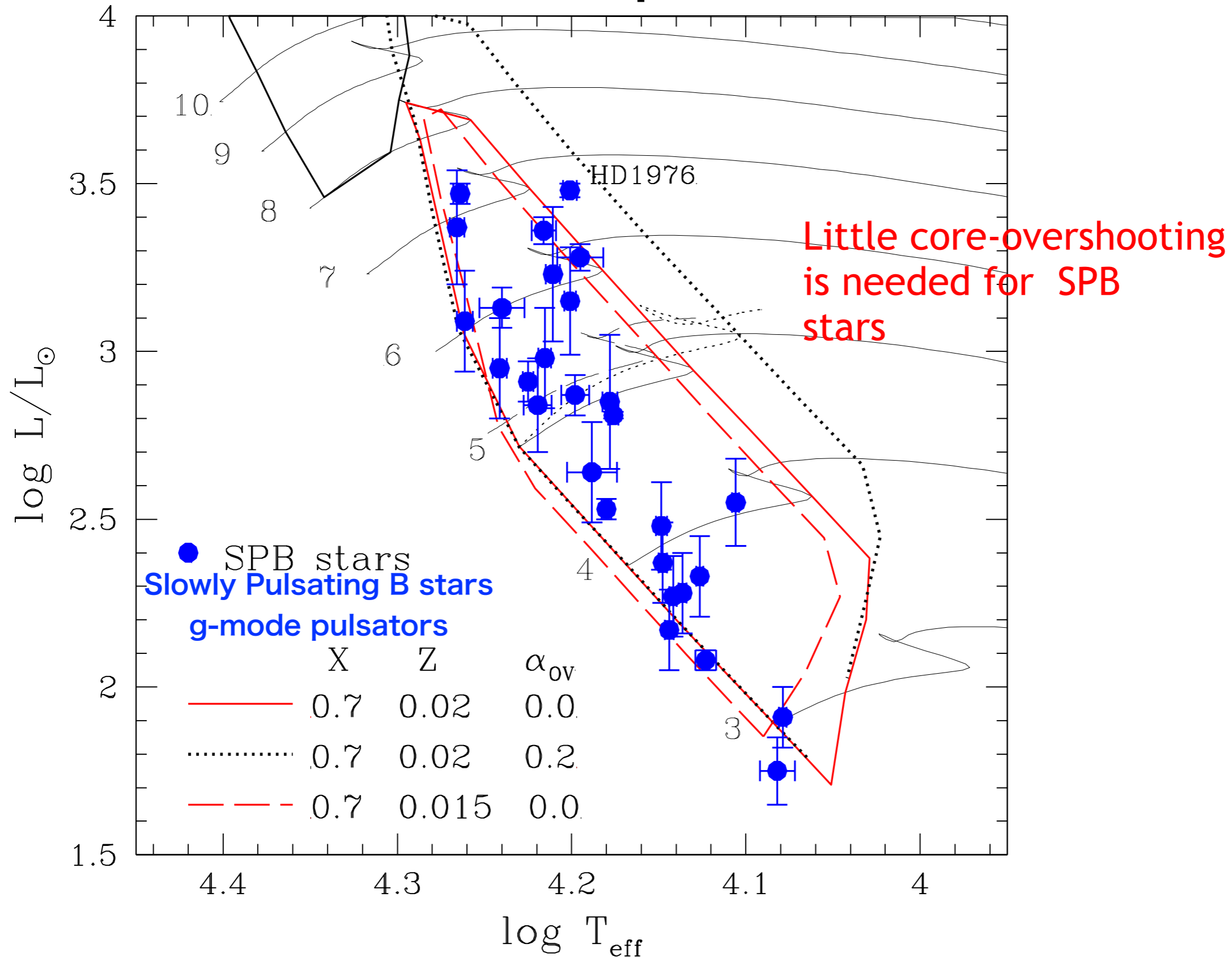
Excitation  
 $\sim 2 \times 10^5 \text{K}$



Shell convection zone  
 reflect g-modes  
 ---- no radiative damping  
 in the core

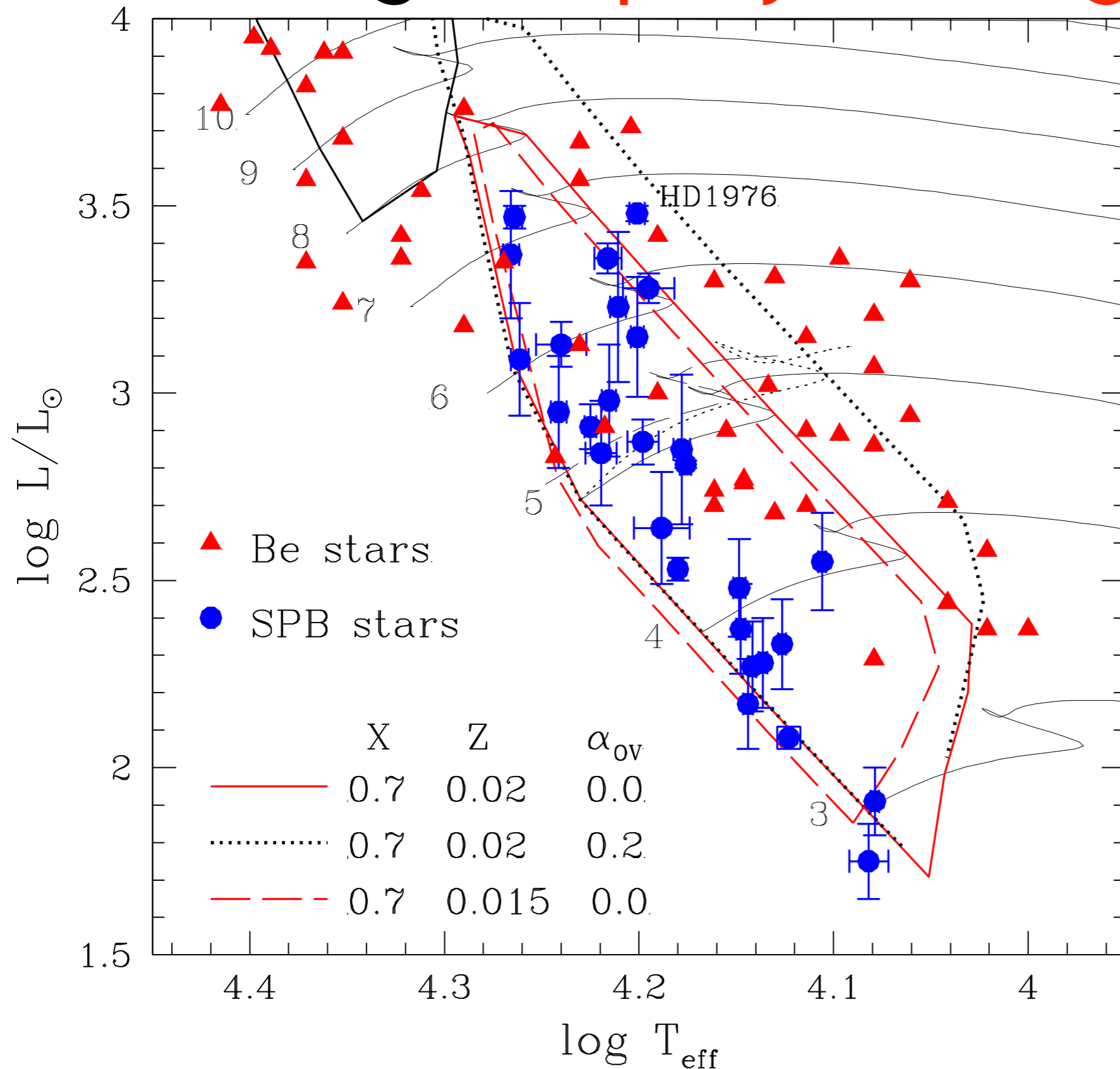


# Cool boundary of SPB instability indicate the end of main sequence with a conv. core





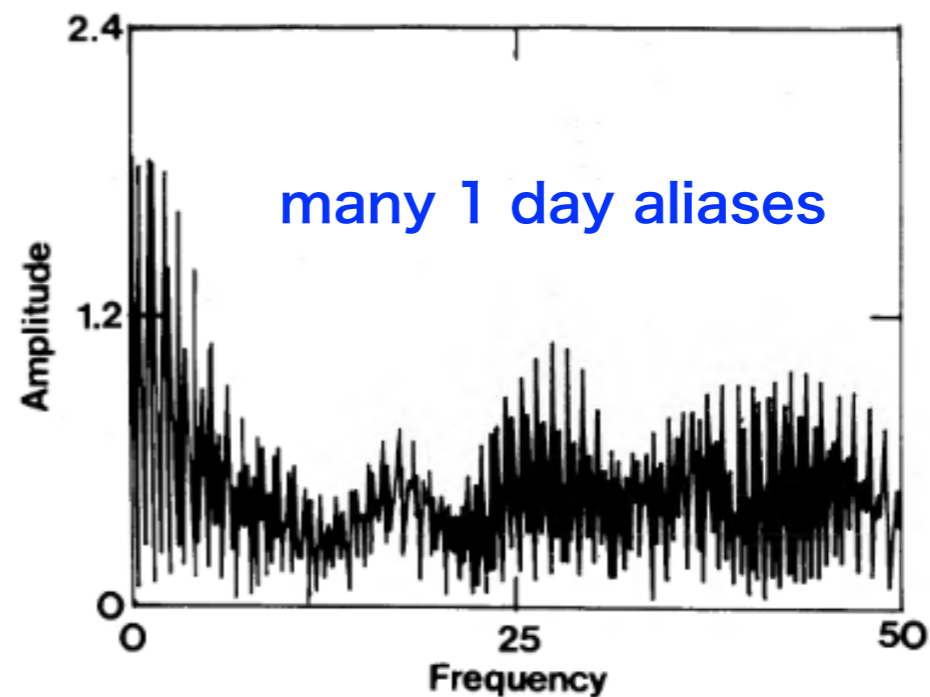
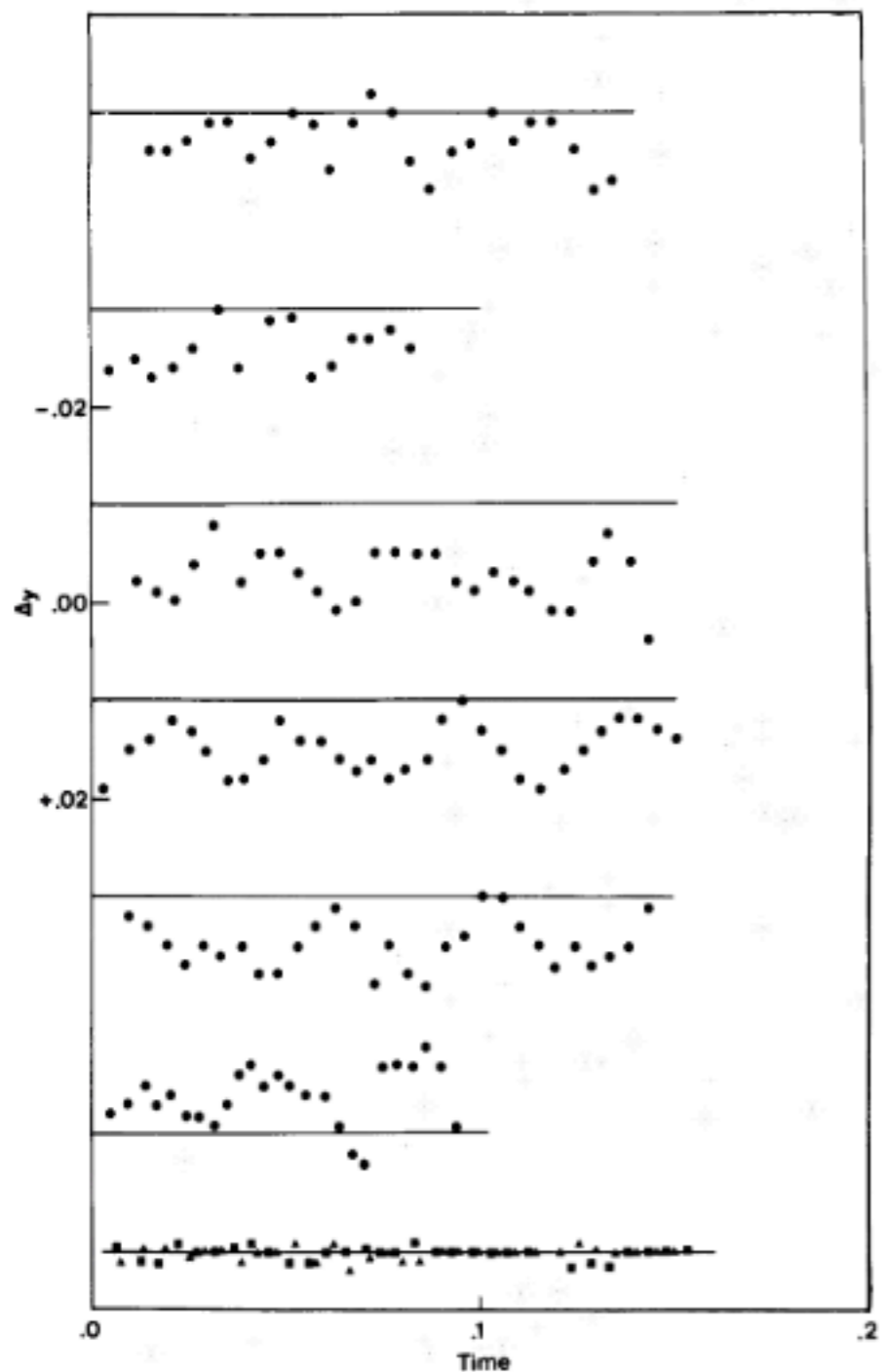
# Larger convective core or extensive mixing in rapidly rotating Be stars



Distribution of Be stars do indicate the presence of substantial overshooting or mixing

恒星の脈動の観測： 測光観測 → フーリエ変換 → 脈動周波数(周期)

Single site observations



The power spectrum of HR 8210 with the three highest peaks (given in Table 2)  $n$  cycle/day. The ordinate is the sinusoidal semi-amplitude in millimagnitudes.

Table 2. Frequencies for HR 8210.

$f$ (c/day)	$P$ (day)	$A$ (mag)	HJD (max. light)
0.642	1.558	0.0043	2442705.787
0.341	2.933	0.0036	2442704.122
22.902	0.044	0.0021	2442705.009

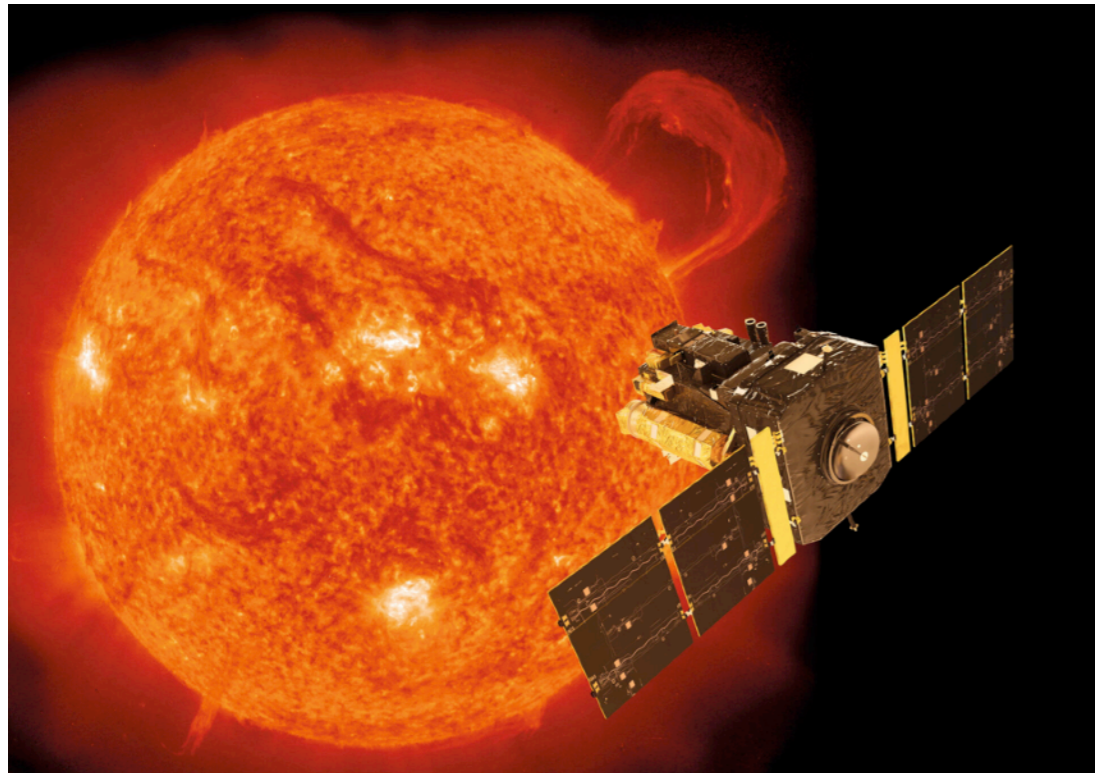
Kurtz (1979)

light variations in HR 8210. The abscissa is in days and the ordinate in magnitudes ( $y = 5.95$ ) fix the apparent magnitude level for each night's observations. from top to bottom for JD 2442705, 2442709, 2442711, 2442712 and 2442727

# 太陽振動観測装置



GONG (Global Oscillation Network Group) 1995~



SOHO (1995; ESA/NASA)

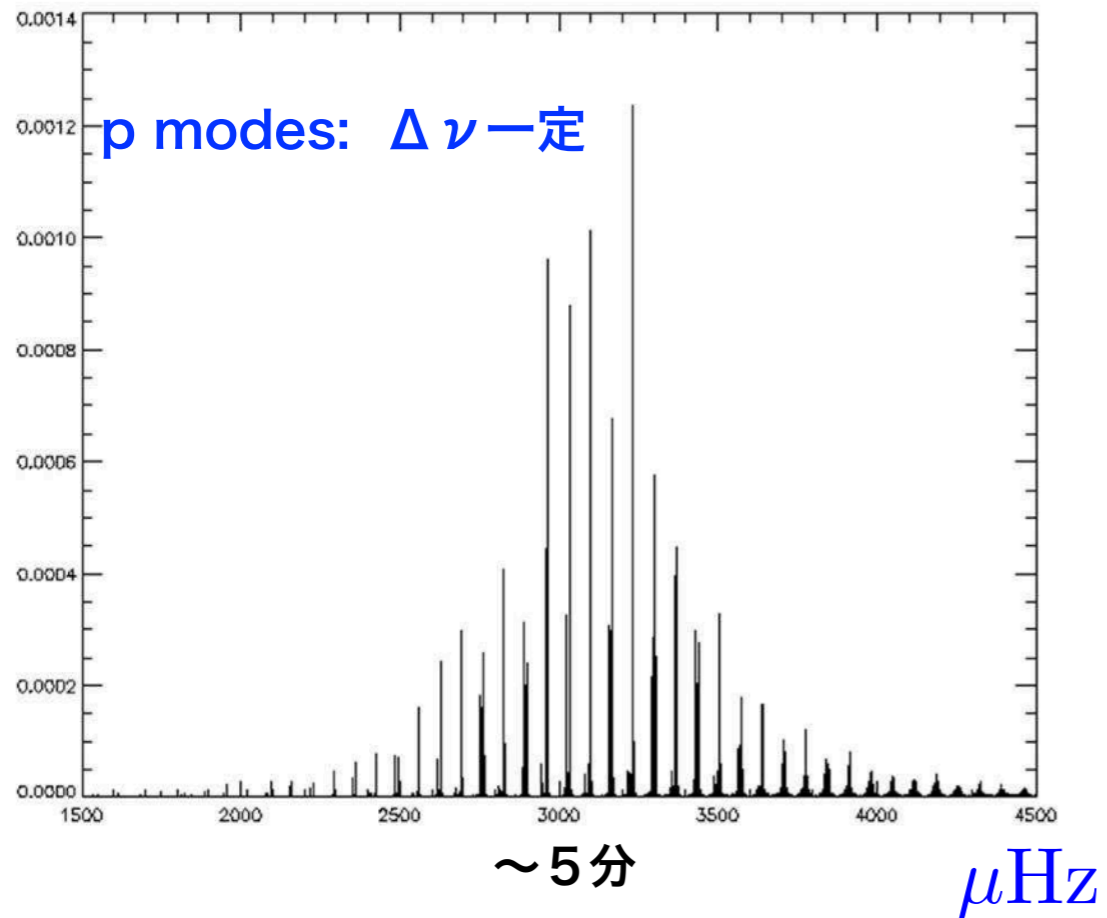
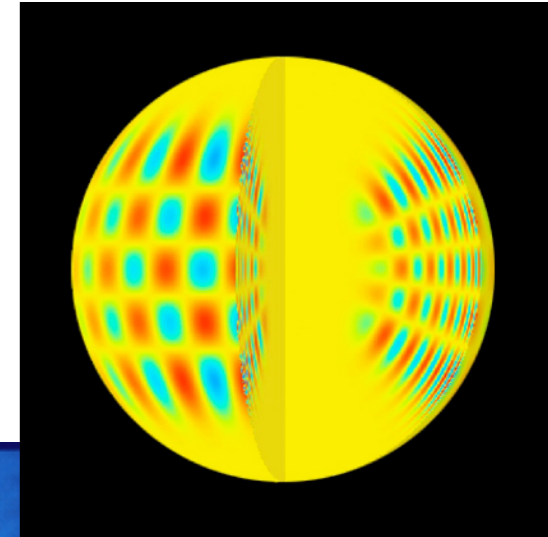
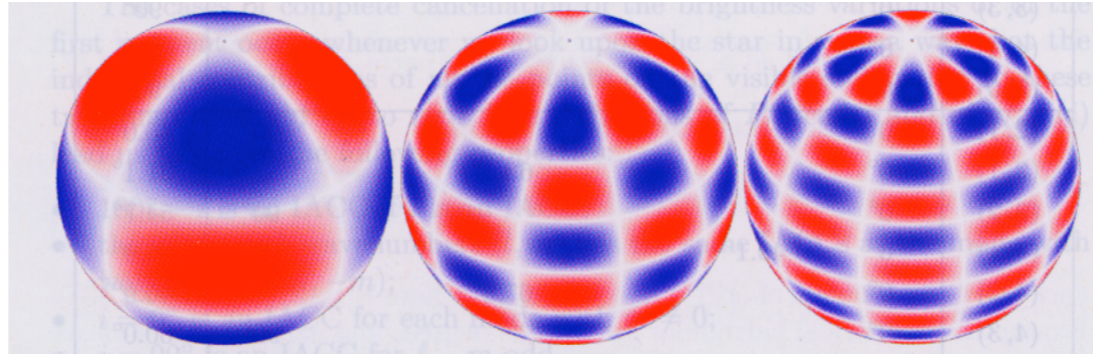
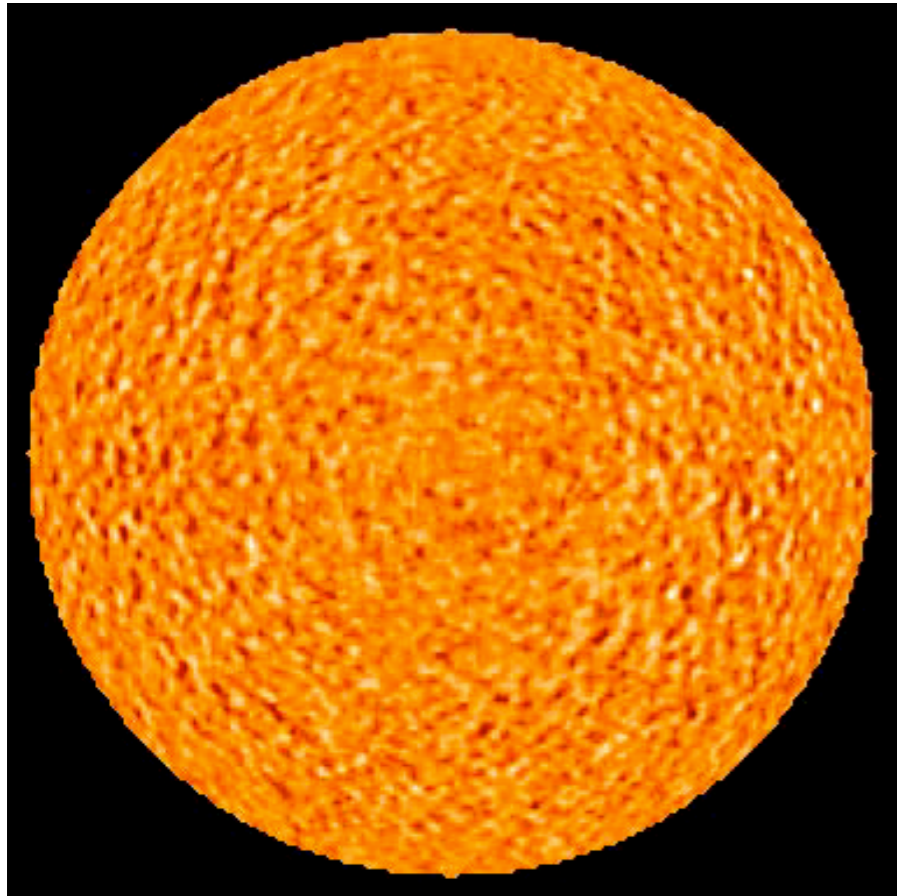


SDO (2010; NASA)

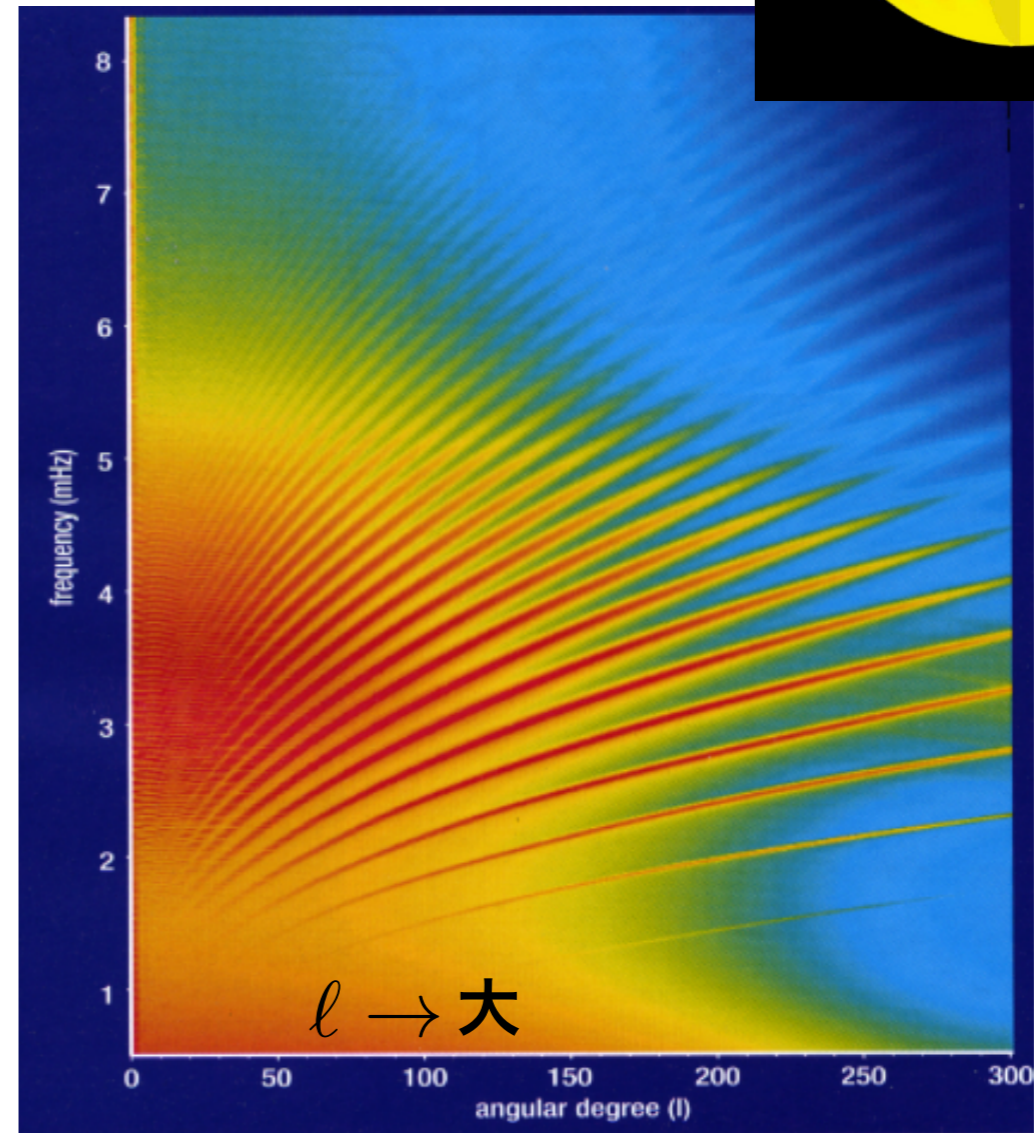


# 太陽振動

Stochastic excitation p mode pulsations  
by turbulent convection



振動周波数



表面分割数/2

SOHO (Solar and Heliospheric Observatory)



# 衛星による連続的な精密測光 — 星震学の飛躍的發展

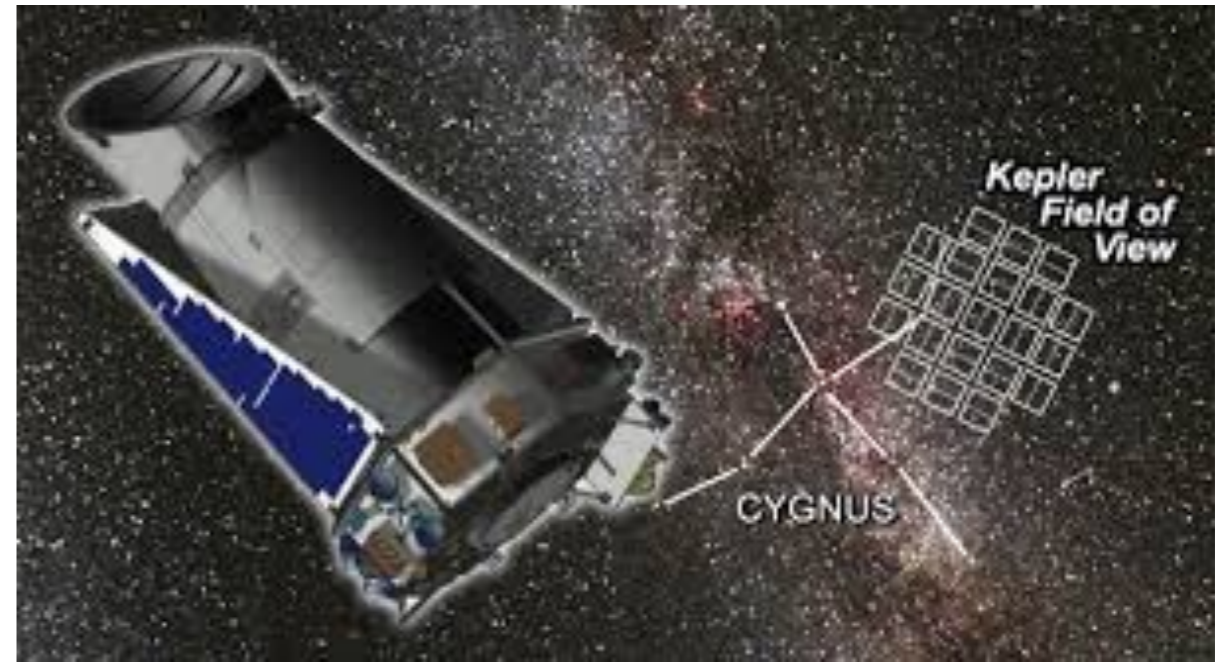
CoRoT 2007~2014

Kepler 2009~2018

MOST: 2003~2019

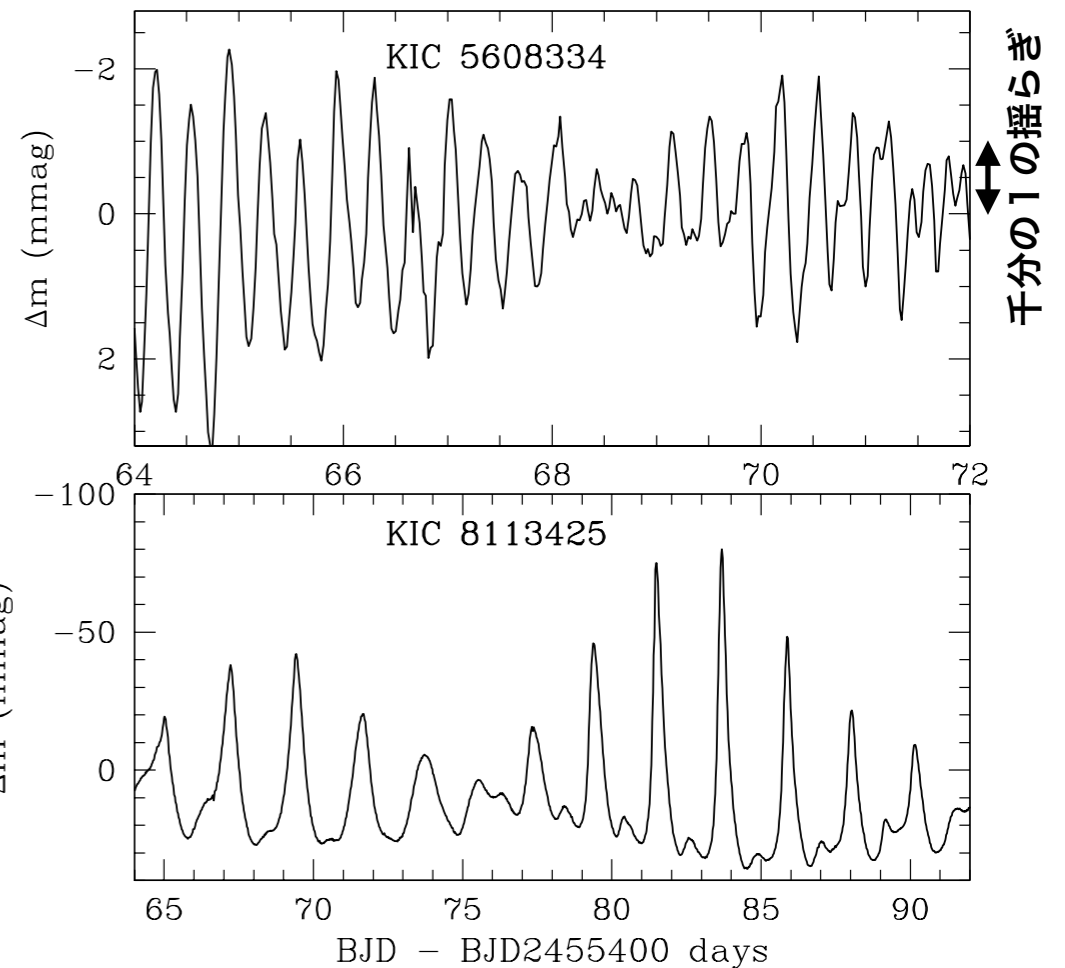
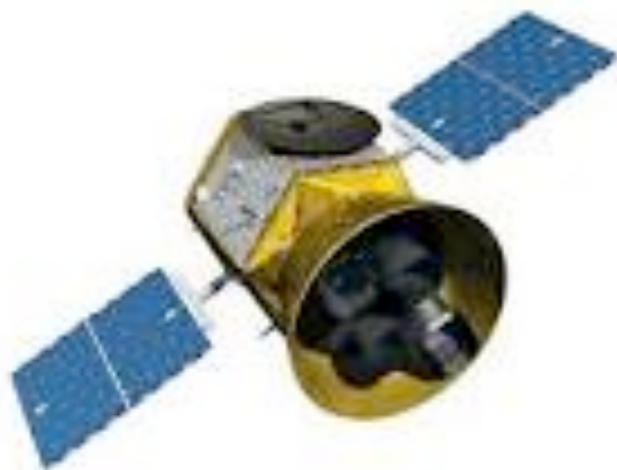


© CNES - Octobre 2005/illus. D. Ducros



2013 ~

TESS  
2018~



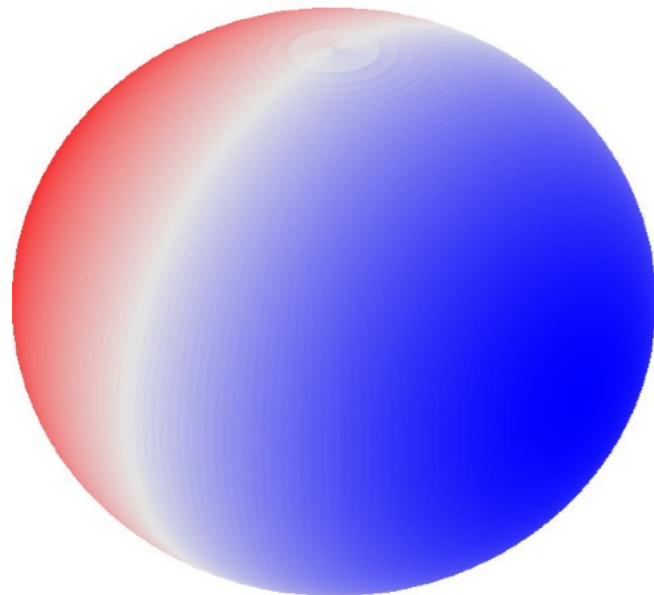
精密で連続的な測光



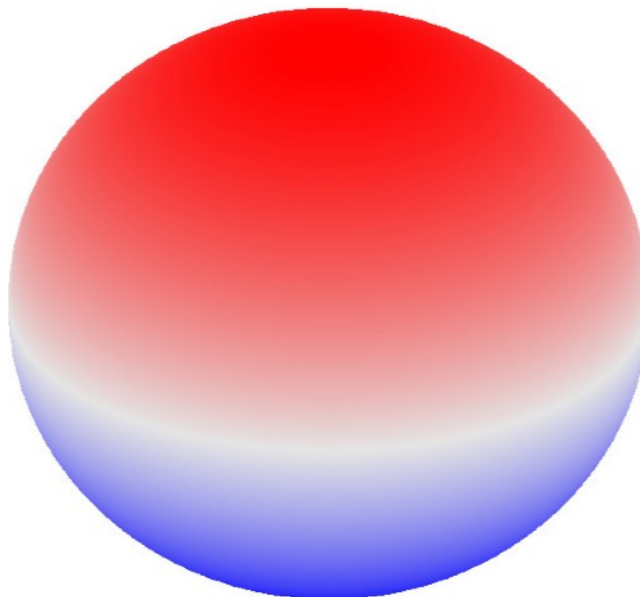
# Non-radial pulsationsによる温度変化

$$e^{i\omega t} Y_\ell^m(\theta, \phi)$$

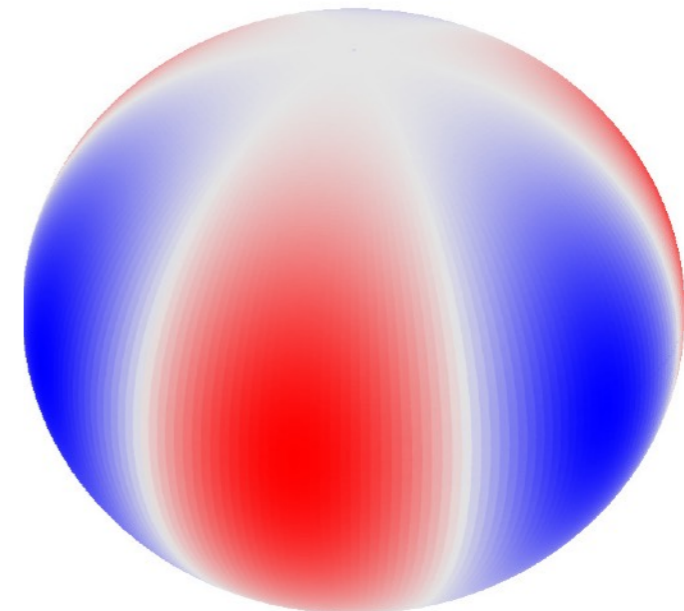
$$\ell = 1, m = \pm 1$$



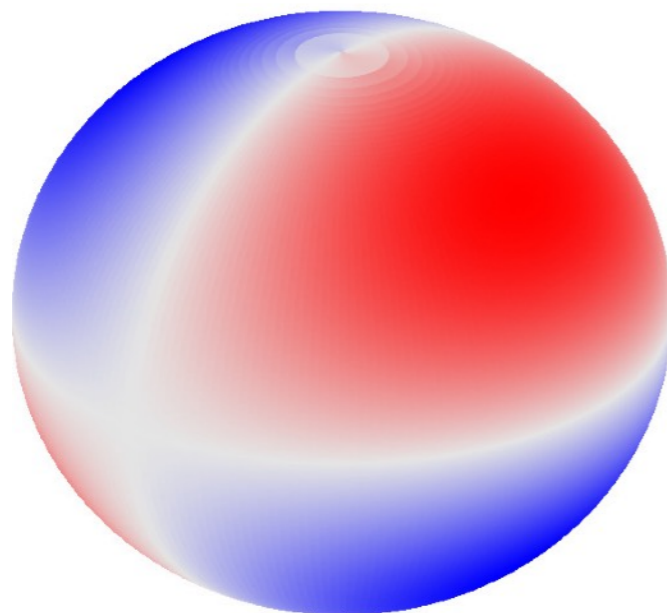
$$\ell = 1, m = 0$$



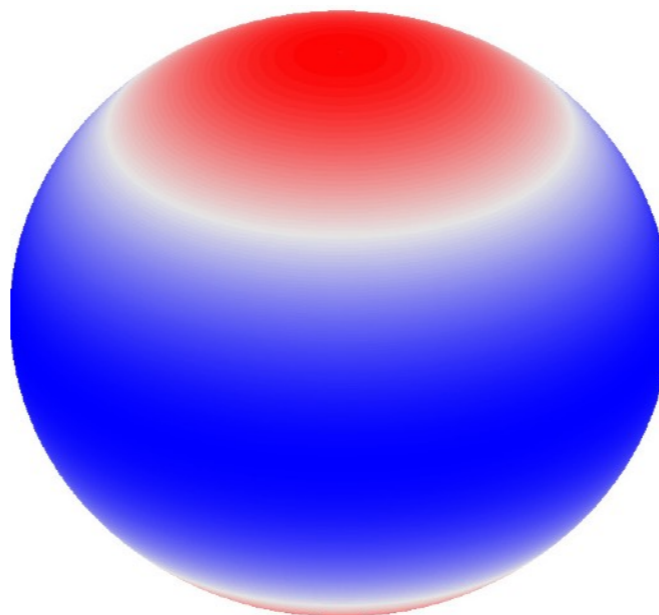
$$\ell = 3, m = \pm 3$$



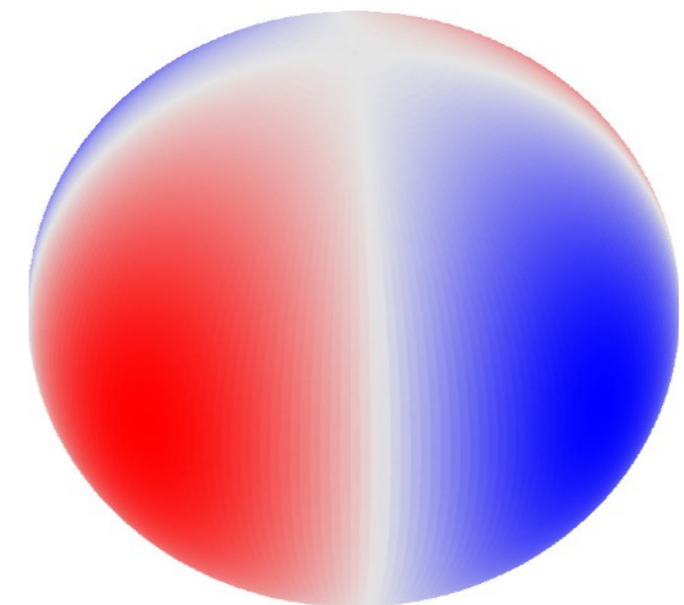
$$\ell = 2, m = \pm 1$$



$$\ell = 2, m = 0$$



$$\ell = 2, m = \pm 2$$



$\ell \leq 3$  の場合, 恒星(点光源)のnon-radial pulsationも観測可能

# Solar like oscillations (p-modes)

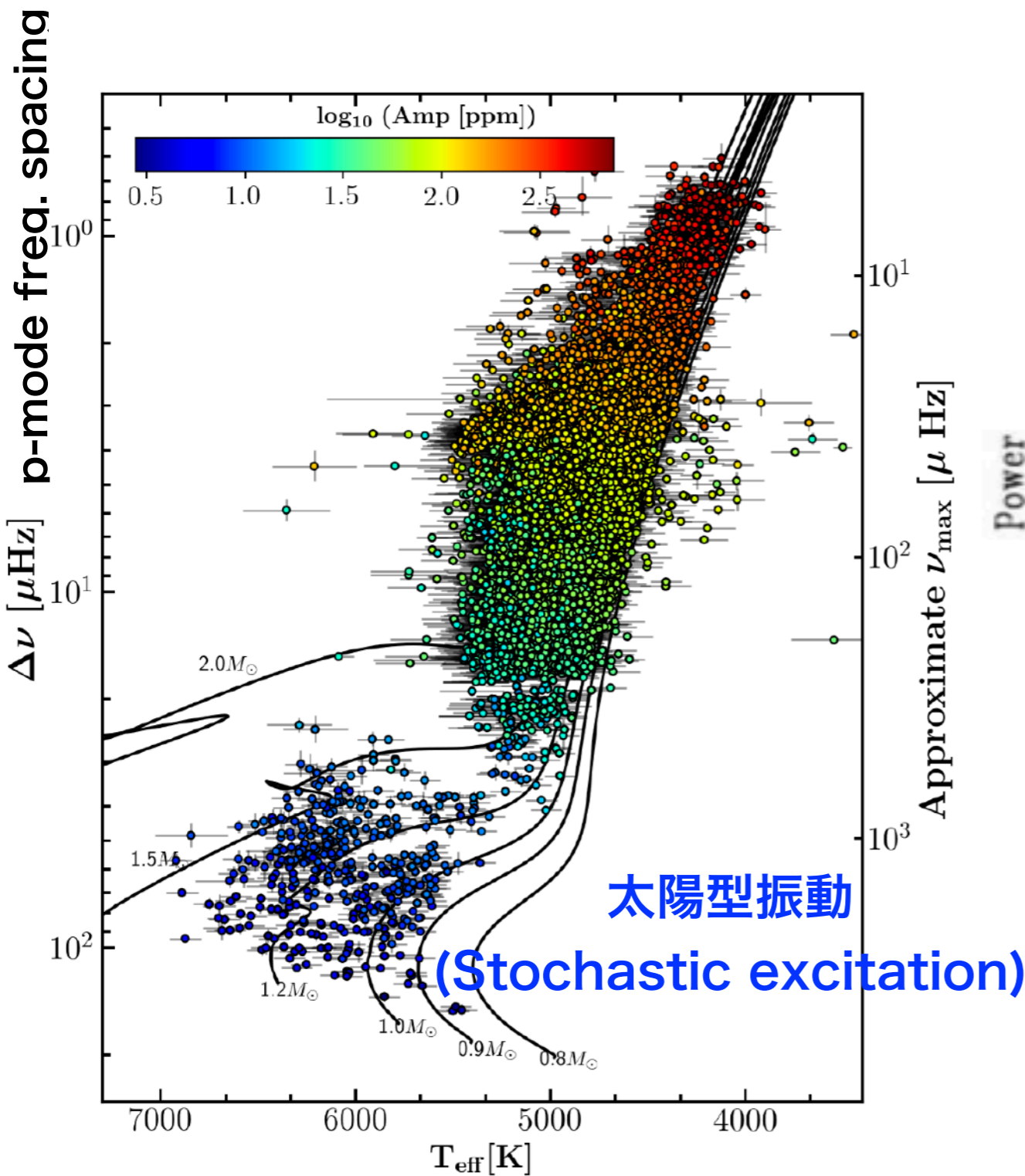
Stochastic excitation  
By turbulent convection

Kepler 衛星  
による観測

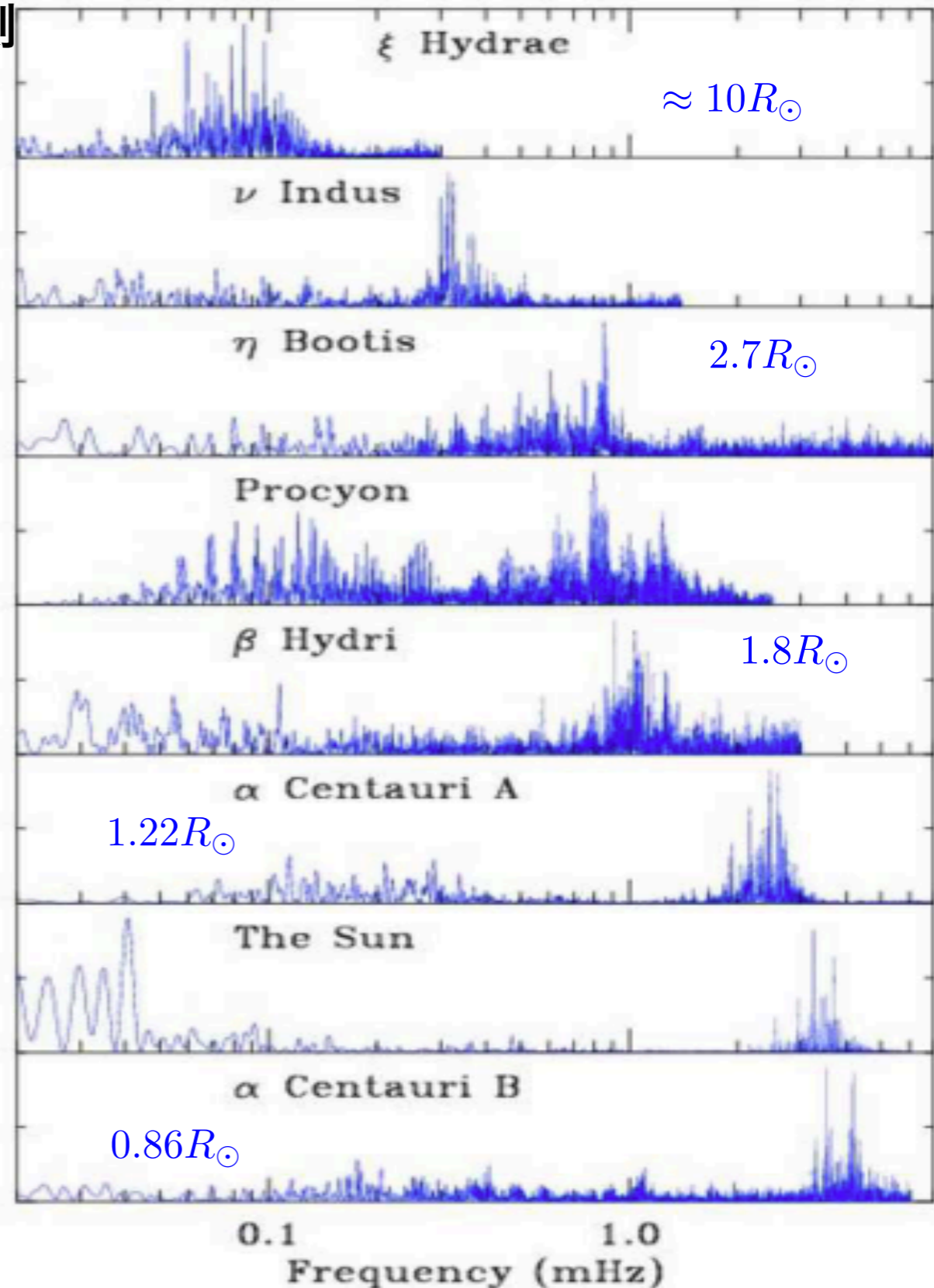
$$\nu_{\max} \propto MT_{\text{eff}}^{-1} R^{-2}$$

~1/(外層での対流turnover time)

5時間      1時間      5分 周期



Yu et al. (2018)

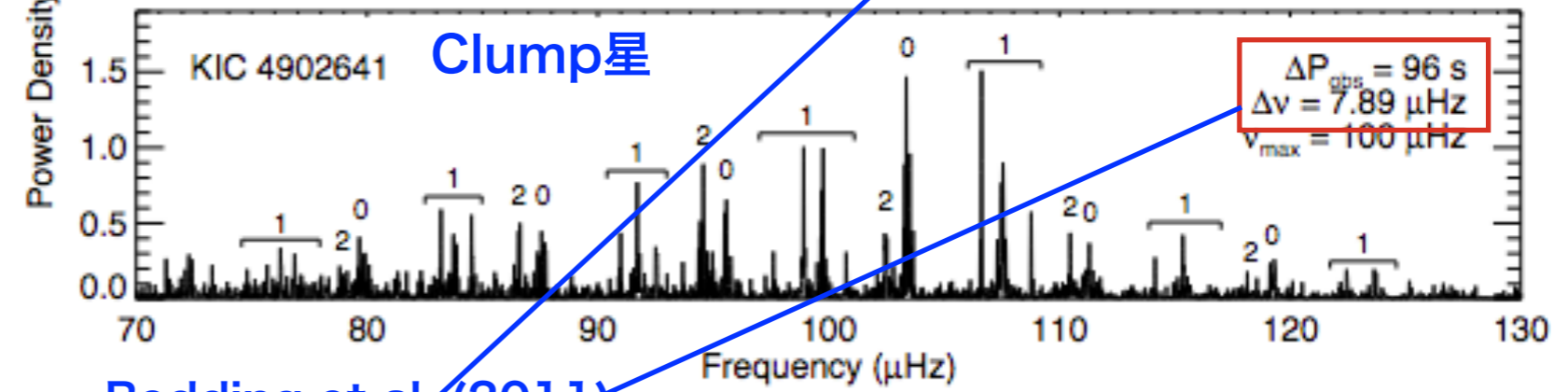
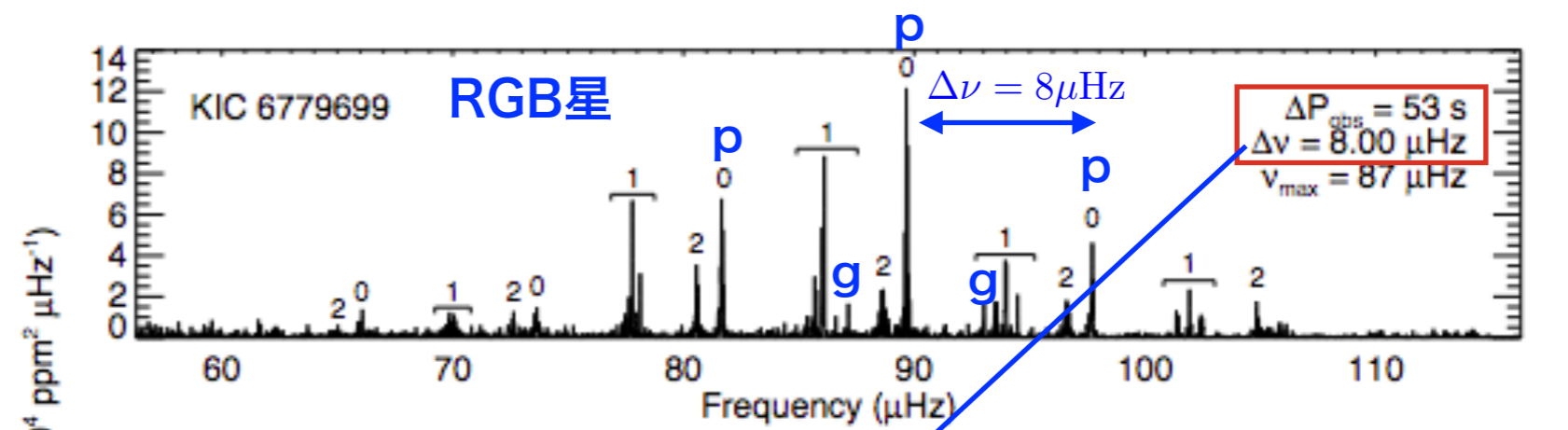


Beddina & Kjeldsen (2003)



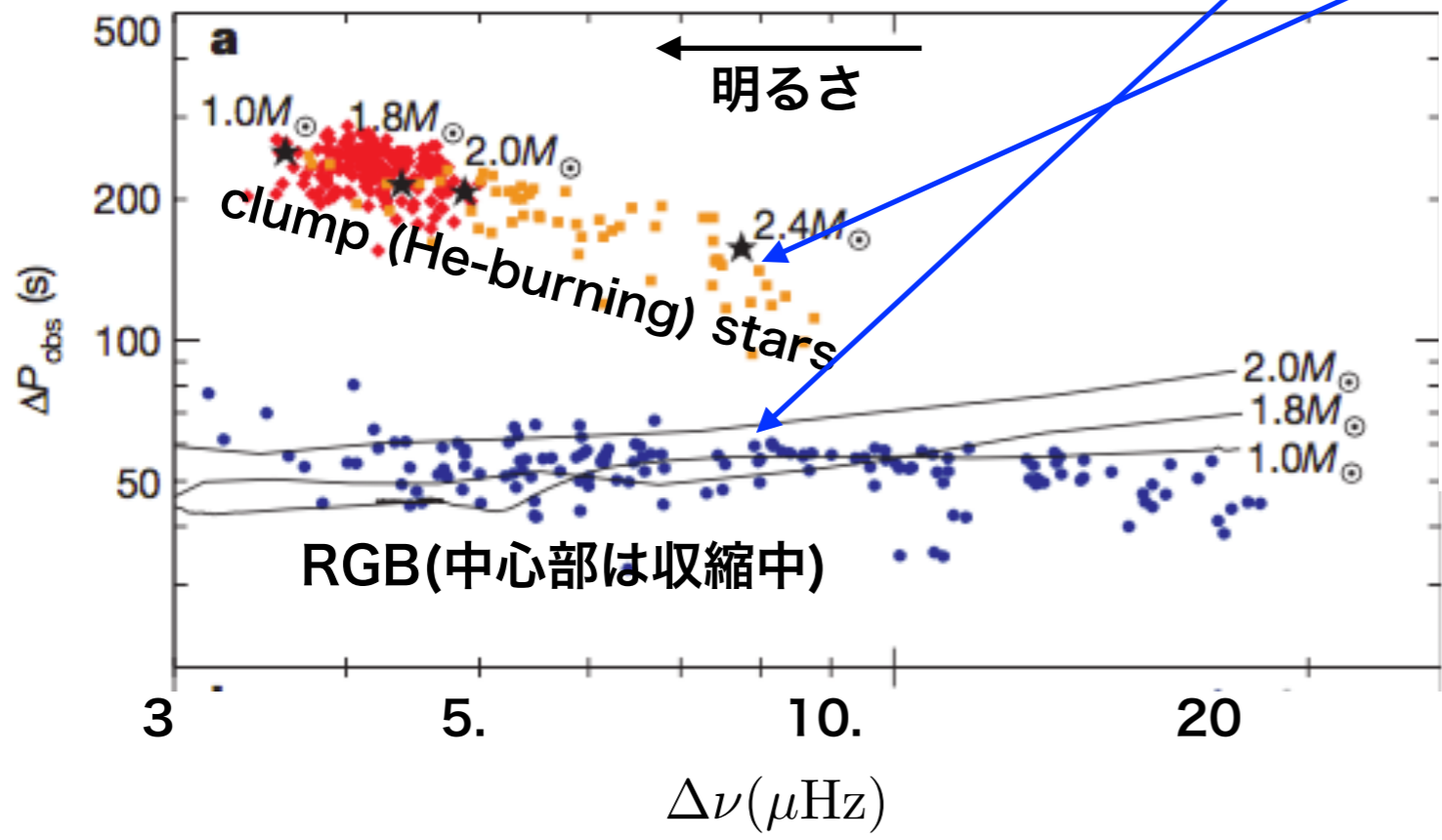
# RGB星(中心は収縮中) と Clump星(He-burning)

clump星の中心部はHe燃焼により  
高温なので密度勾配がRGB 星中心部  
より穏やかで  $N$  が比較的小さいので  
 $\Delta P_g$ が比較的長い

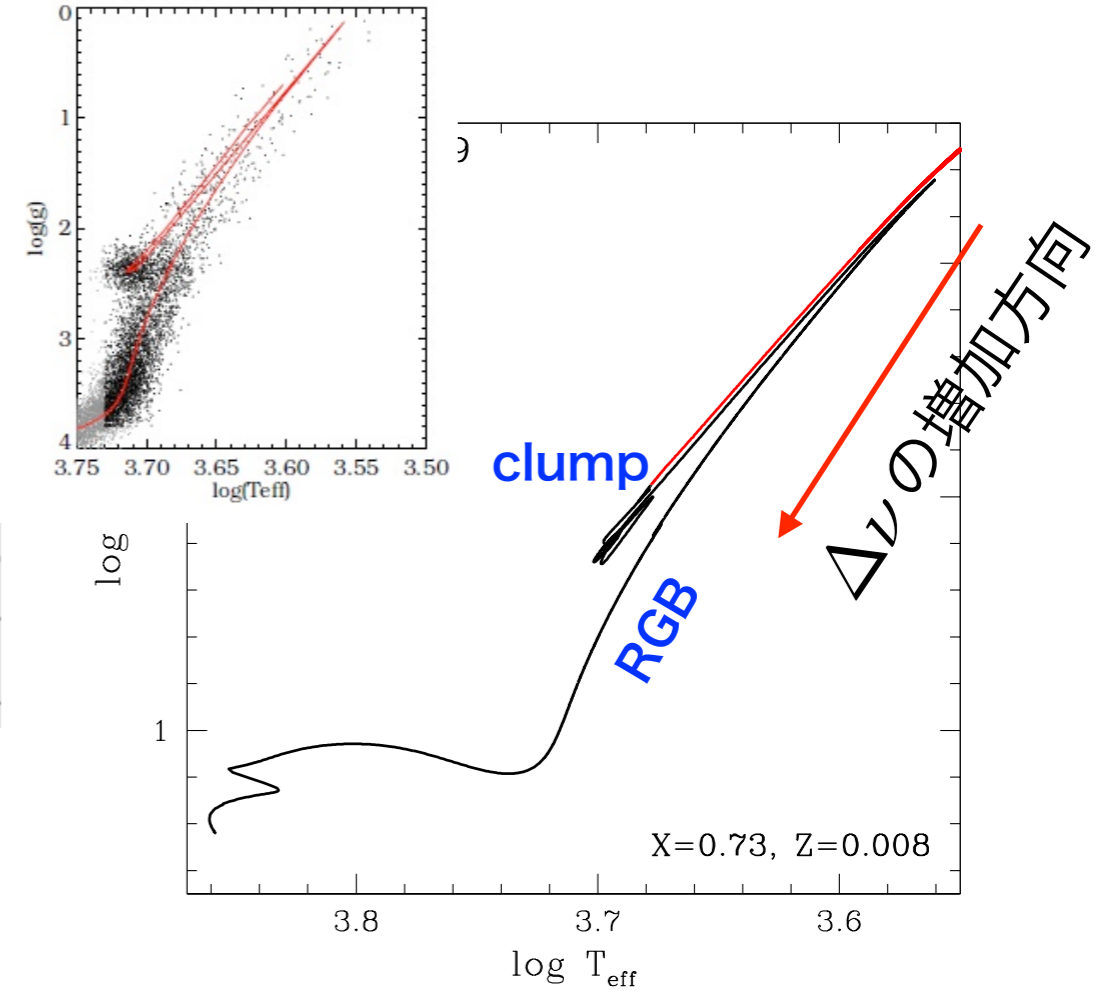


Bedding et al. (2011)

(g modes; core の状態)



(p modes ; 外層の状態)



1. 恒星振動(脈動) の 基本的性質
2. 恒星振動から知る恒星自転速度
3. r (Rossby) mode 振動
4. 脈動周期変化率と恒星進化速度
5. 進化の進んだ大質量星の脈動
6. Betelgeuse ( $\alpha$  Ori) の脈動

# Non-radial pulsations の周波数 → 恒星の表面及び内部の自転

## 自転によるの振動周波数のsplitting

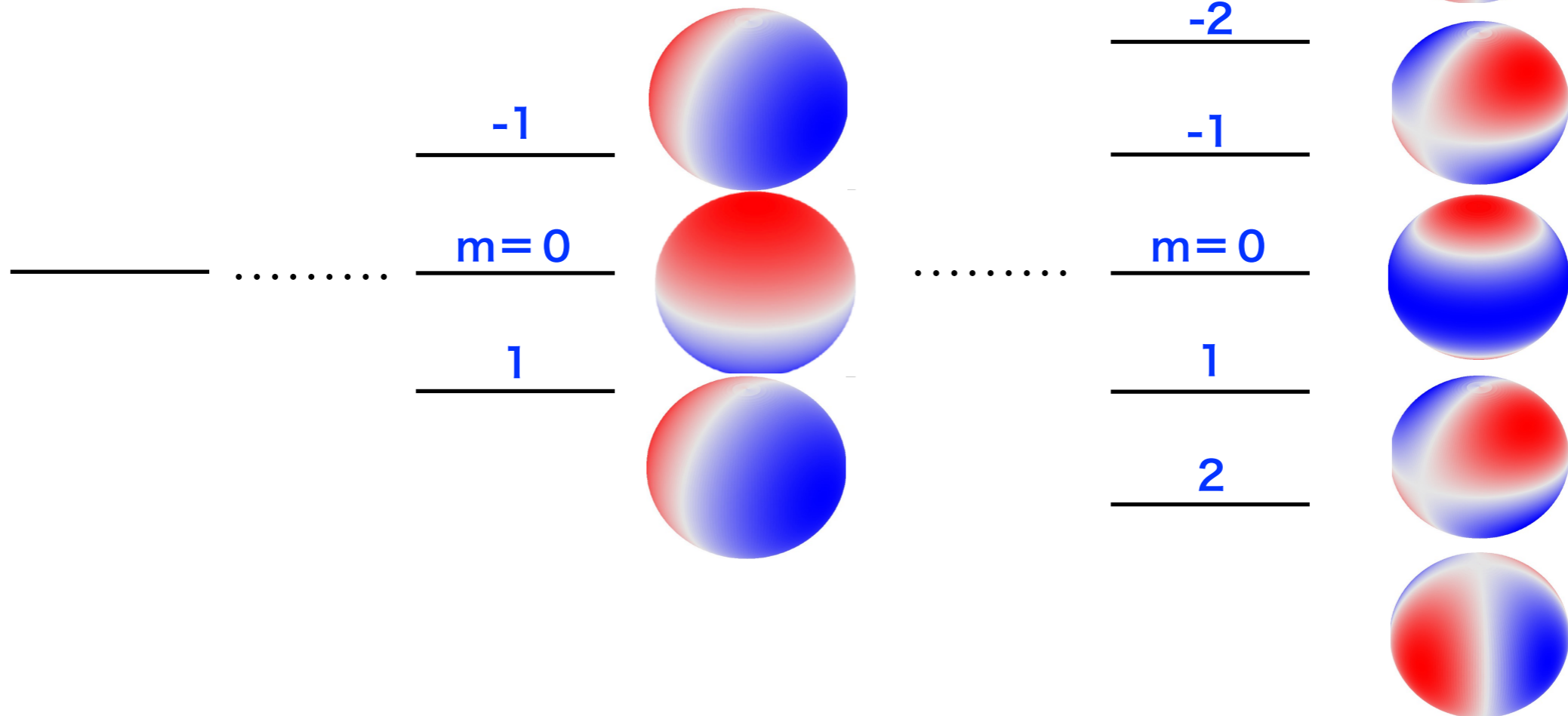
$$\delta T(r, \theta, \phi, t) = \delta T_n(r) Y_\ell^m(\theta, \phi) e^{i\omega t}, \quad \omega = \omega_0 - m(1 - C_{\ell,n})\Omega; \quad (\Omega \ll \omega_0)$$

Dipole modes ( $\ell = 1$ )

Quadrupole modes ( $\ell = 2$ )

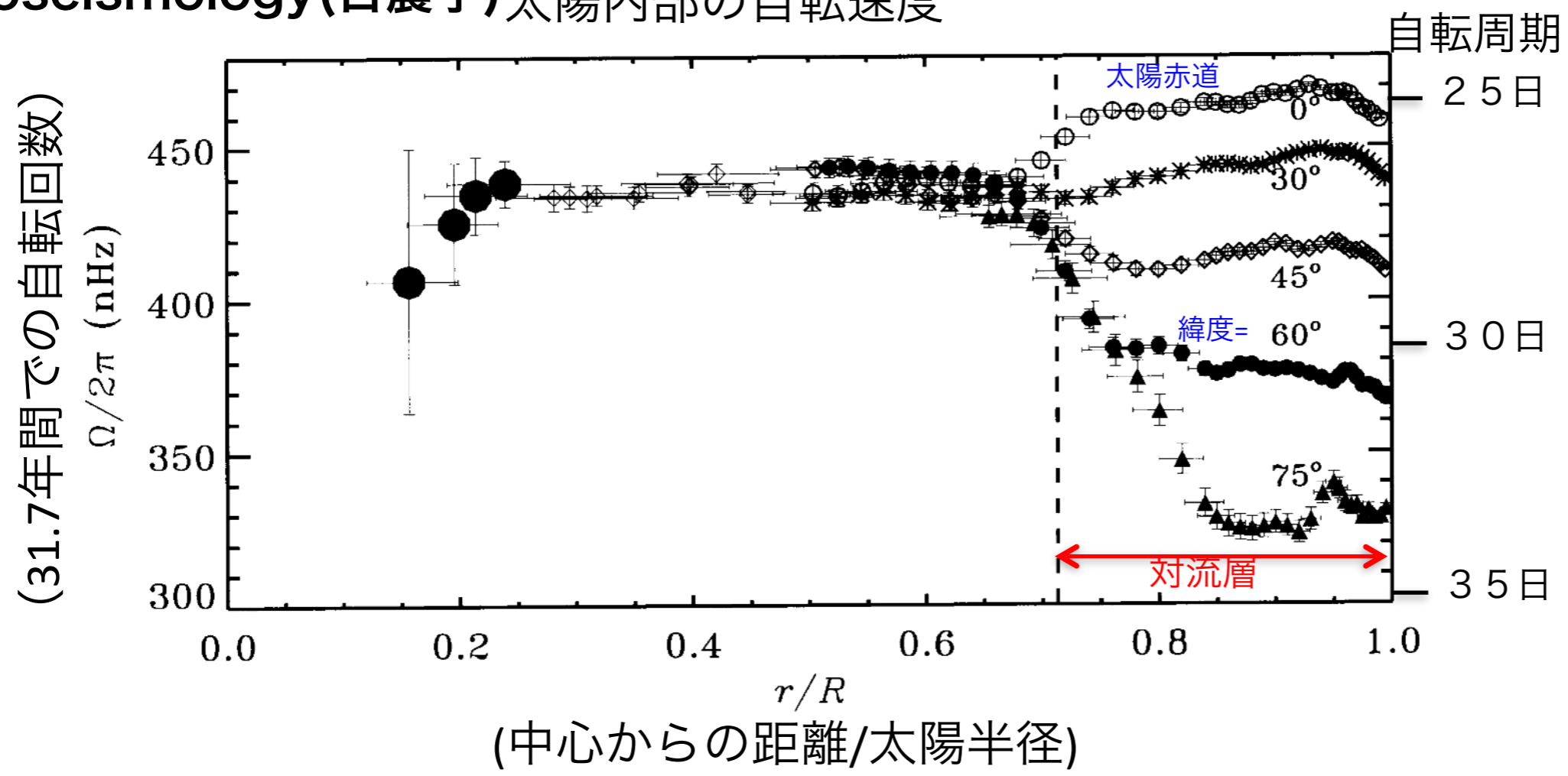
$\Omega = 0$

脈動周波数 ↑





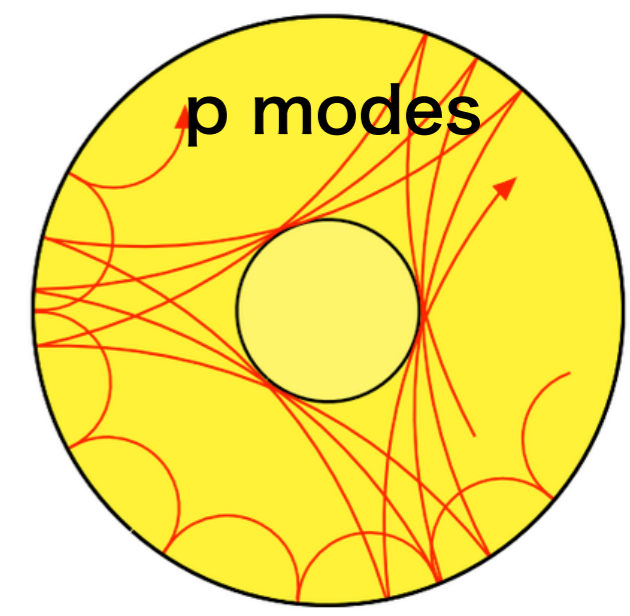
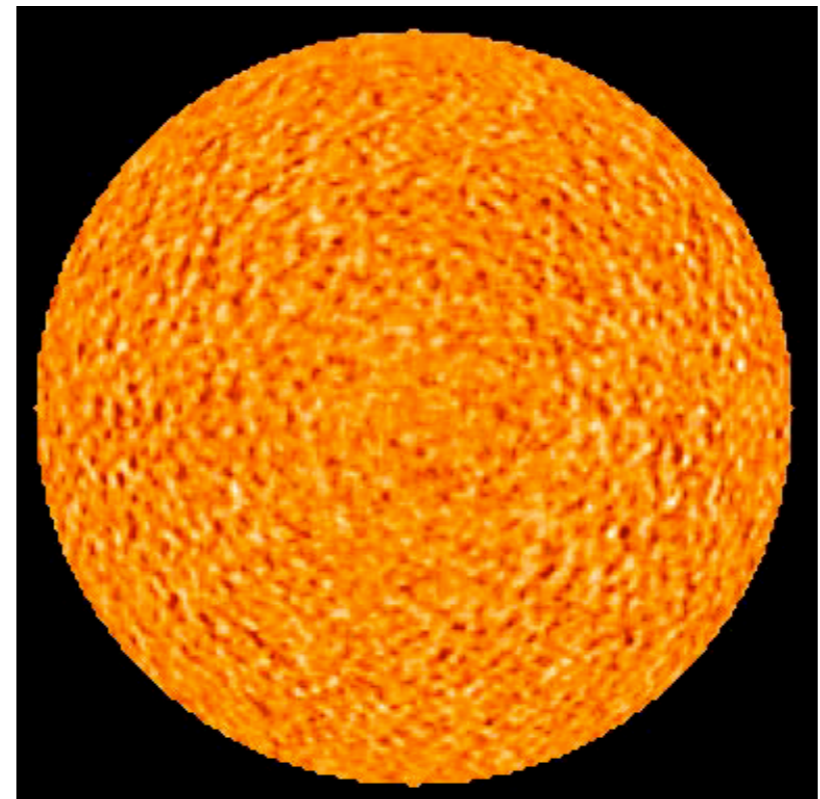
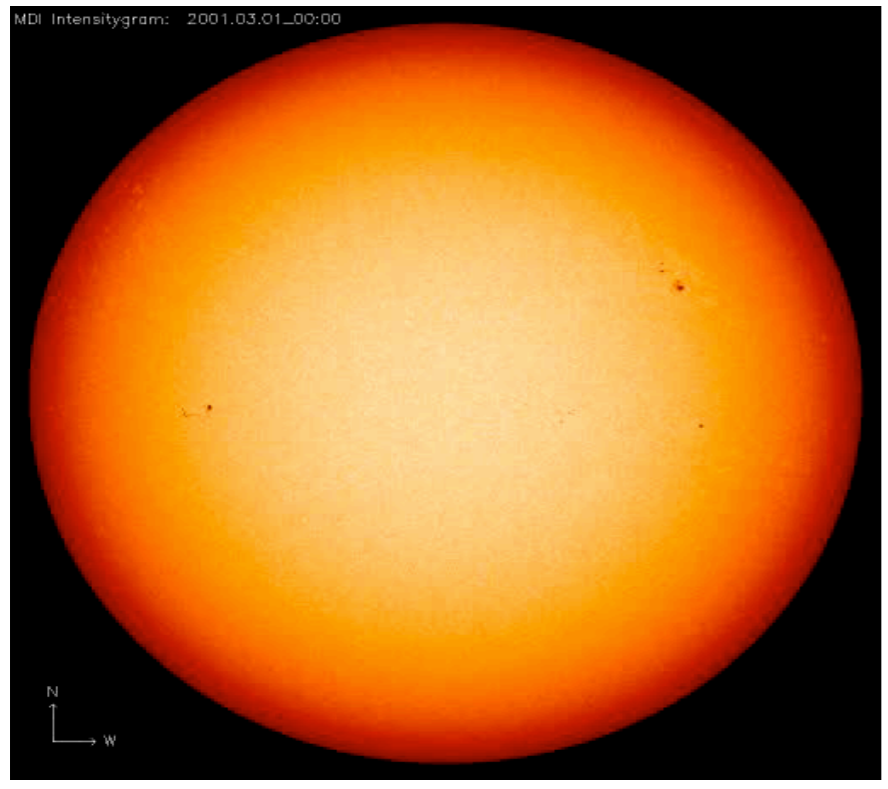
# Helioseismology (日震学) 太陽内部の自転速度



(Christensen-Dalsgaard & Thompson 2007)

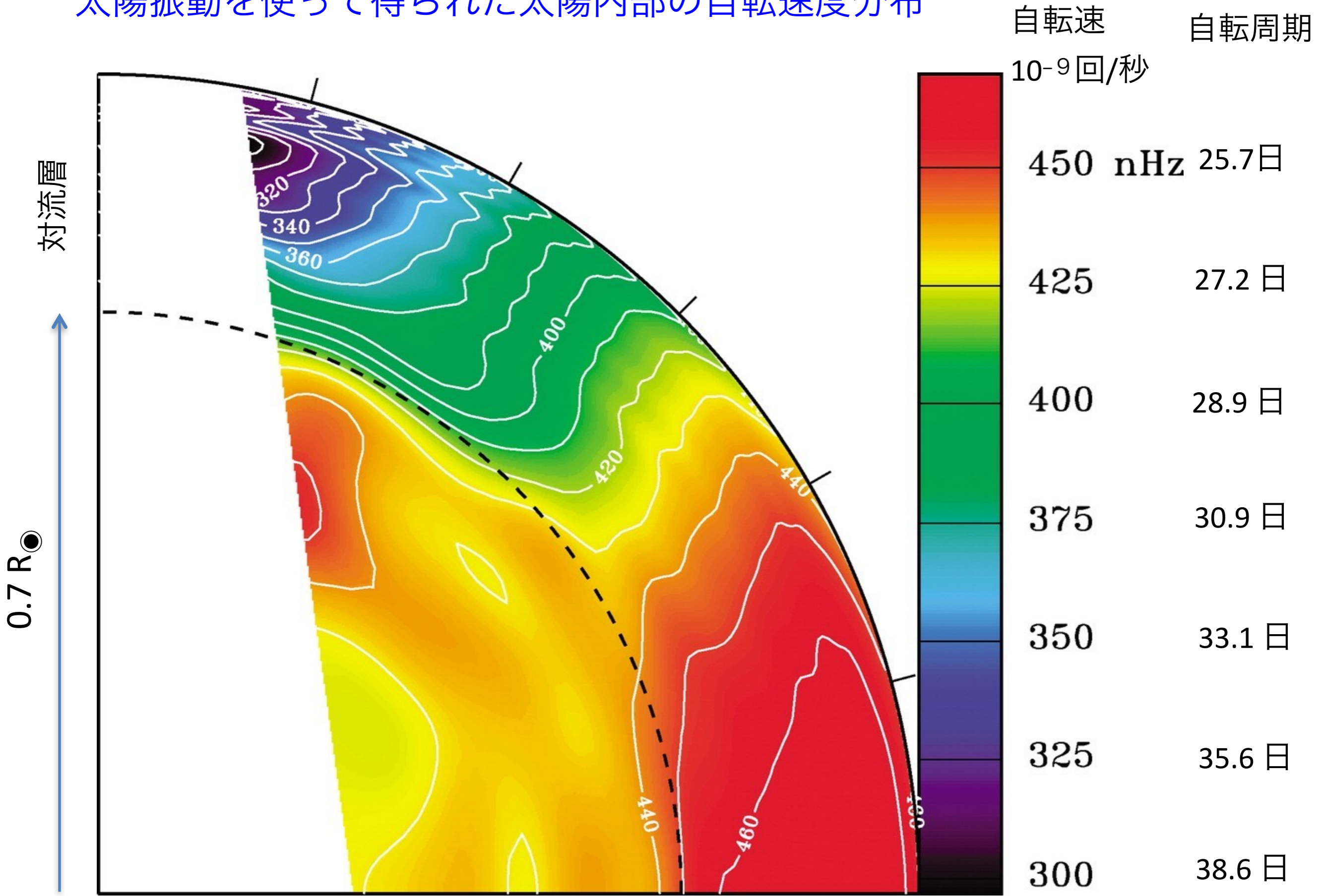
太陽表面の自転速度は黒点の位置の動きから

内部の自転速度は太陽振動で



波長の短いモードほど外層  
の情報

# 太陽振動を使って得られた太陽内部の自転速度分布





# 自転によるの振動周波数のsplitting

$$\delta T(r, \theta, \phi, t) = \delta T_n(r) Y_\ell^m(\theta, \phi) e^{i\omega t}, \quad \omega = \omega_0 - m(1 - C_{\ell,n})\Omega; \quad (\Omega \ll \omega_0)$$

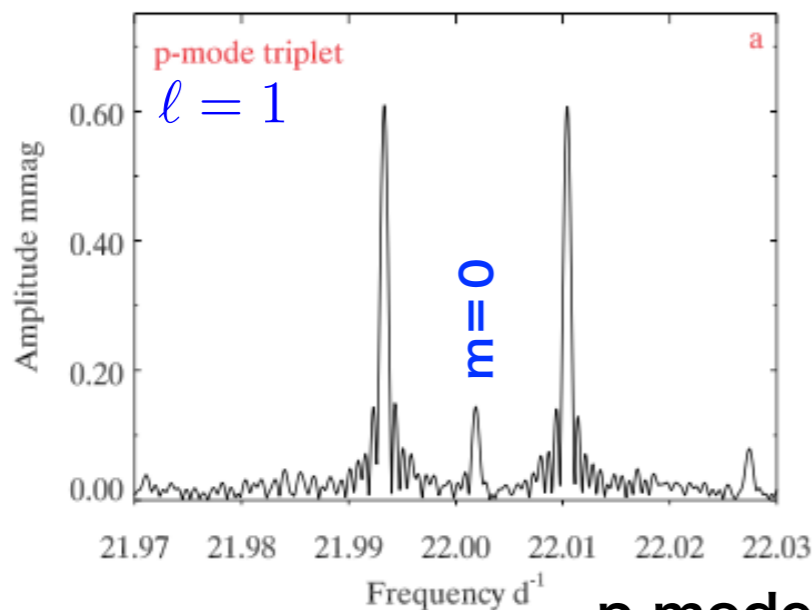
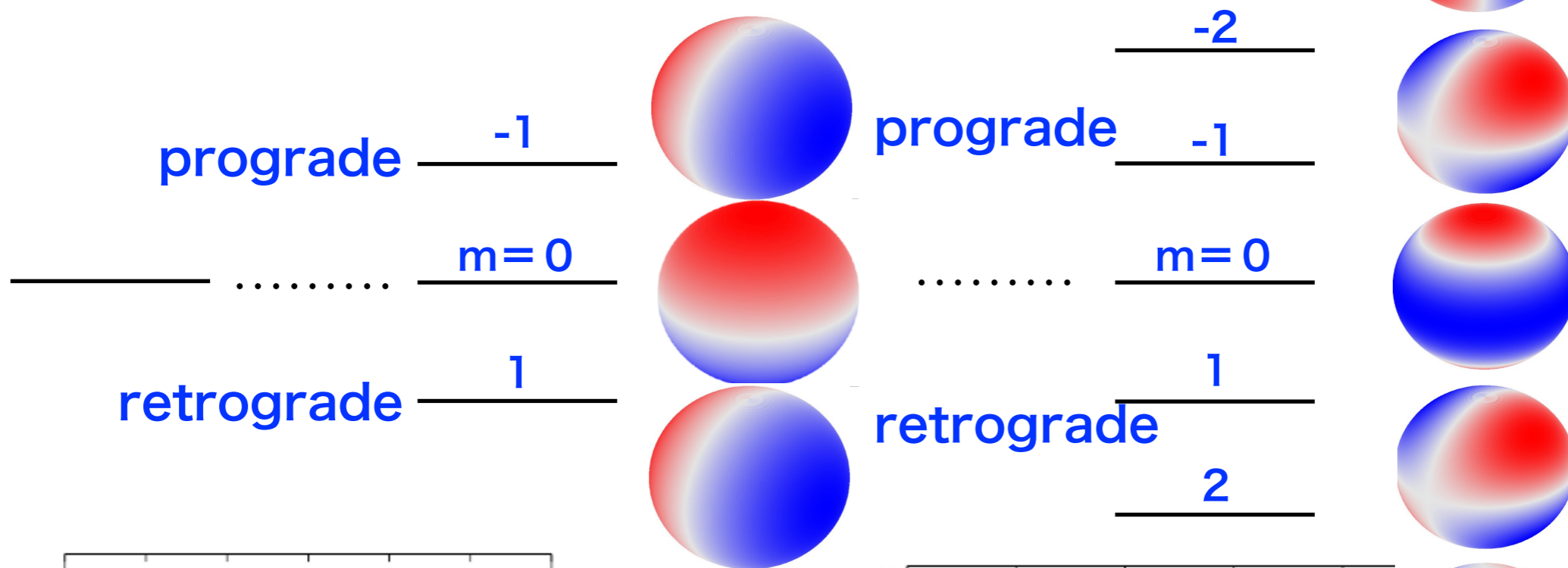
主にp modes で  $\Omega \ll \omega$

Quadrupole modes ( $\ell = 2$ )

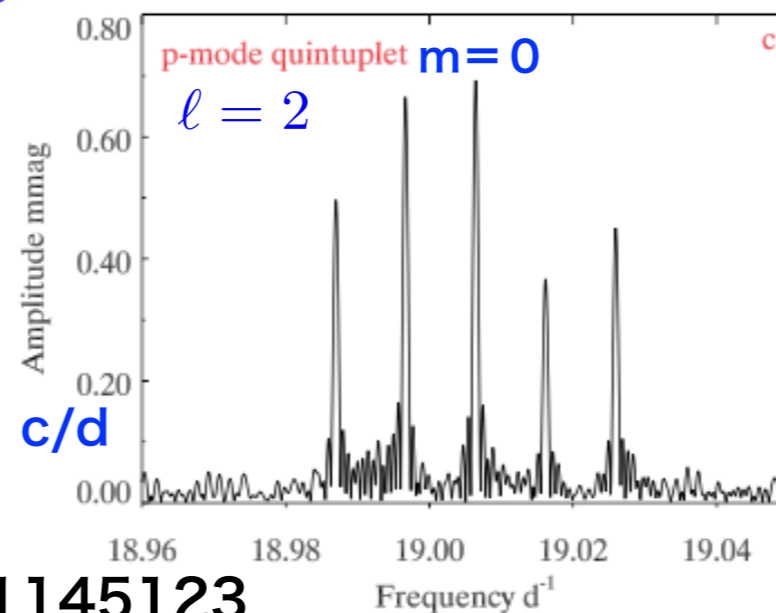
Dipole modes ( $\ell = 1$ )

$\Omega = 0$

脈動周波数 ↑



$\nu_{rot} \sim 0.01$  c/d



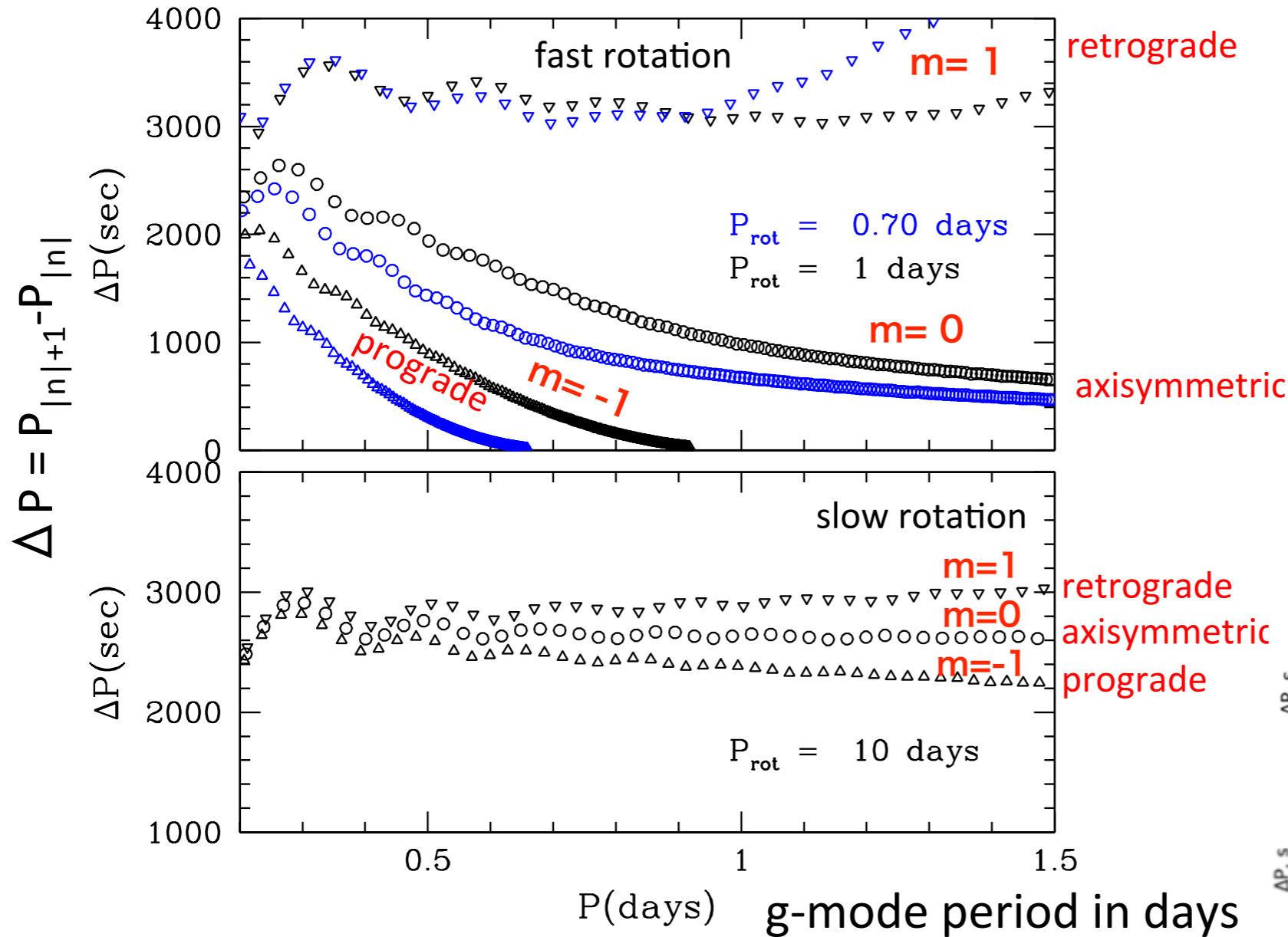
p modes in KIC 11145123

# 自転が速い時 ( $2\Omega > \omega$ ) の g modes ( $\Delta P_g$ ) の振る舞い

g modes ではしばしば  $\Omega > \sim \omega$

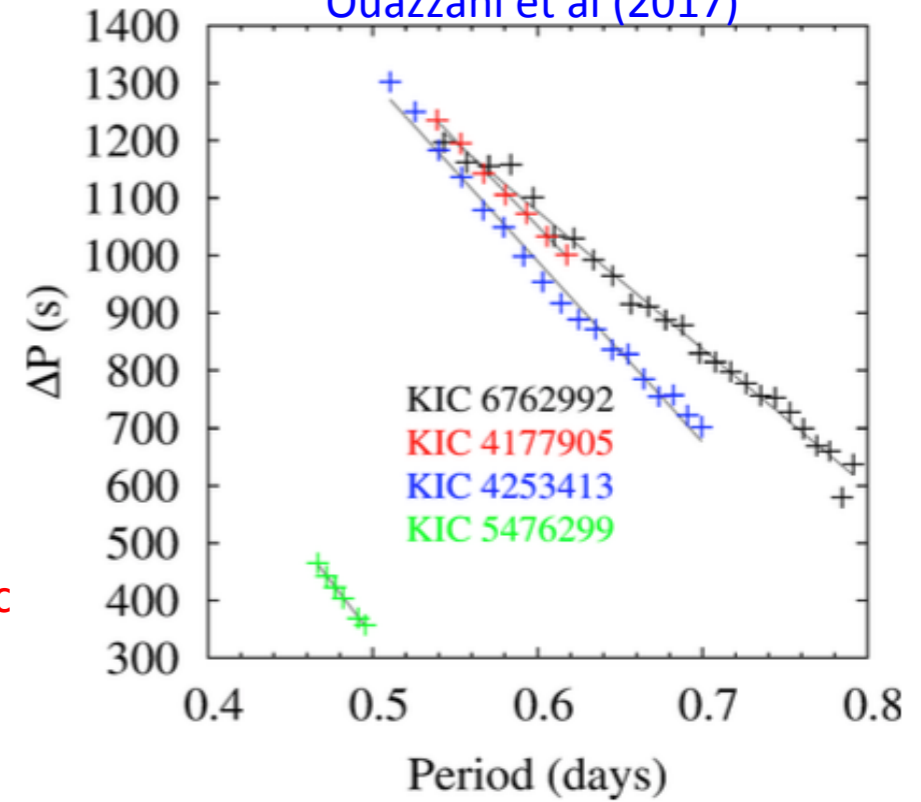
それぞれの m に対する  $\Delta P_g - P_g$  関係の予想

Period spacing in seconds

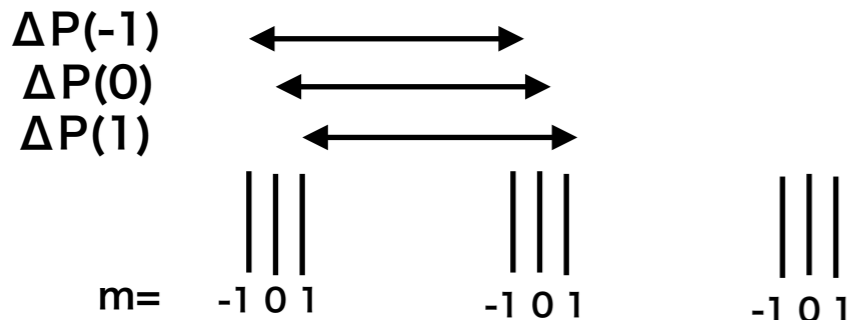
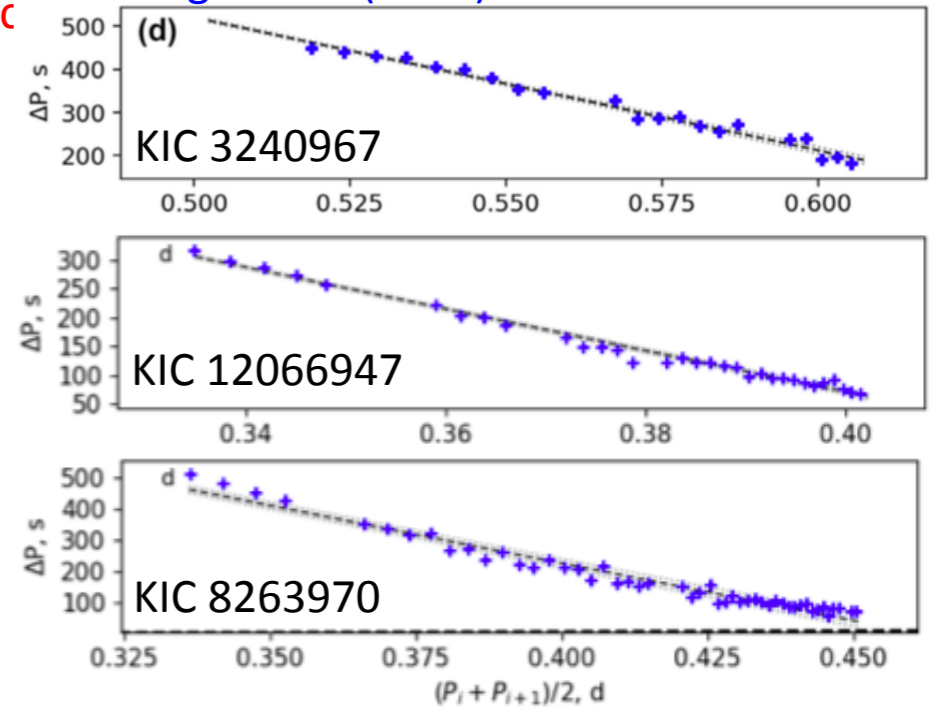


Kepler の観測から  
得られた  $\Delta P_g$  の例

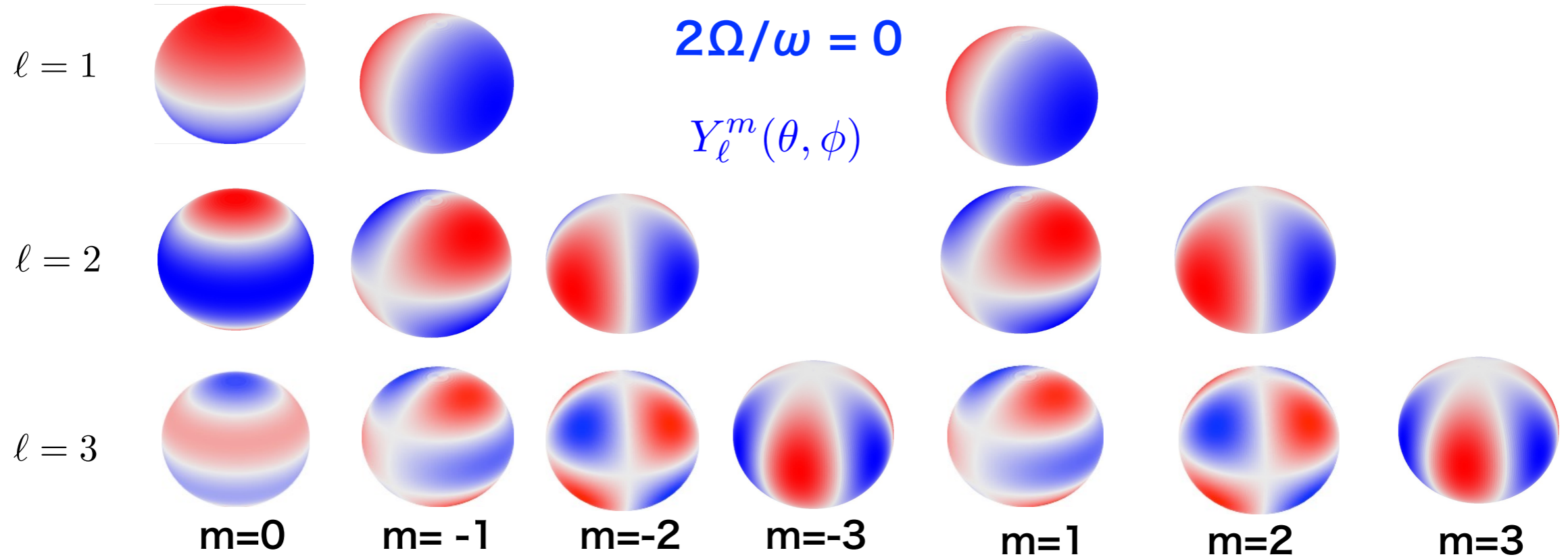
Ouazzani et al (2017)



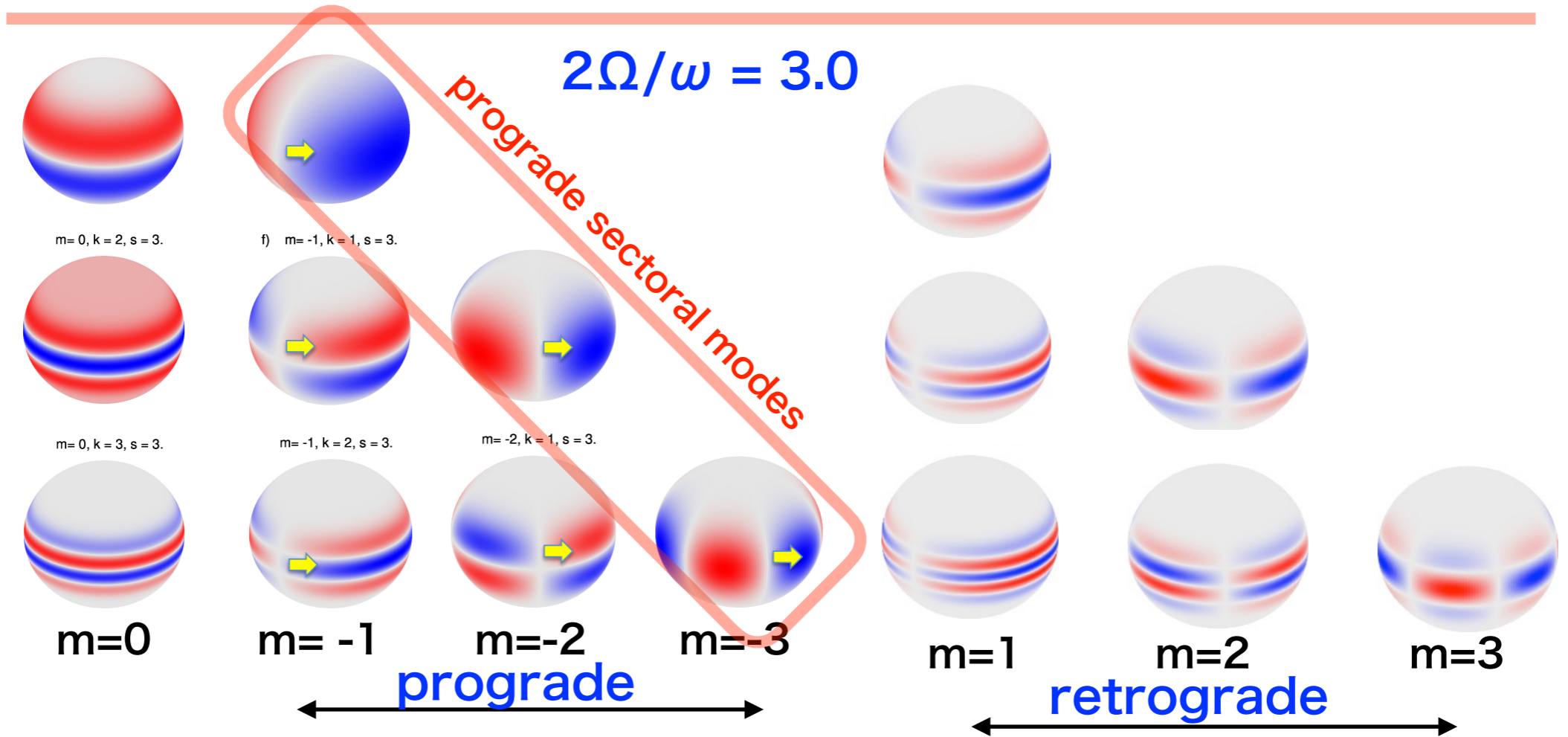
Gang Li et al (2019)



# 自転(コリオリの力)による振動パターンの変化

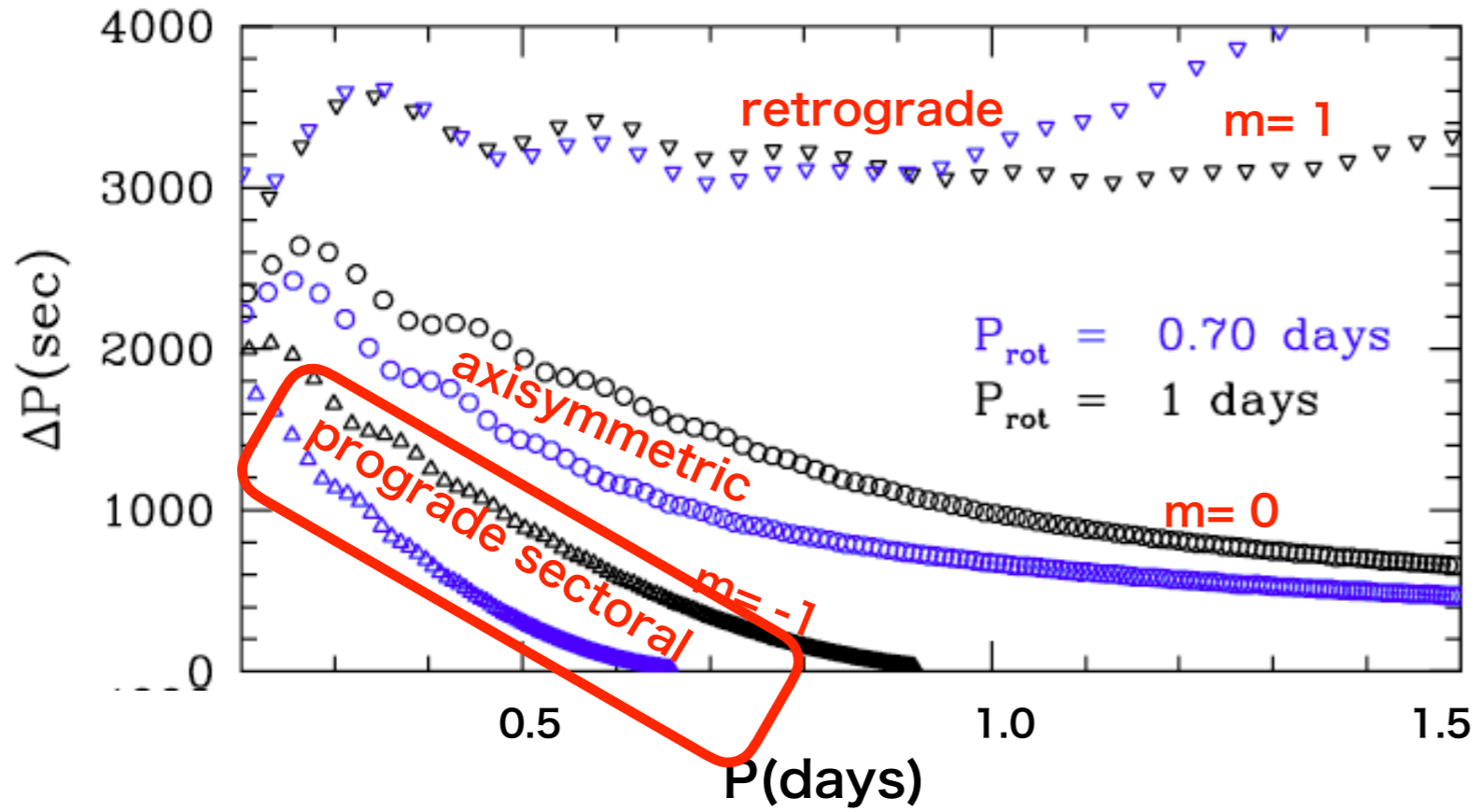


$e^{i(\omega t + m\phi)}$



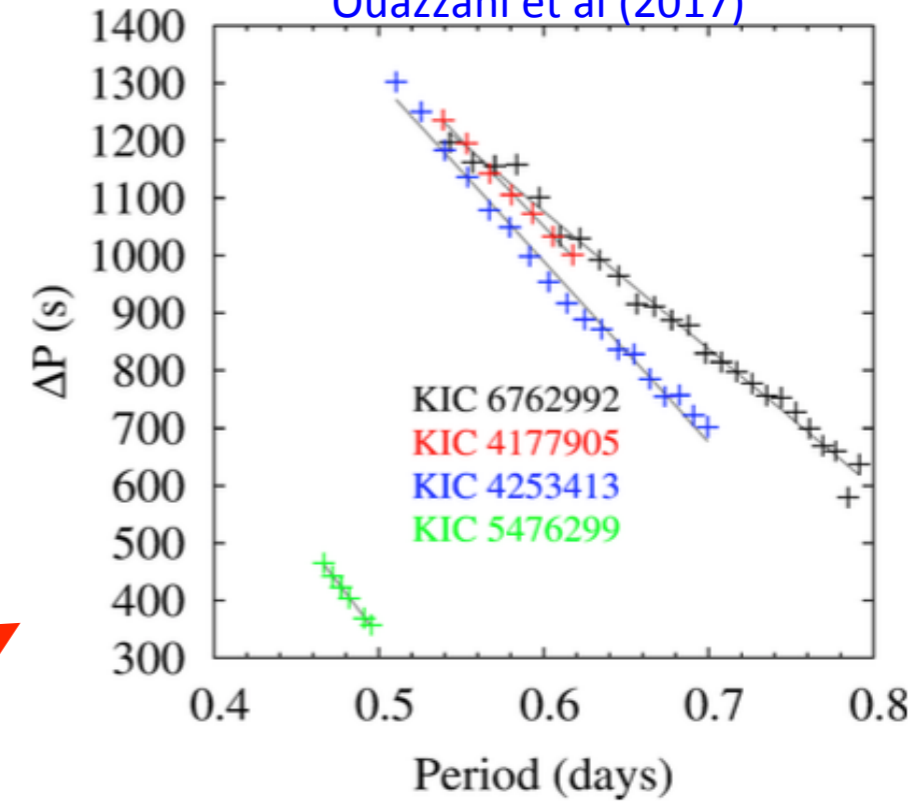


# 高速自転星でのg modes ( $2\Omega > \omega$ )はprograde sectoral modes だけが観測される



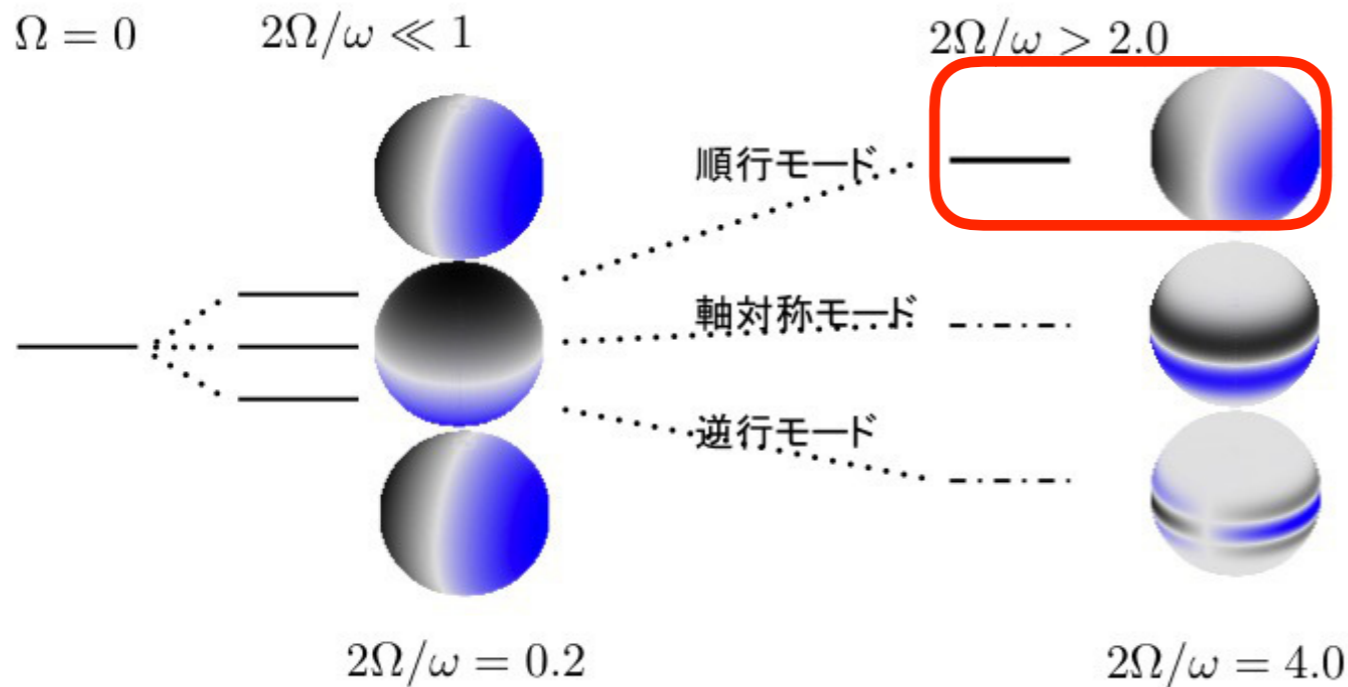
Kepler の観測から  
得られた  $\Delta P_g$  の例

Ouazzani et al (2017)

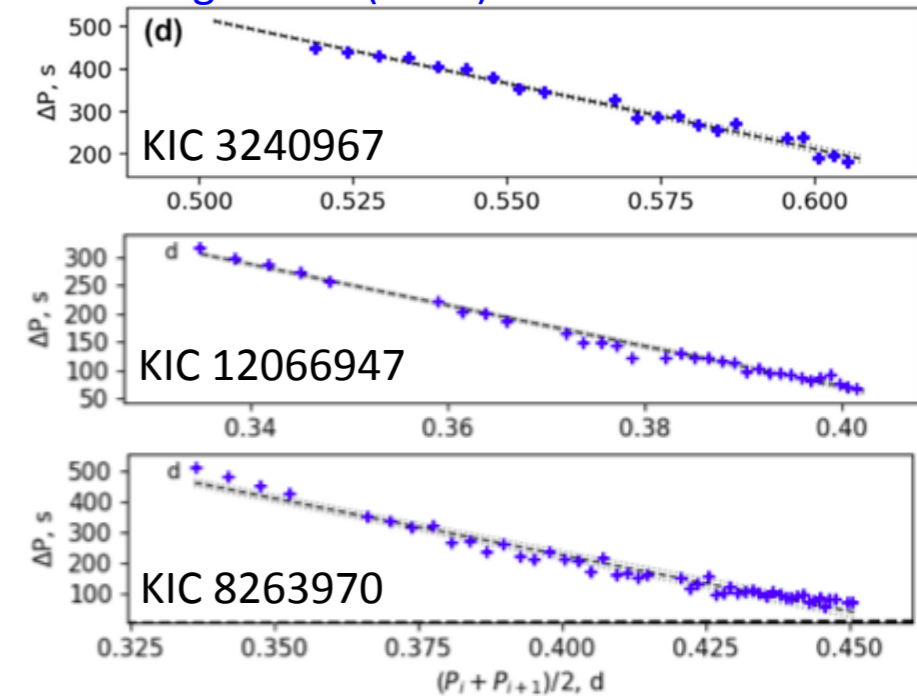


Prograde sectoral modes だけが見える

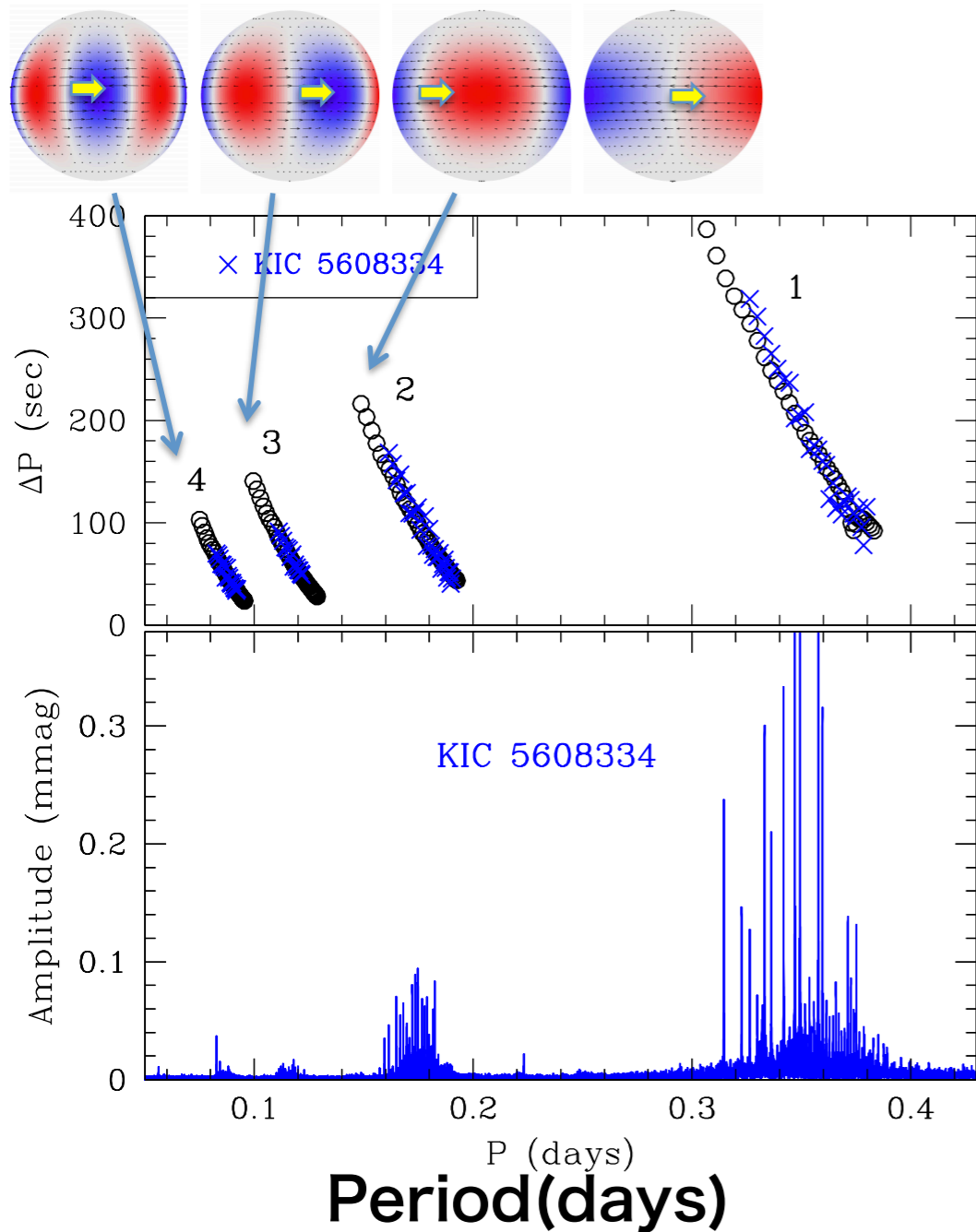
Dipole modes ( $\ell = 1$ )



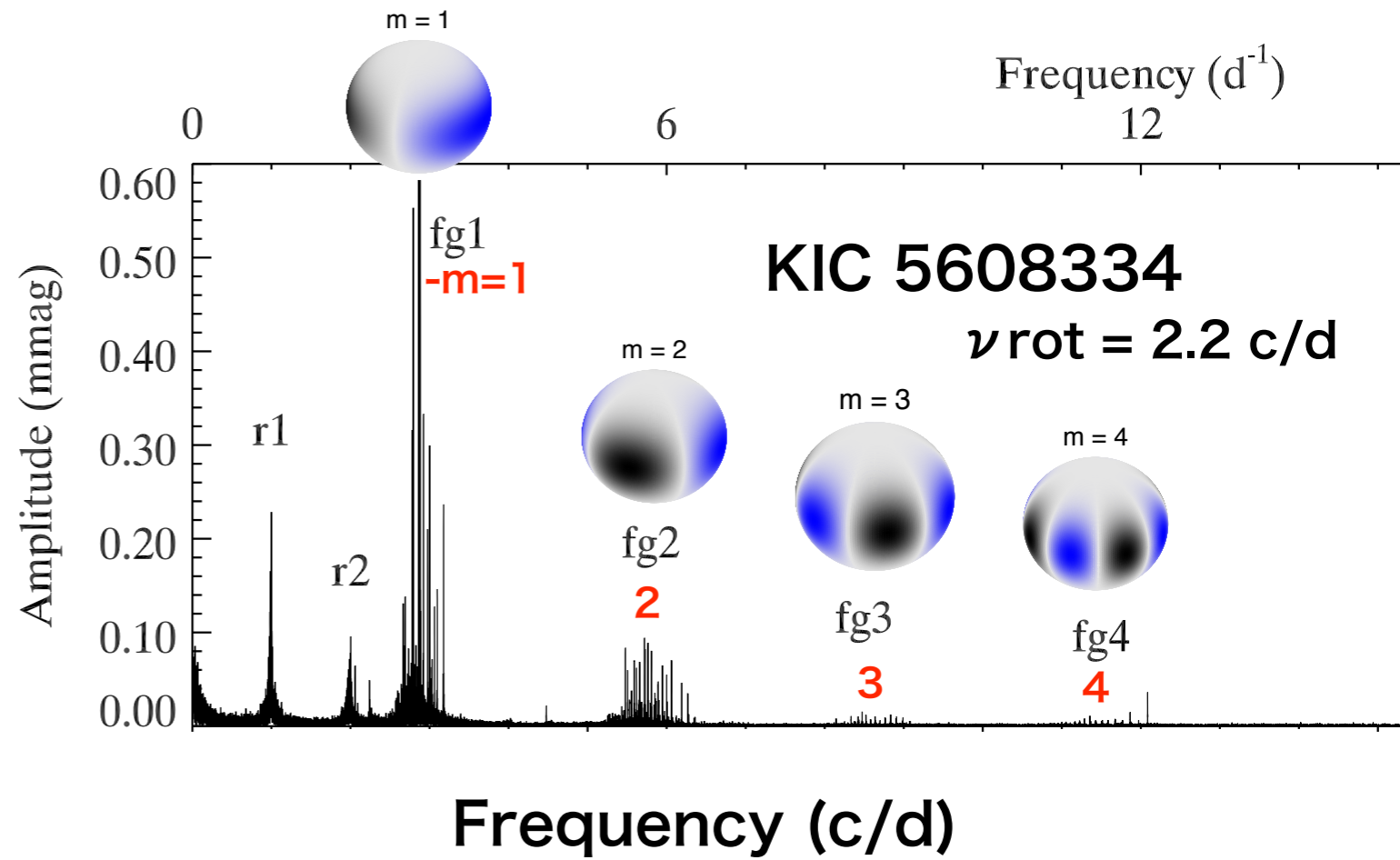
Gang Li et al (2019)



高速自転星ではg modesの  
 周期または周波数  
 グループをつくる



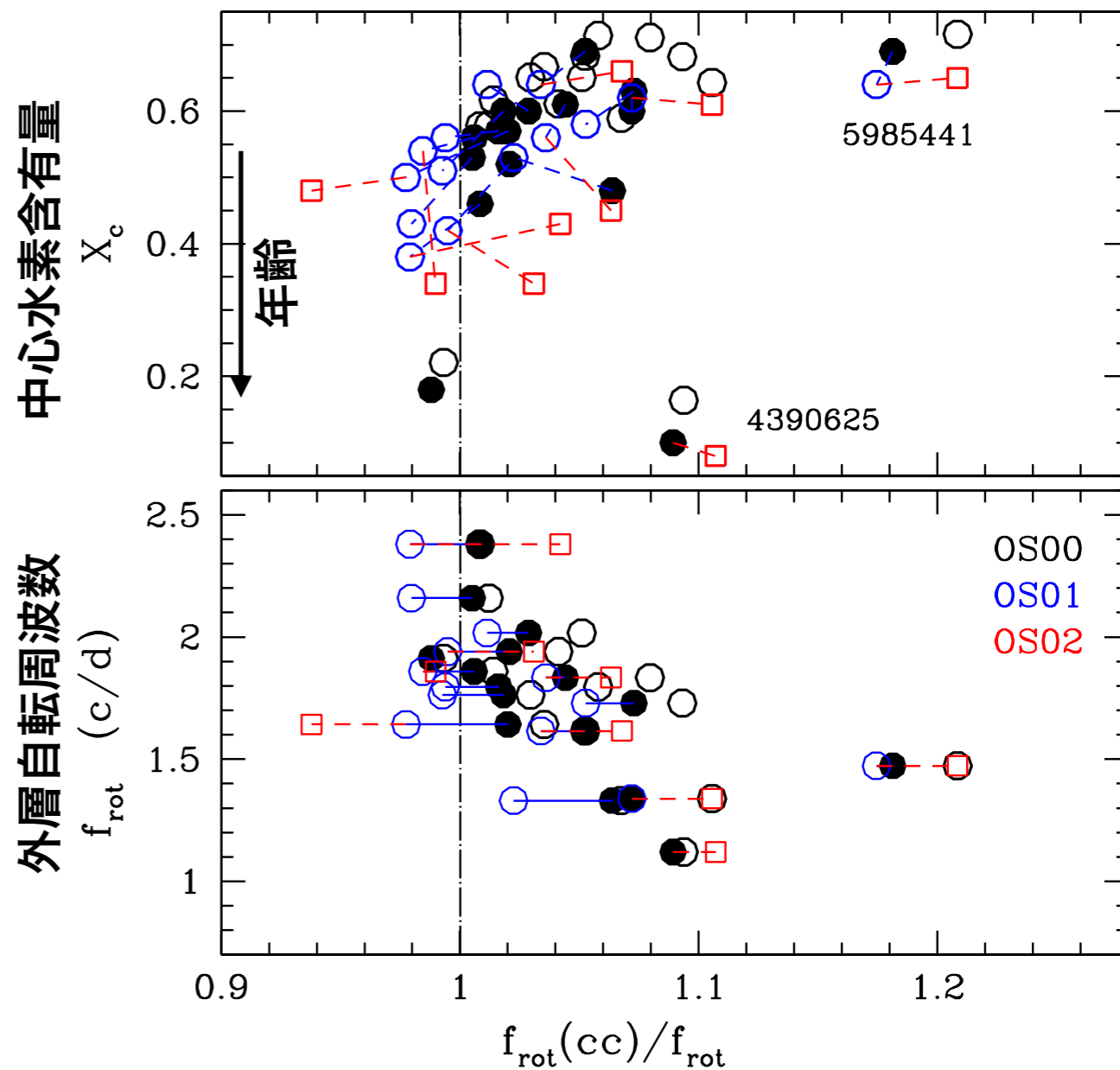
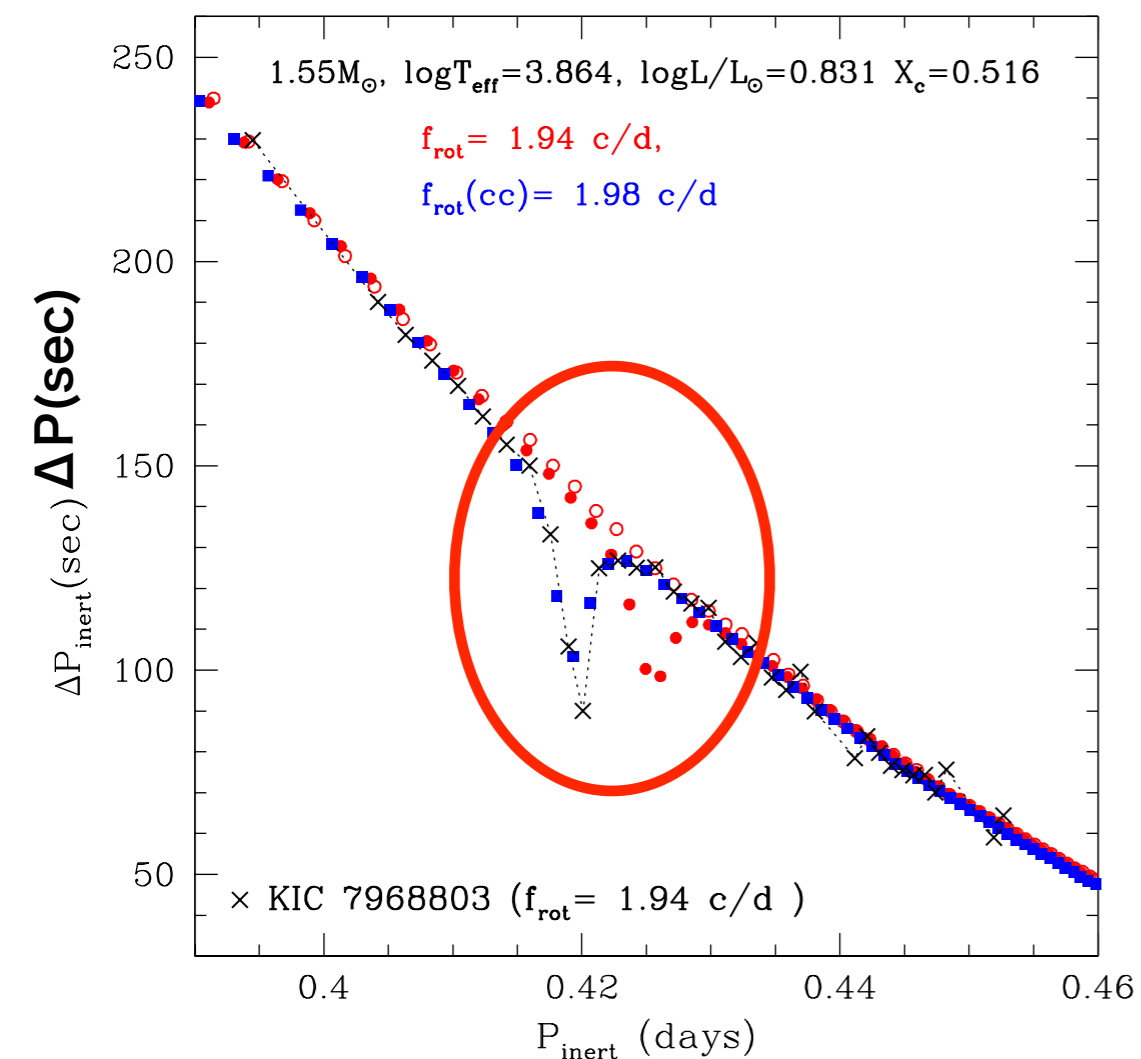
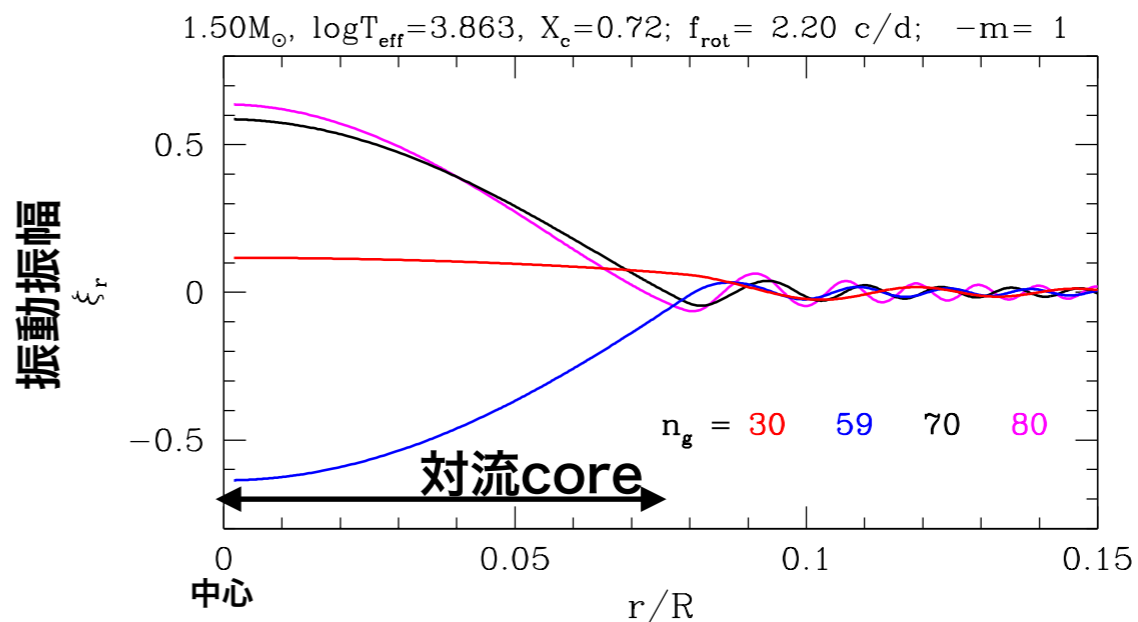
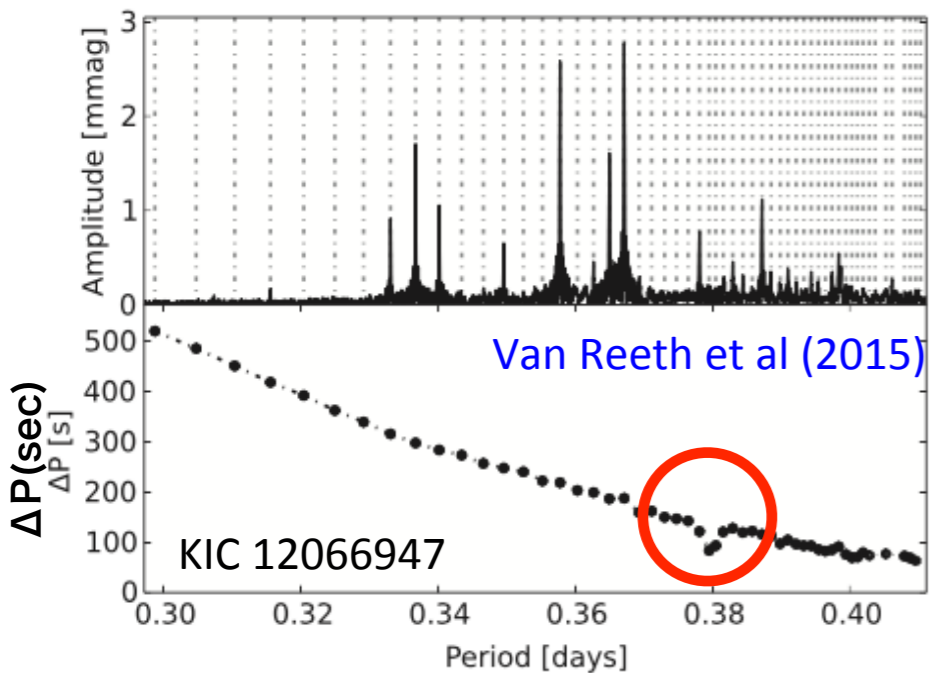
g modes:  $2\Omega > \omega$



$$\nu_{obs} = \nu_{co-rot} - m \frac{\Omega}{2\pi}$$

$$\approx |m| \frac{\Omega}{2\pi}$$

# $\Delta P$ - $P$ 関係のdip --> 中心対流coreの自転速度



# 種々の星の中心部○と外層部△の自転周波数

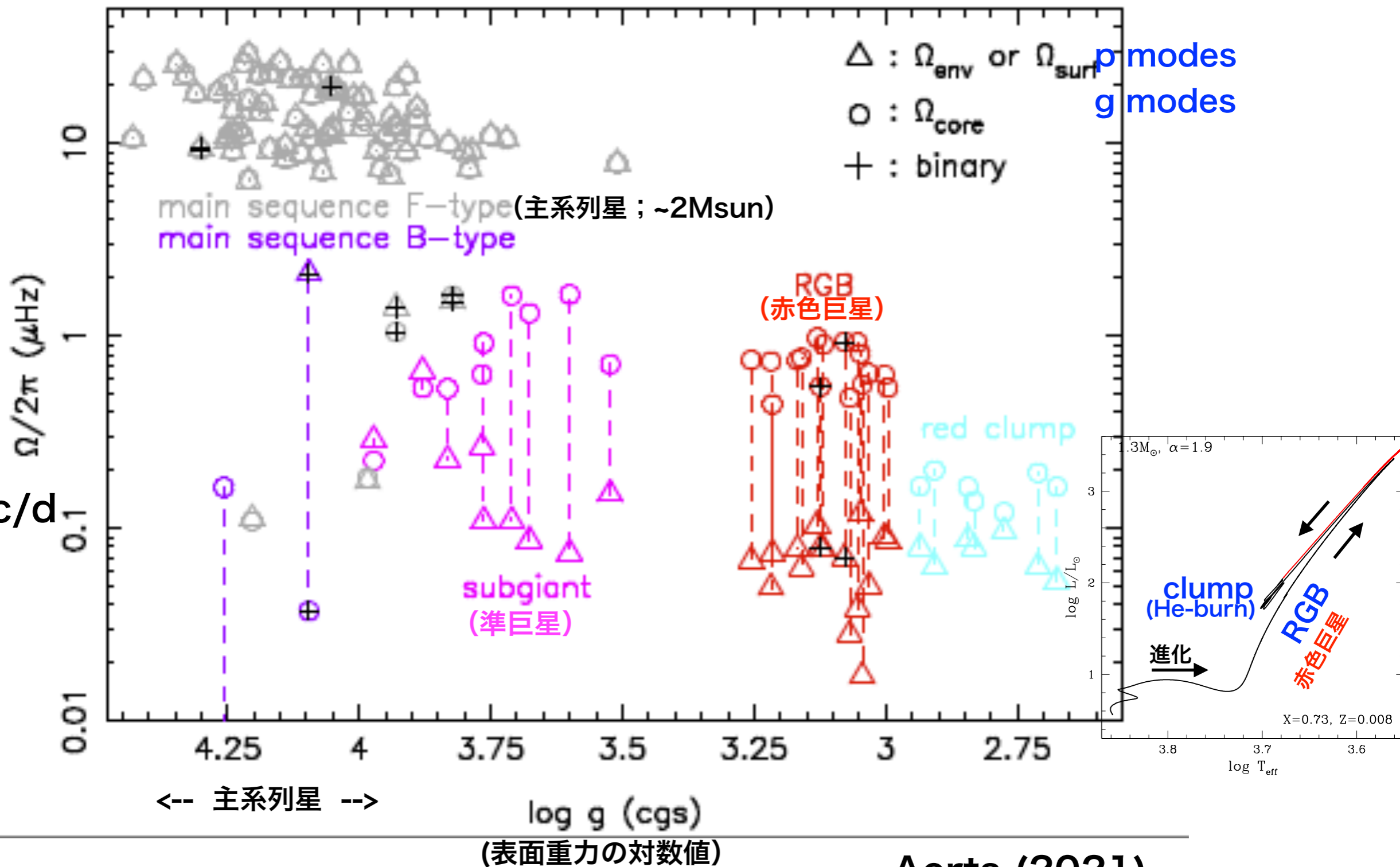
g modes

p modes

自転速度

1c/d

0.01 c/d



Aerts (2021)

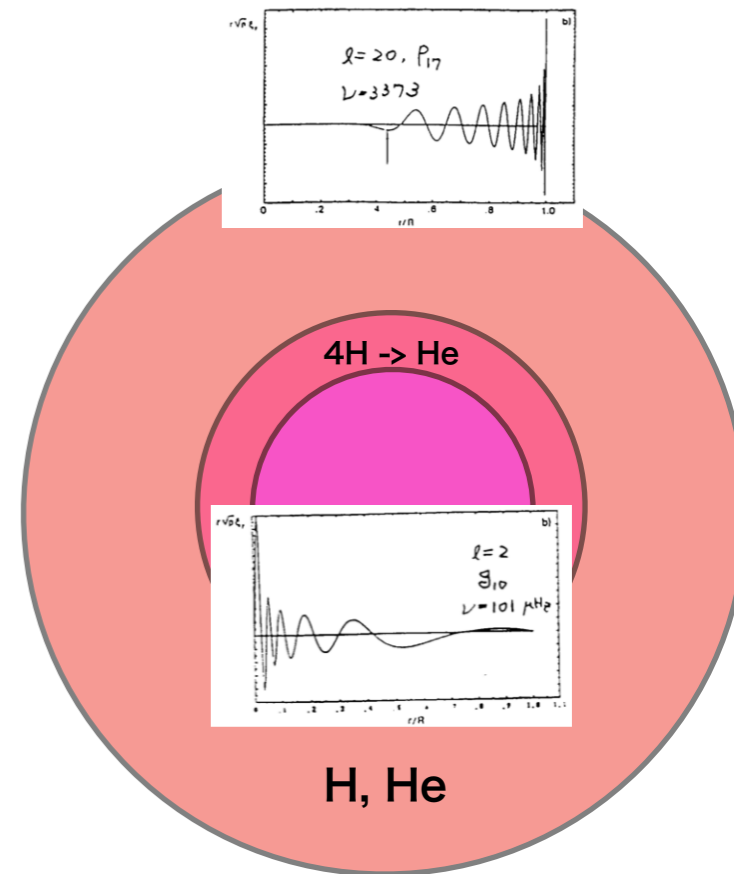
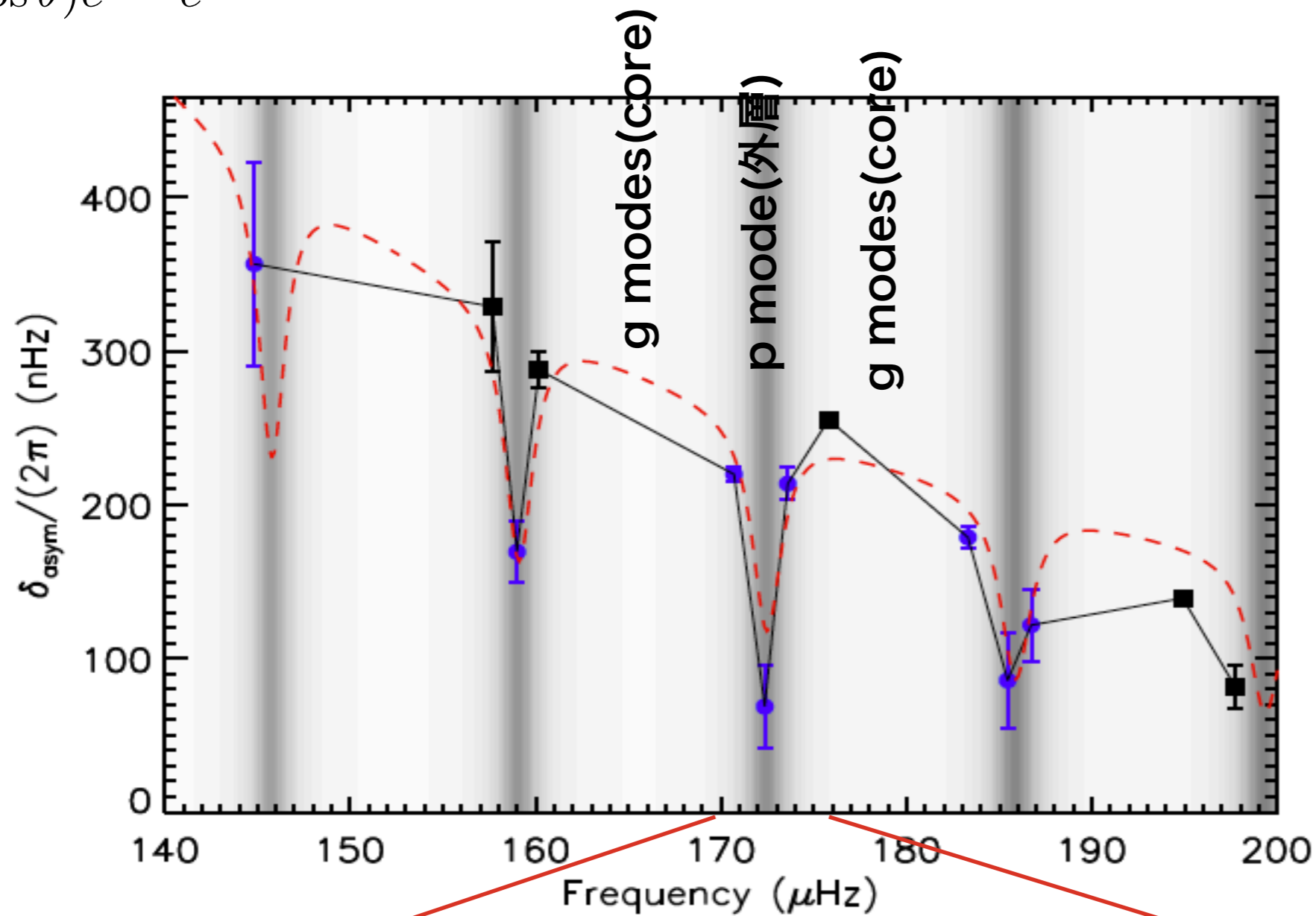
# 赤色巨星双極振動周波数のrotational splitting Asymmetry

$$l = 1$$

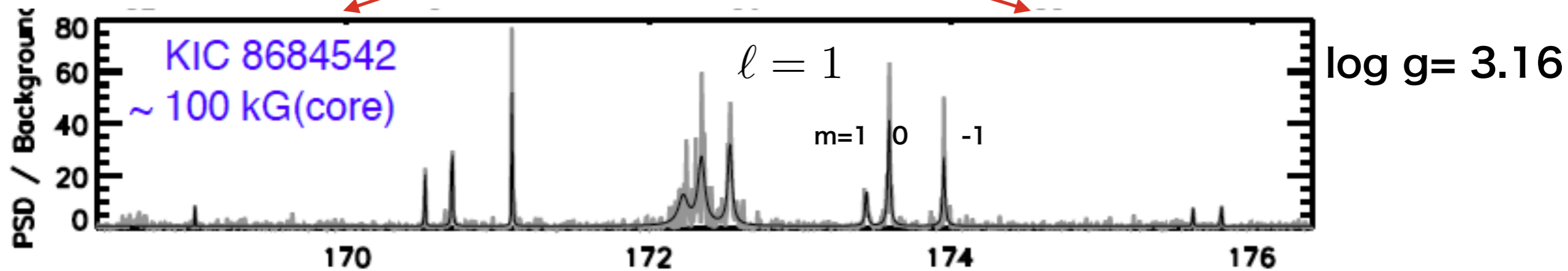
---> 中心部の磁場の強さ

$$P_l(\cos \theta) e^{im\phi} e^{i\omega t}$$

$$\delta_{\text{asym}} = \omega_{m=-1} + \omega_{m=1} - 2\omega_{m=0}$$



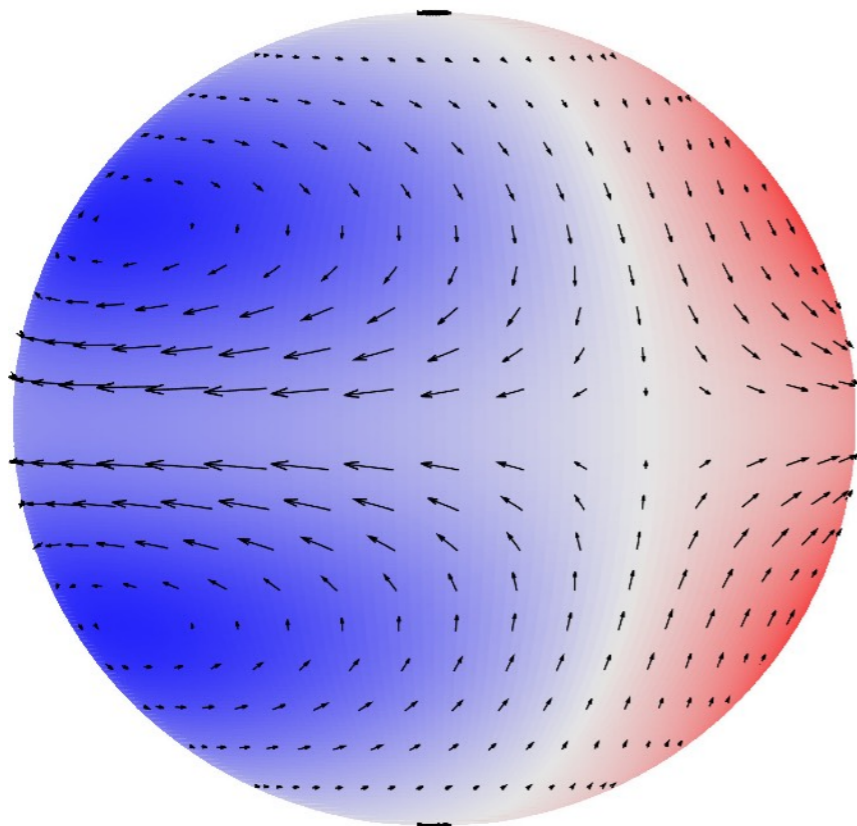
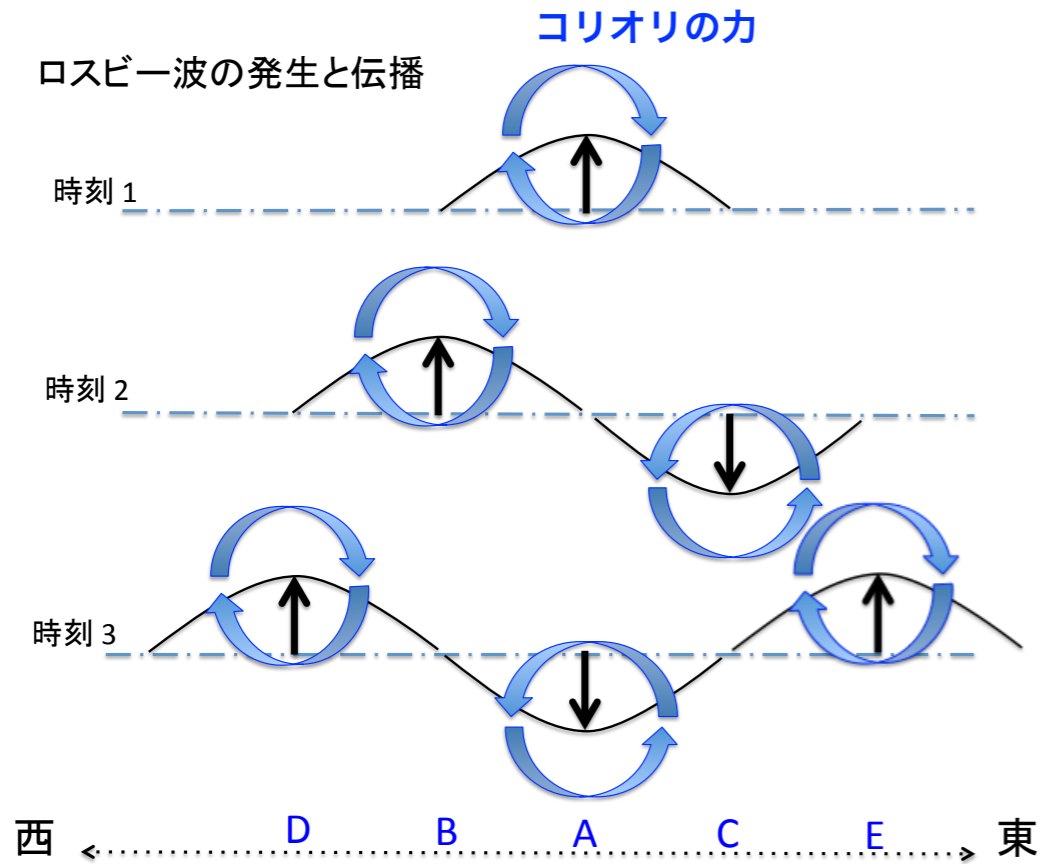
Li et al (2022)



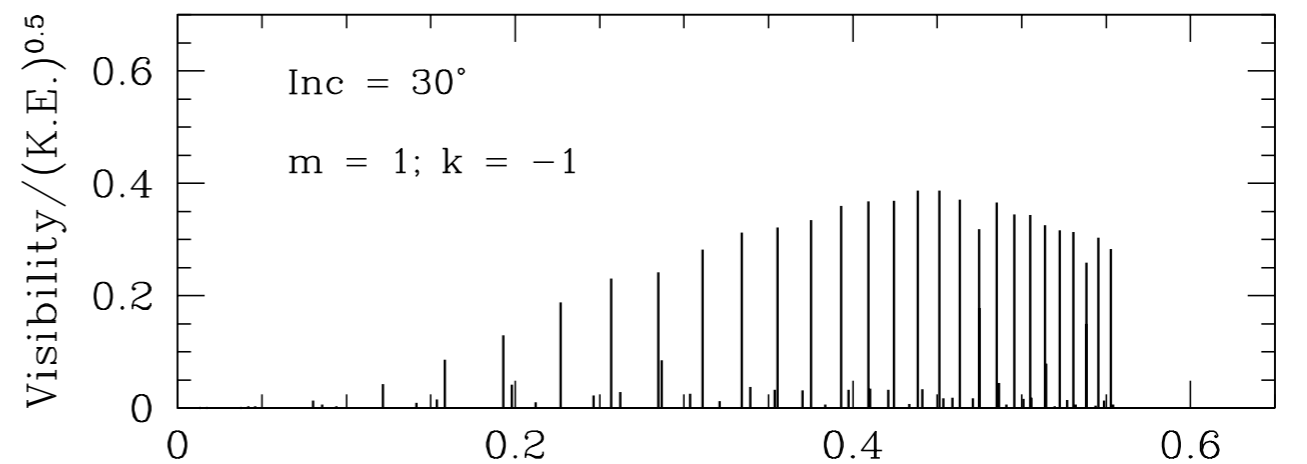
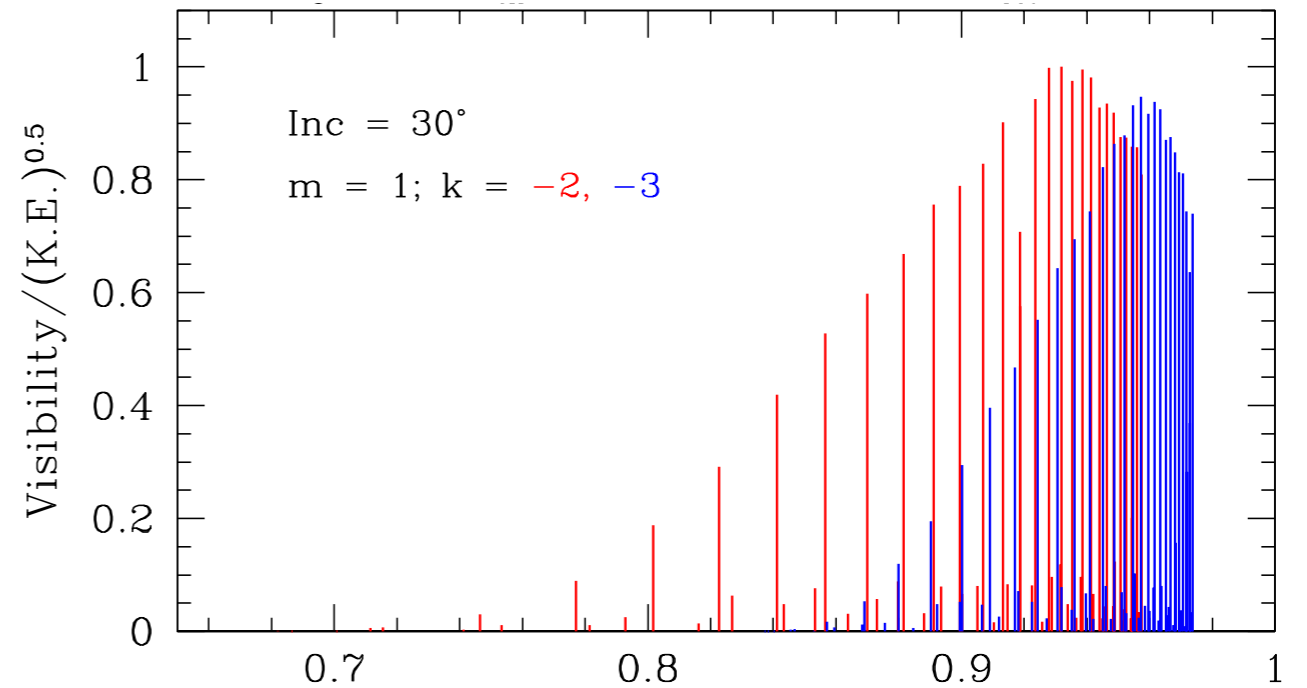


1. 恒星振動(脈動) の 基本的性質
2. 恒星振動から知る恒星自転速度
3. **r (Rossby) mode 振動**
4. 脈動周期変化率と恒星進化速度
5. 進化の進んだ大質量星の脈動
6. Betelgeuse ( $\alpha$  Ori) の脈動

# r (Rossby) mode 振動

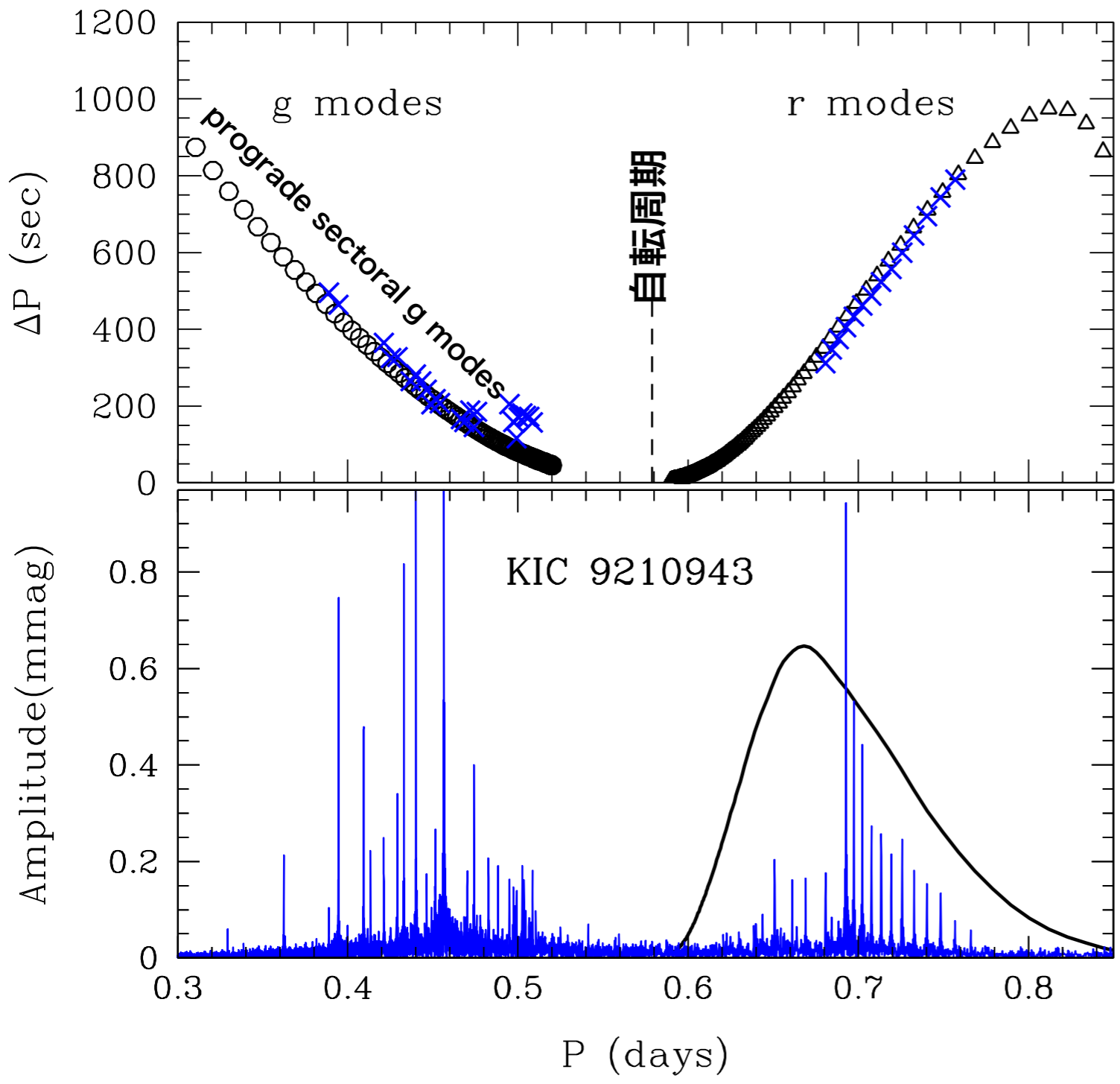


r-modes が現れる周波数領域  
と予想される振幅分布



r-mode freq./rotation-freq.

# r (Rossby) modes



r-mode 振動が実際に存在する事が Van Reeth et al (2016)によって主系列星である  $\gamma$  Dor型変光星で発見された。

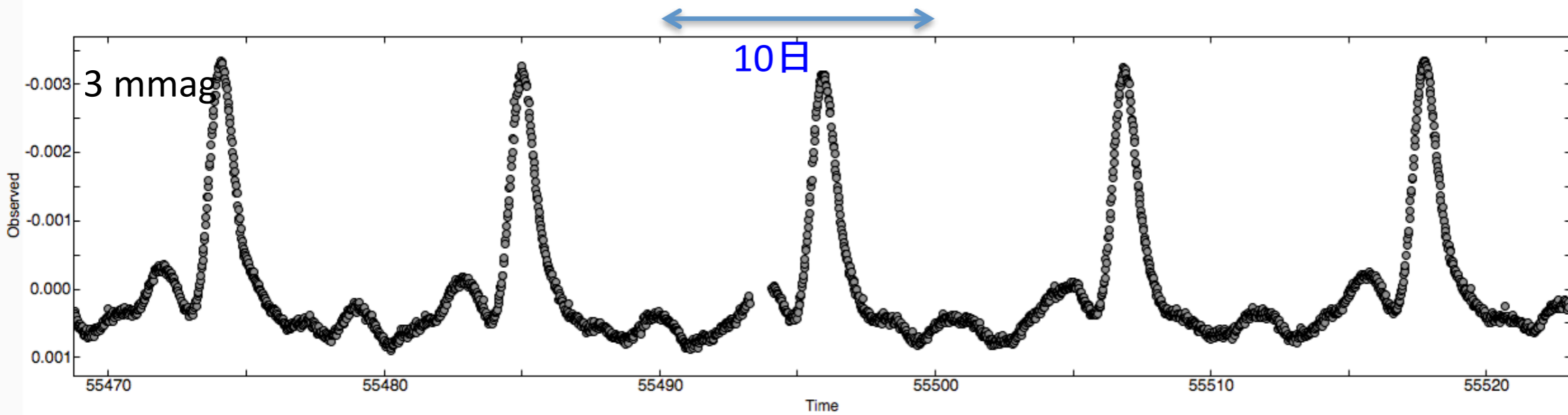
その後種々の星でも r-modes が観測されている。

r-mode oscillationsの周波数からその星の自転周期を正確に決める事ができる

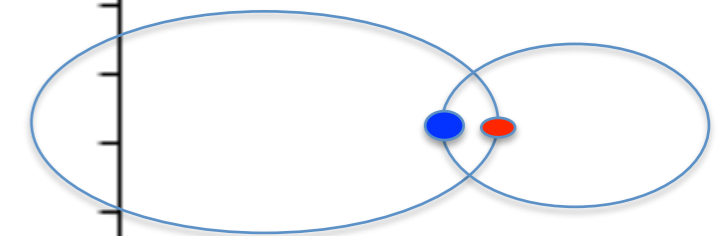
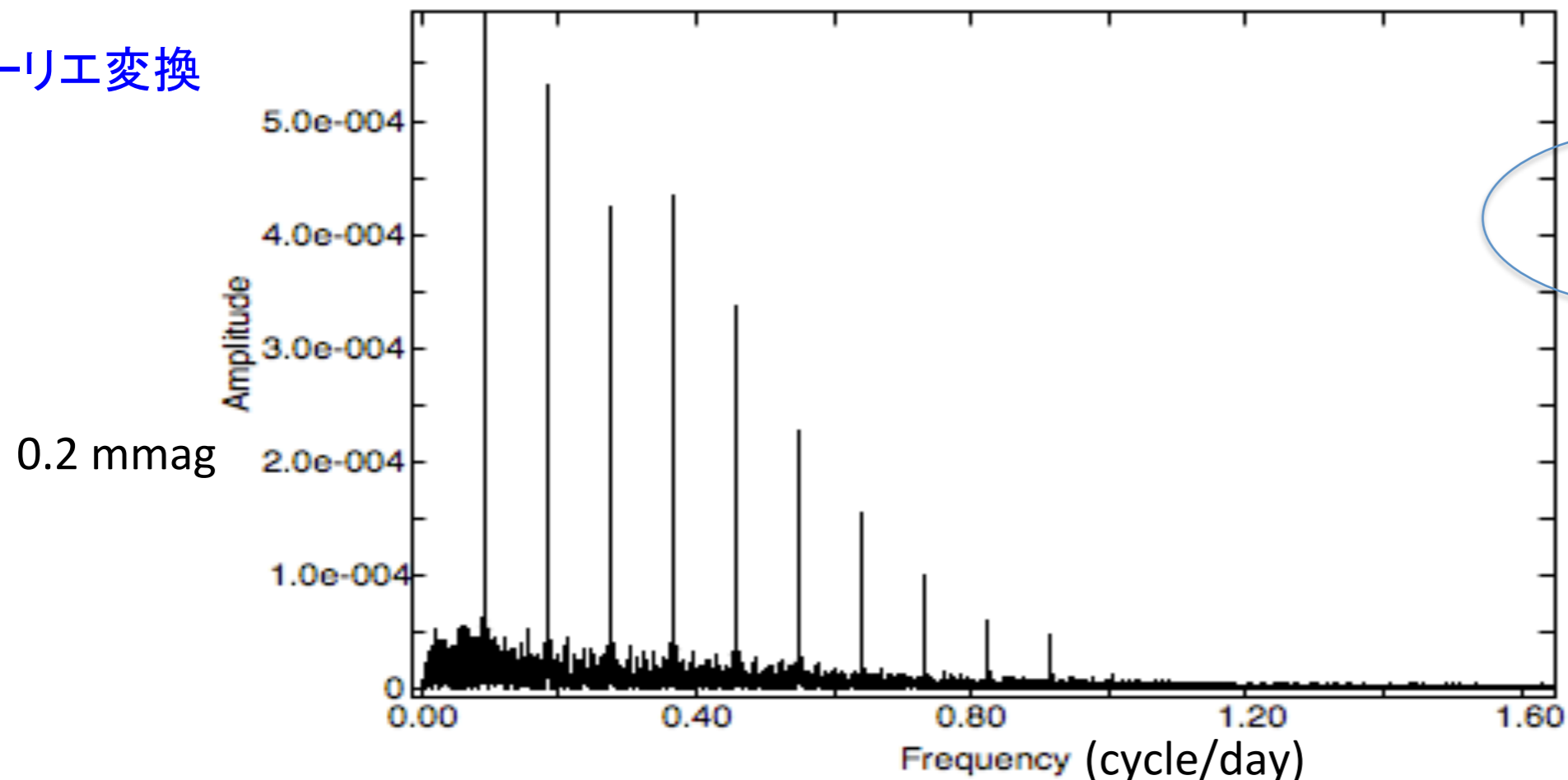


# Heartbeat 星 — 心電図に似た光度曲線を示す連星系

KIC 9899216 (軌道周期=10.92 日,  $e=0.647$ )



フーリエ変換



Kepler: 172  
TESS: 200  
OGLE: 991

軌道運動によって生じる多くの周波数ピークを

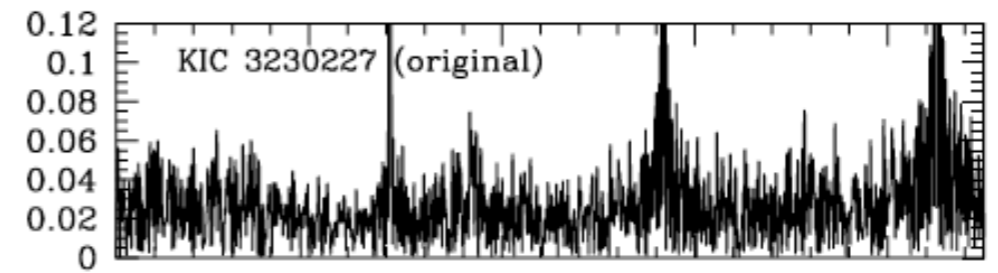
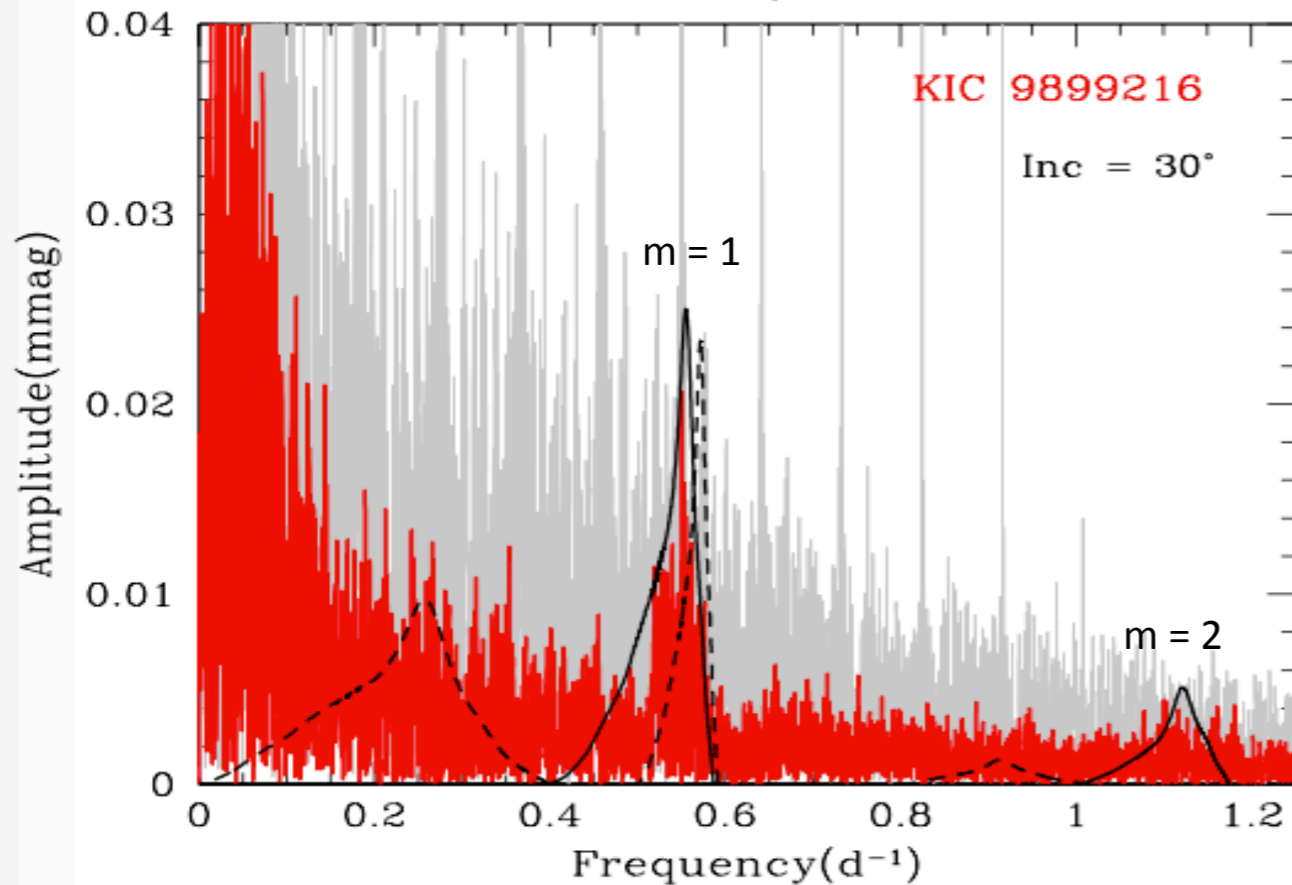
$$\sum_{j=1}^{jmax} A_j \sin[2\pi(jf_{orb}(t - t_0) + \phi_j)]$$

のように表してデータから取り除くと,

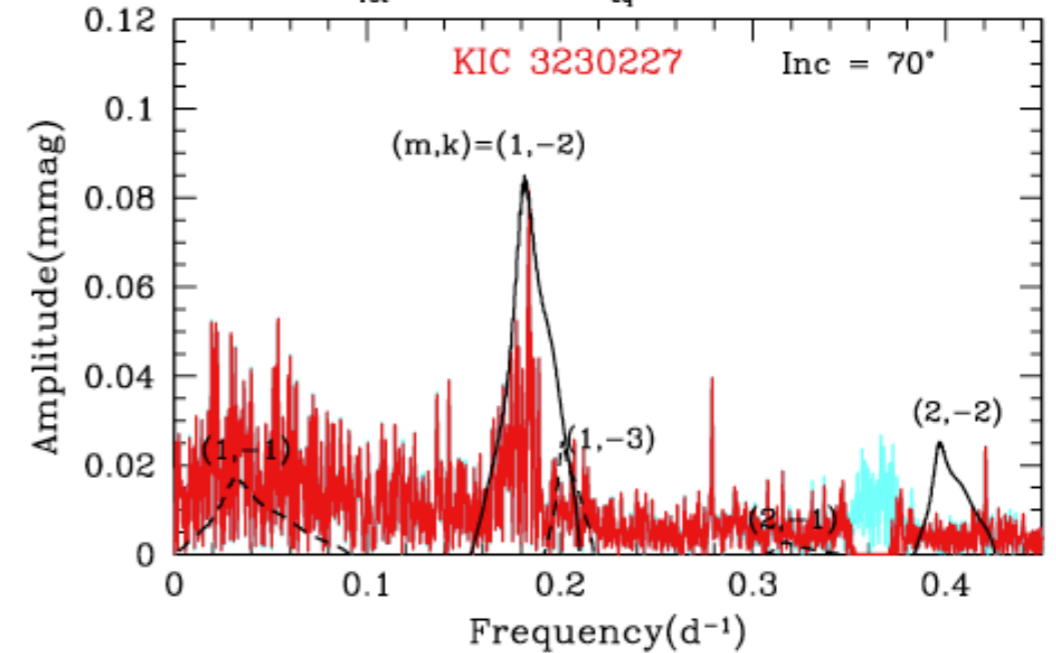
r-mode 振動に起因する周波数グループが現れる

それをmodel-fitting することによる自転周期  
を知ることができる

2.20 M<sub>⊙</sub>, lg(Teff)= 3.883, lg L= 1.559, lg g= 3.71, lg R= 0.537  
f<sub>rot</sub> = 0.600 d<sup>-1</sup>, V<sub>eq</sub> = 104.5 km/s

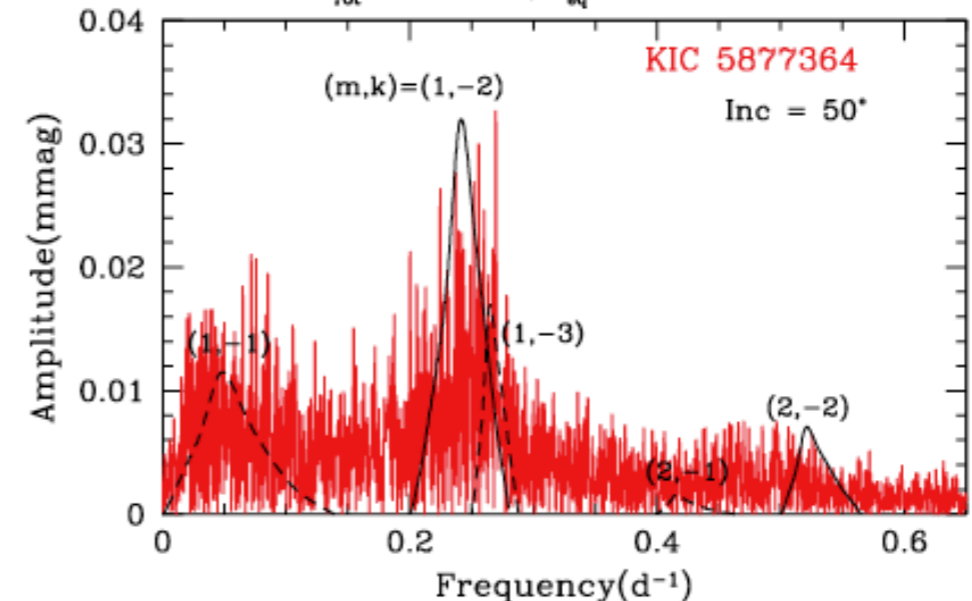


2.30 M<sub>⊙</sub>, lg(Teff)= 3.951, lg L= 1.607, lg g= 3.95, lg R= 0.426  
f<sub>rot</sub> = 0.230 d<sup>-1</sup>, V<sub>eq</sub> = 31.0 km s<sup>-1</sup>



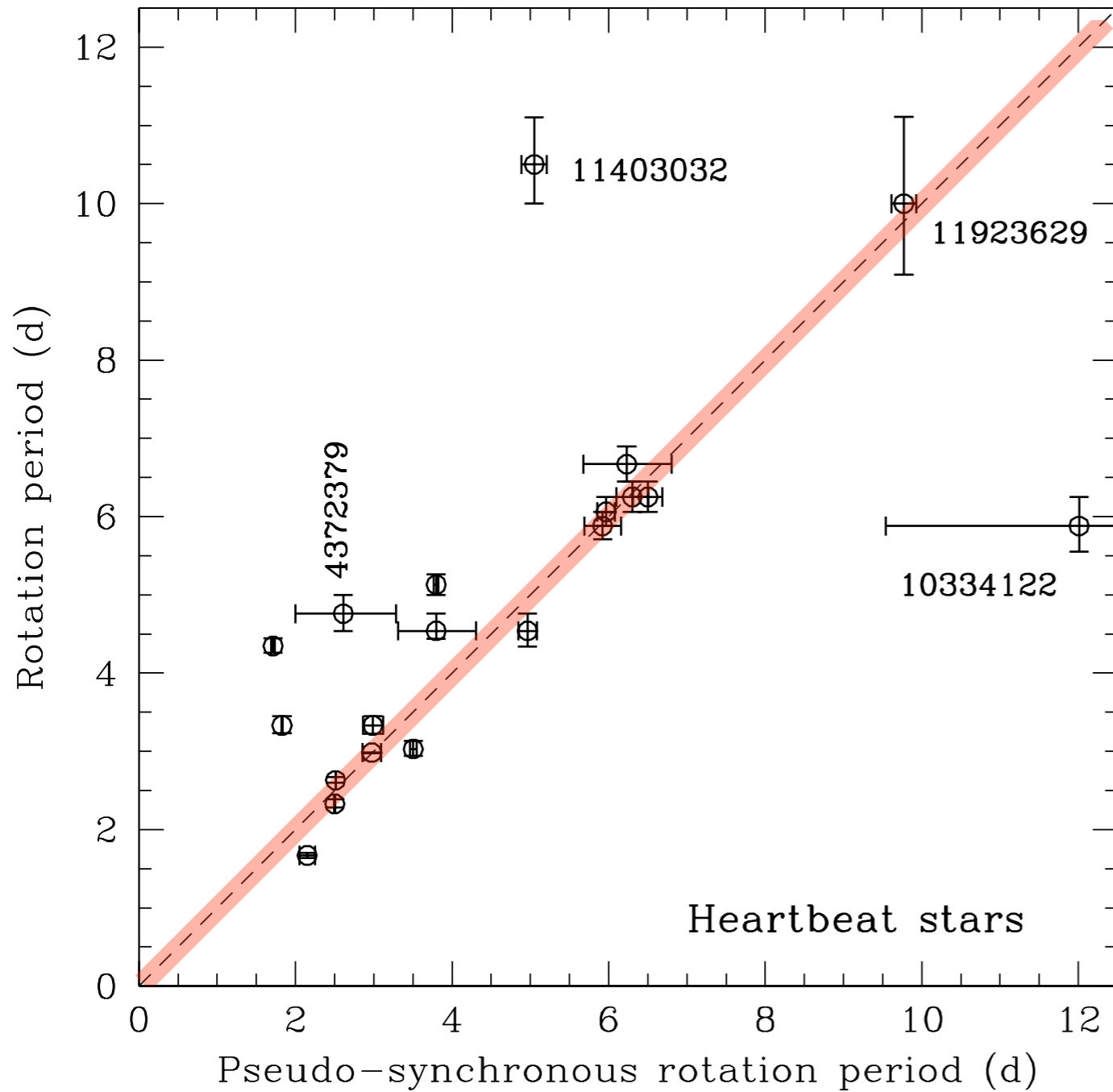
KIC 5877364 (original)

1.80 M<sub>⊙</sub>, lg(Teff)= 3.870, lg L= 1.171, lg g= 3.96, lg R= 0.369  
f<sub>rot</sub> = 0.300 d<sup>-1</sup>, V<sub>eq</sub> = 35.5 km s<sup>-1</sup>



r (Rossby) modes in Heartbeat stars

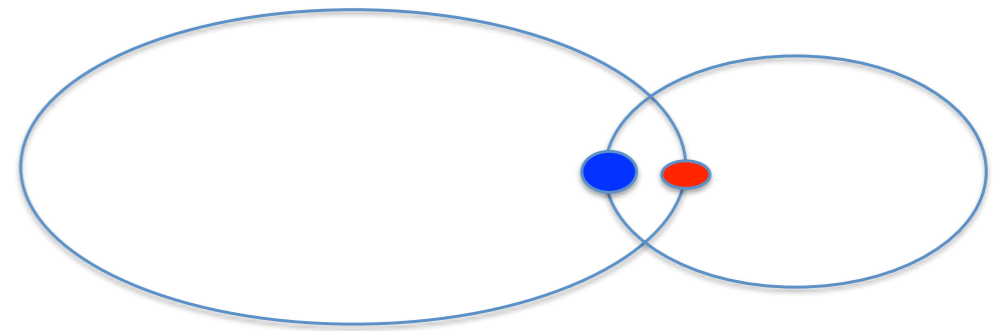
# Piet Hut (1981)による Pseudo-synchronous rotation 理論がconfirmされた!



Saio & Kurtz (2022)

Pseudo-synchronous rotation  
(Hut 1981)

自転角速度 = ~0.8 軌道角速度 at 近星点



$$P_{\text{ps-rot}} = \frac{(1 + 3e^2 + \frac{3}{8}e^4)(1 - e^2)^{3/2}}{1 + \frac{15}{2}e^2 + \frac{45}{8}e^4 + \frac{5}{16}e^6} P_{\text{orb}}$$

Hut (1981)

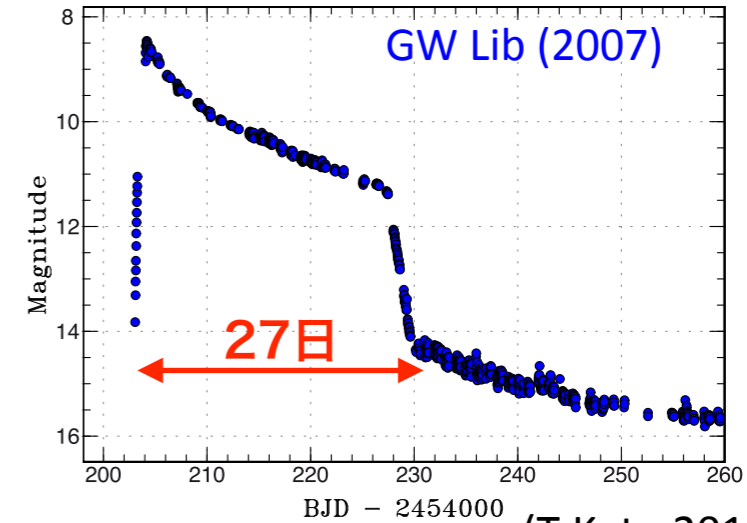
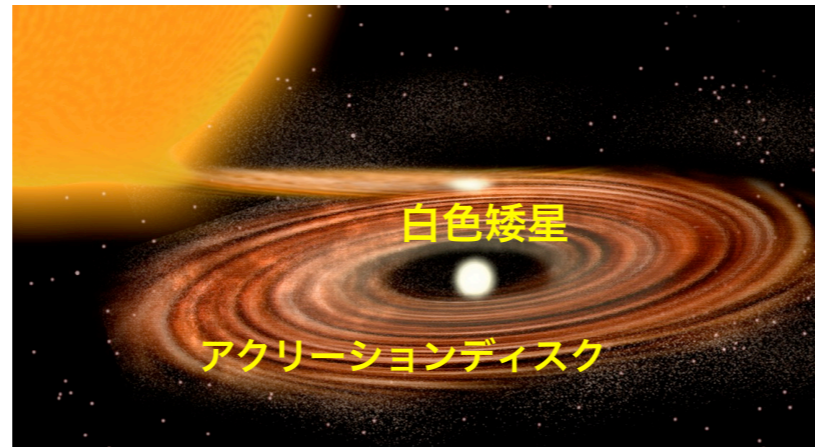
r (Rossby) modes in Heartbeat stars



# Rossby modes in accreting white dwarfs

Dwarf Nova(矮新星):

accretion disk が稀に instability を起こし disk のガスが急激に 白色矮星 に落ちていく  
 → 多量の重力エネルギーが解放されて **disk** が明るく輝く



軌道周期  
1.28 hr

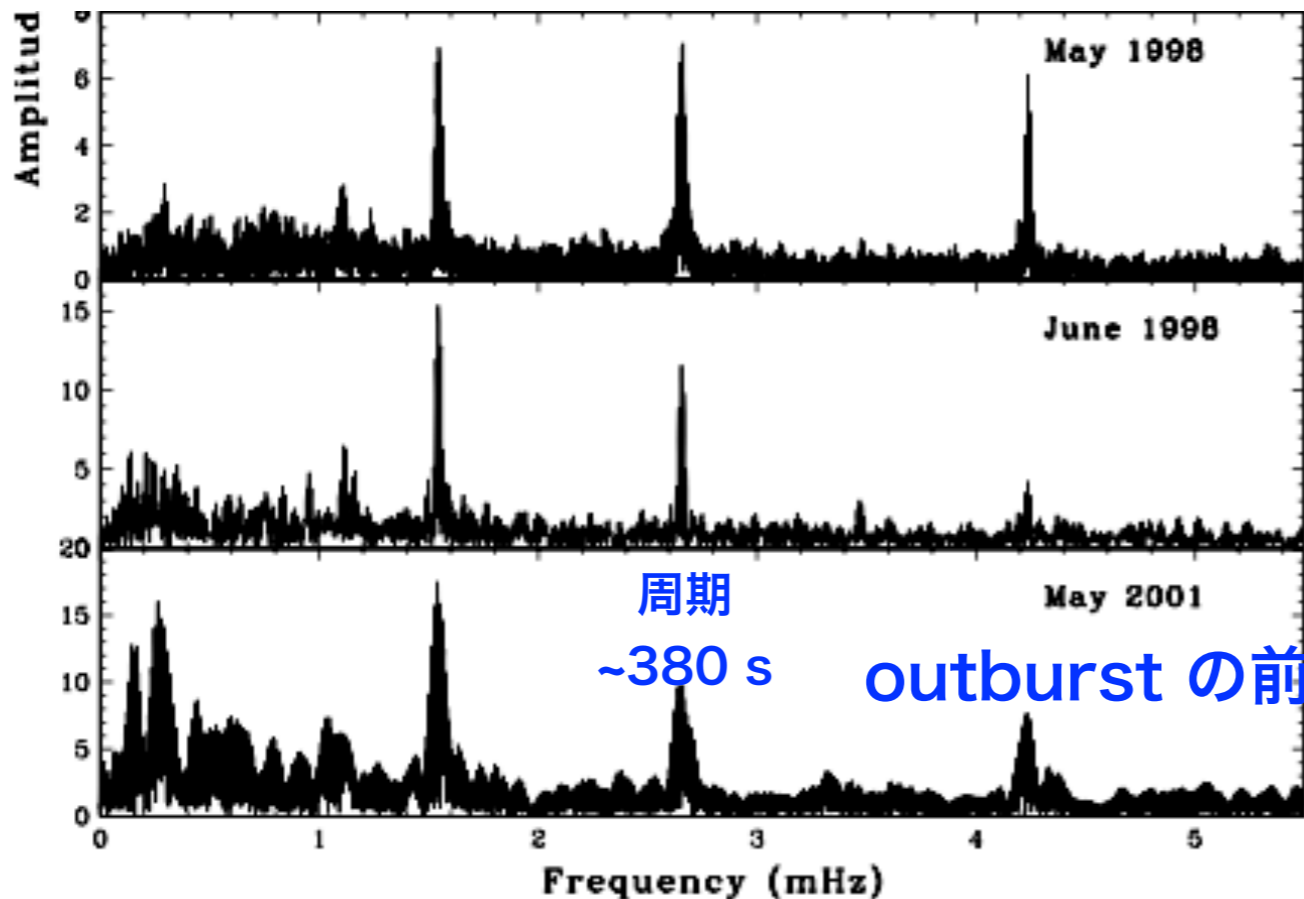
(T.Kato 2015)

## GW Lib outbursts in 1983 & 2007

## 白色矮星の nonradial pulsations の観測

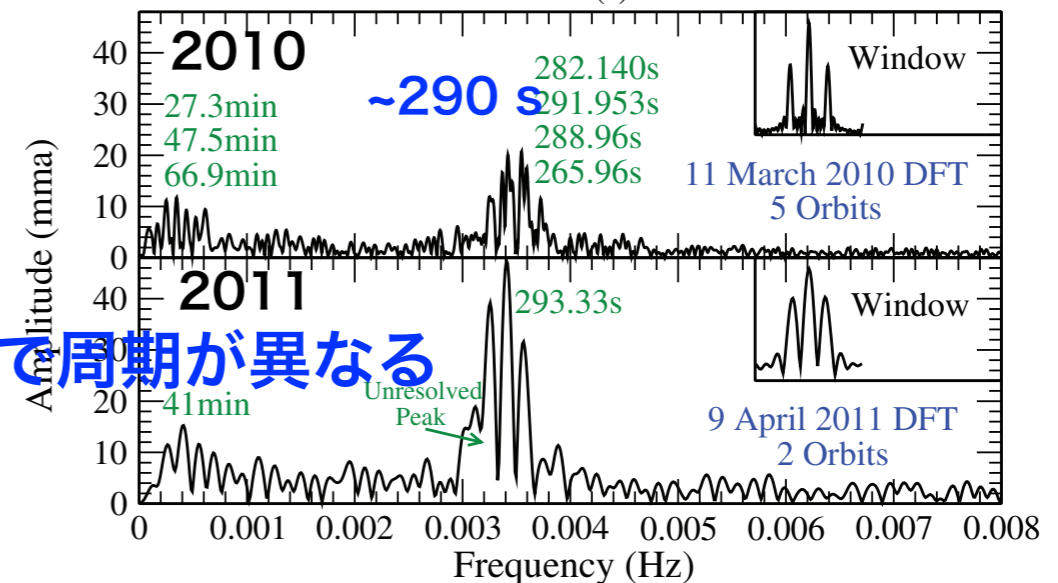
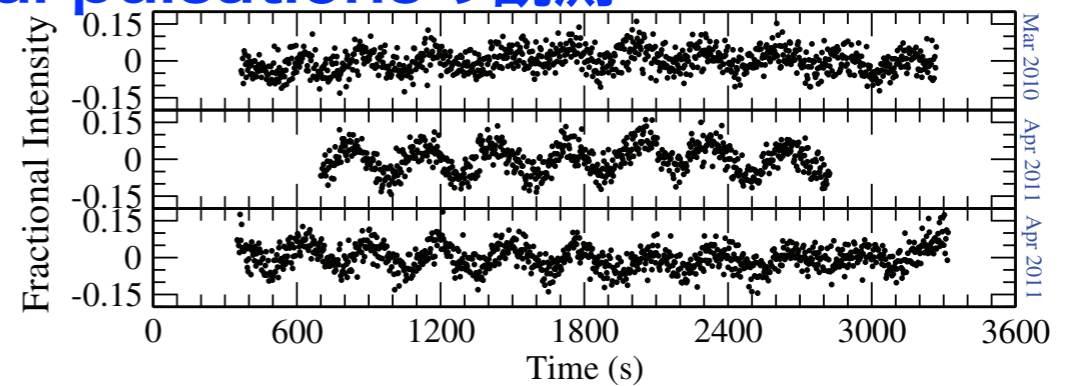
THE ASTROPHYSICAL JOURNAL, 753:158 (11pp), 2012 July 10

GW Lib: outburst 以前の変光観測



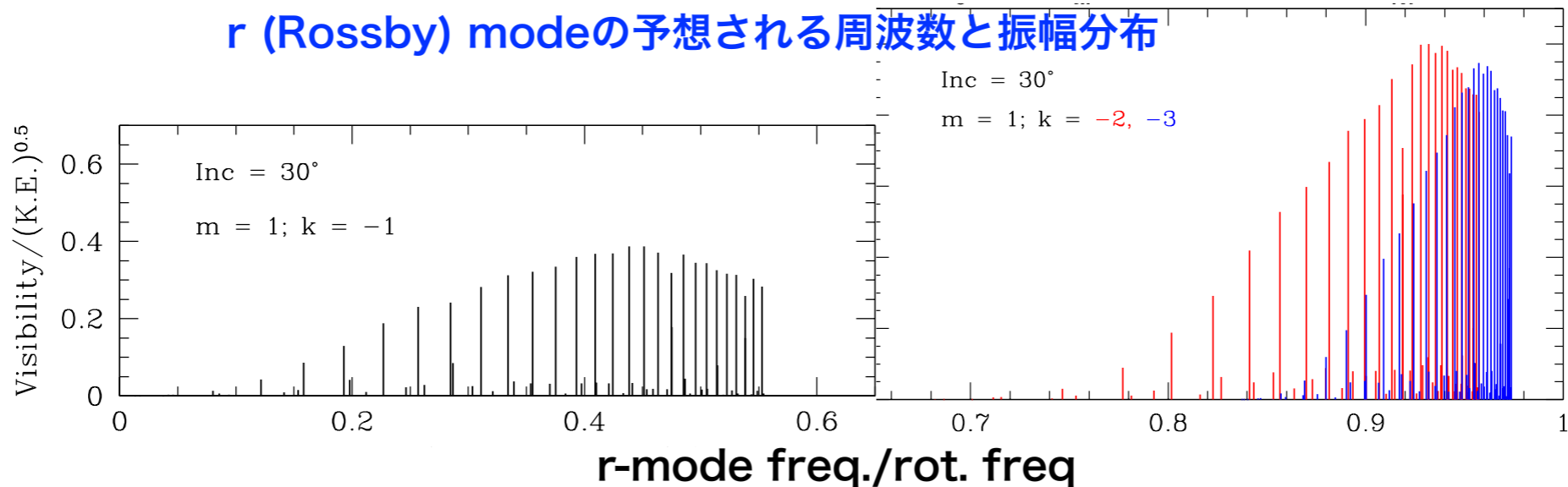
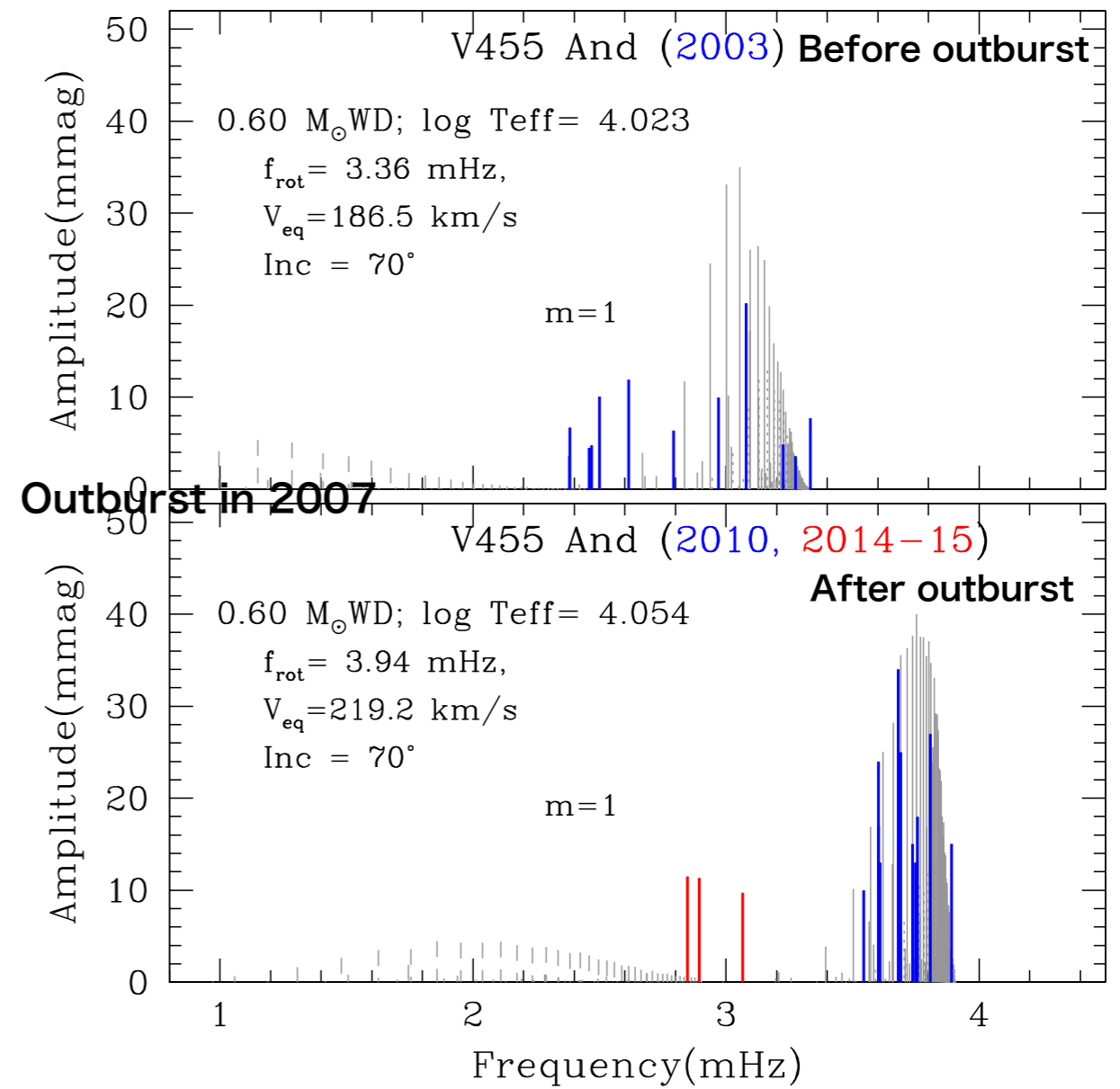
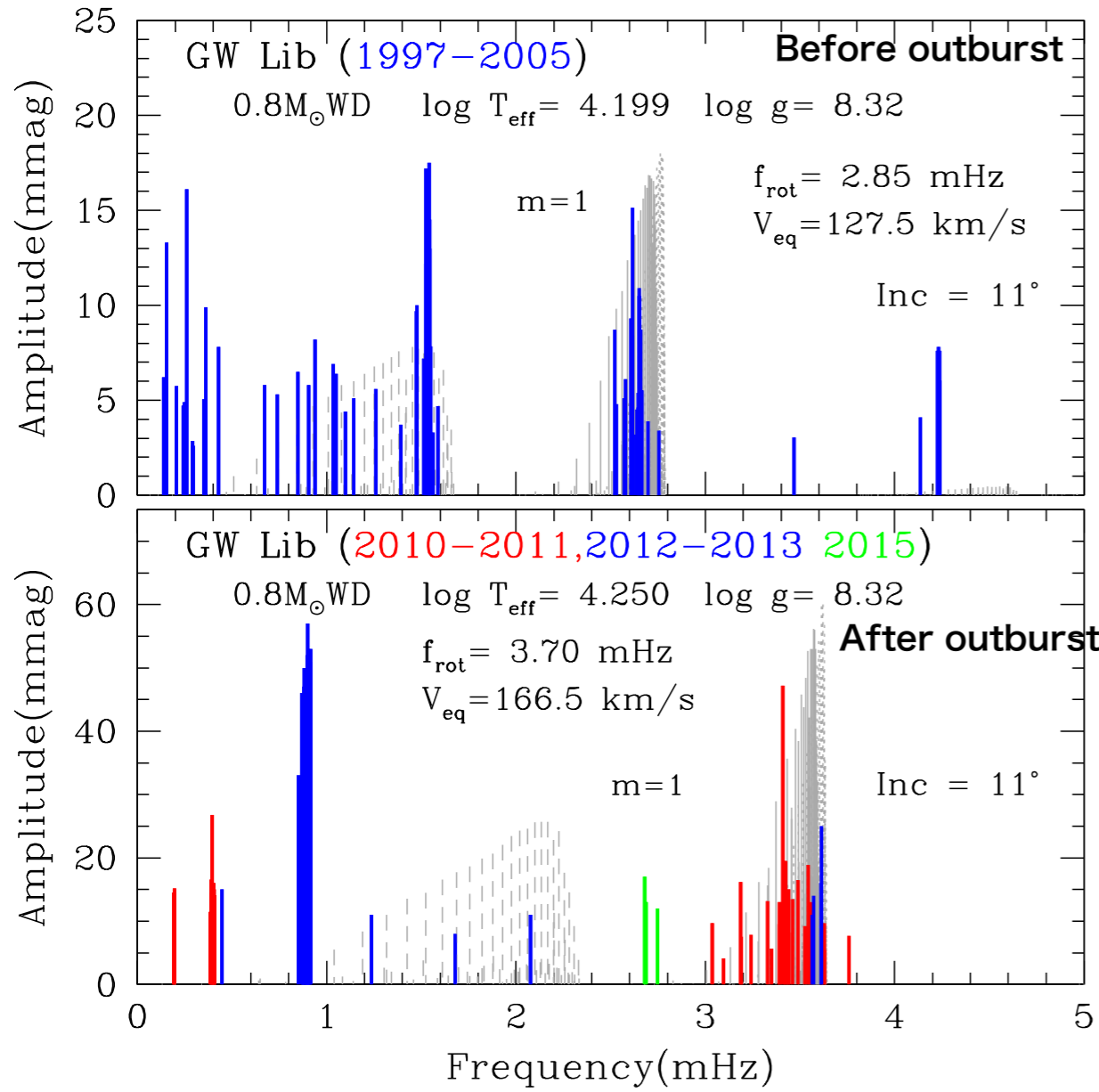
outburst の前後で周期が異なる

Van Zyl et al. (2004)



Szkody et al. (2012)

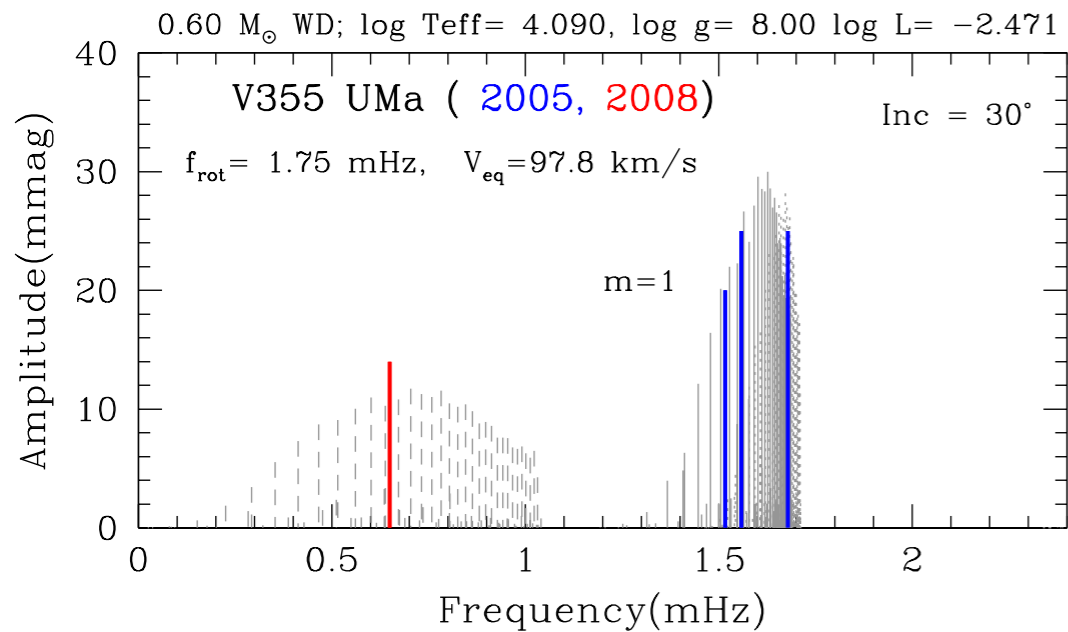
# r mode振動と仮定    Outburst 前後での振動周波数の変化    Accretionによる自転の加速



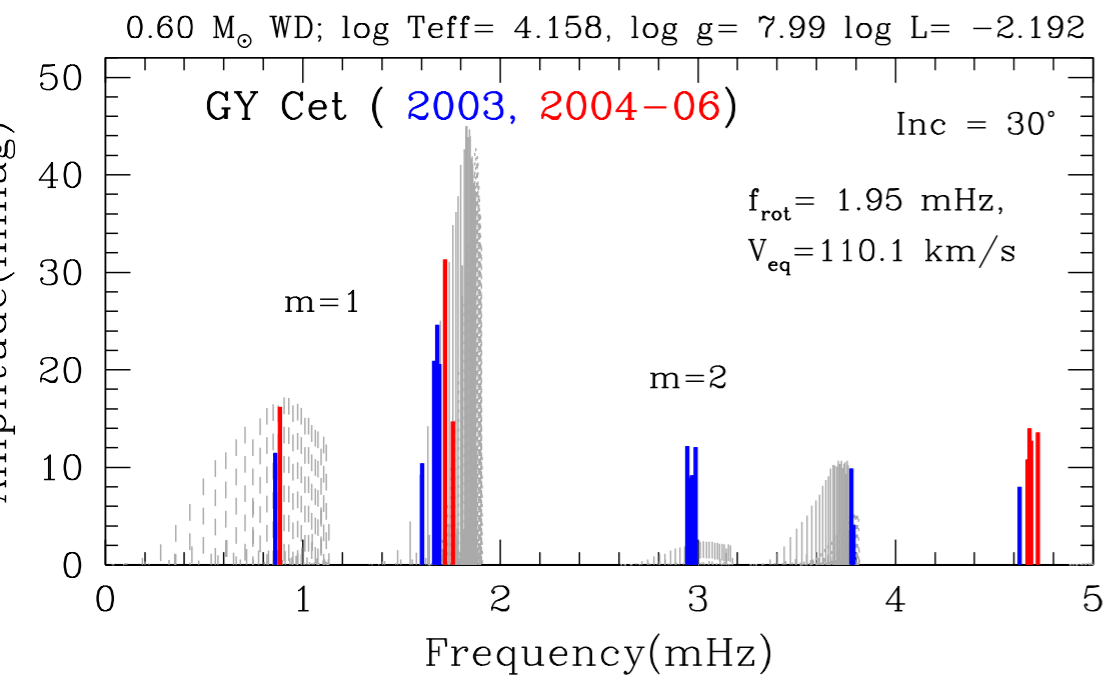
# r (Rossby) modes in accreting WD

## Accreting white dwarf の自転速度は accretion rateに相関

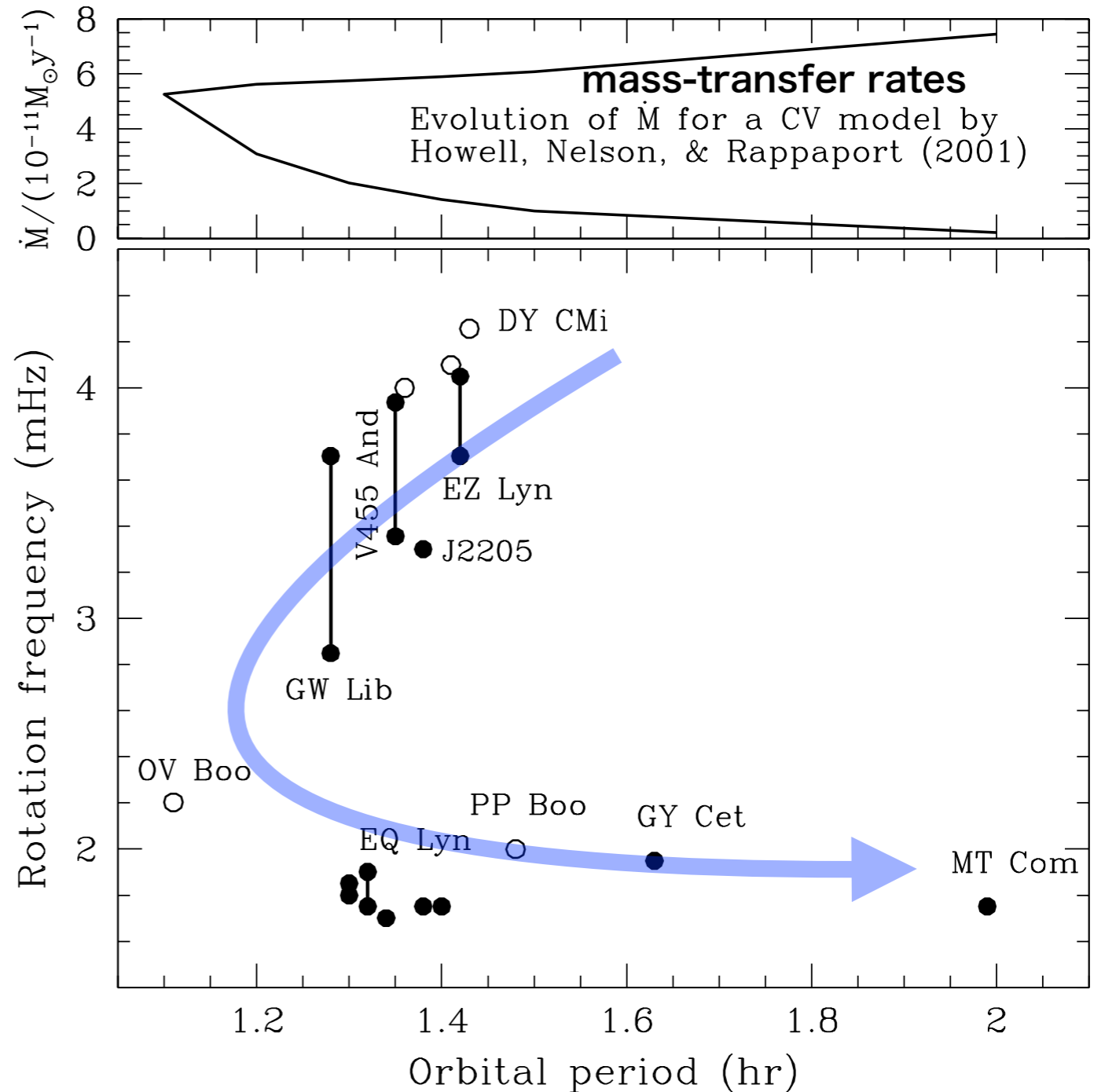
### Outburst 以前の観測



### V355: Outburst 2011



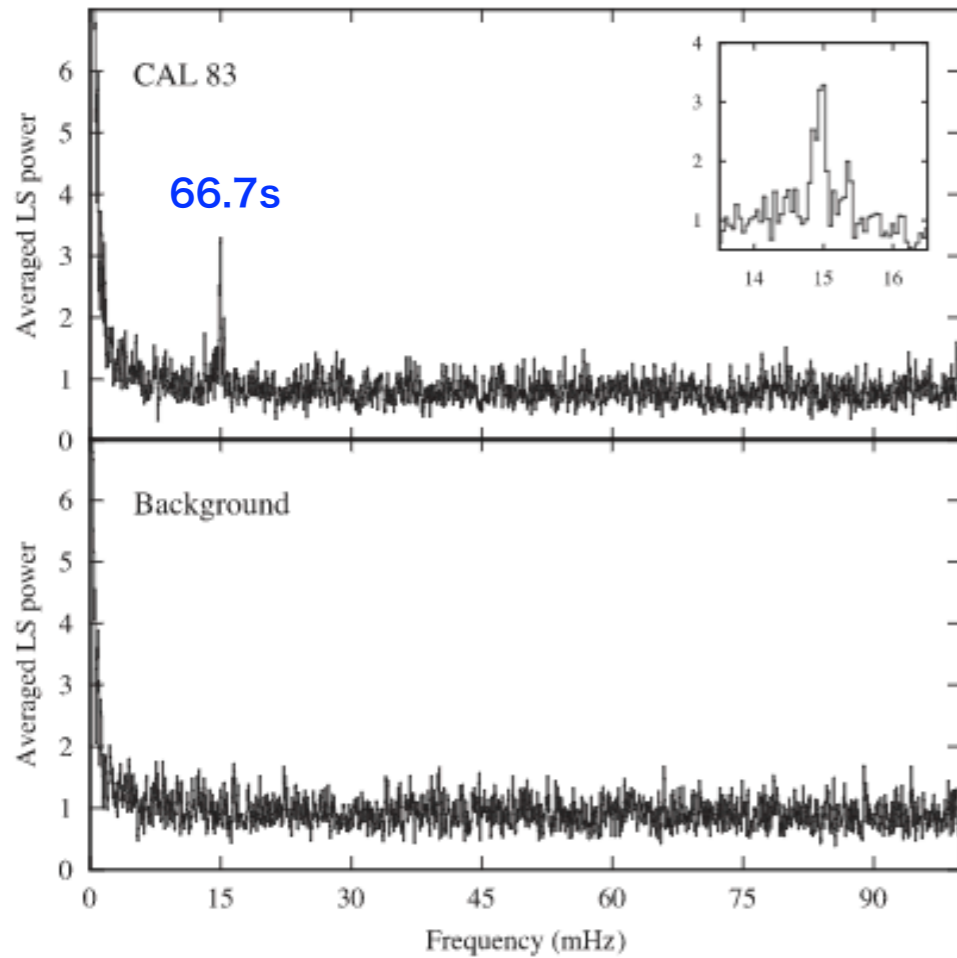
### GY Cet; Outburst 2020 7~8月



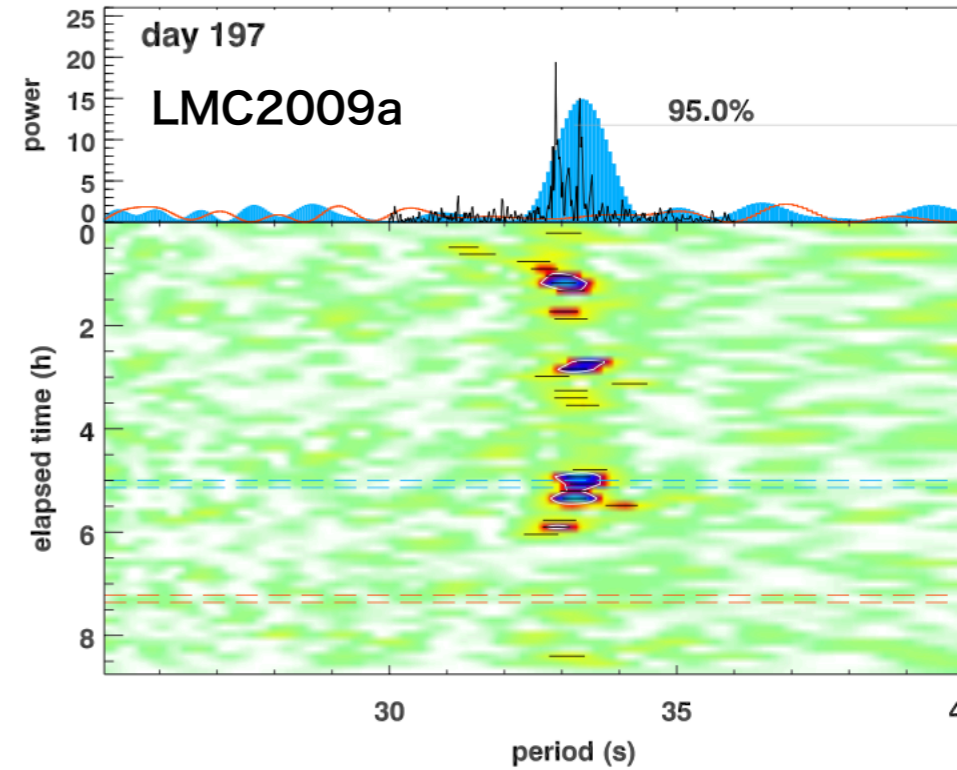
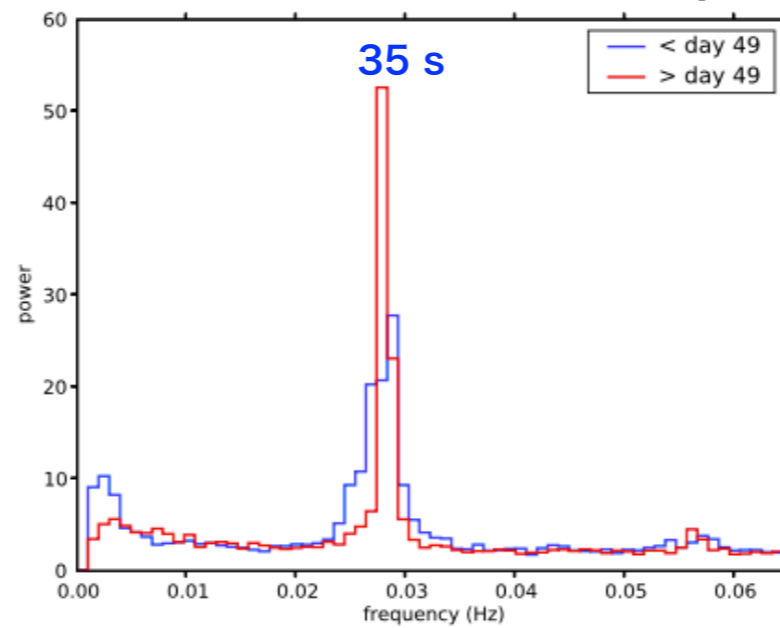


# Short period oscillations in Super Soft Xray Sources

2952 A. Odendaal et al. (2014)



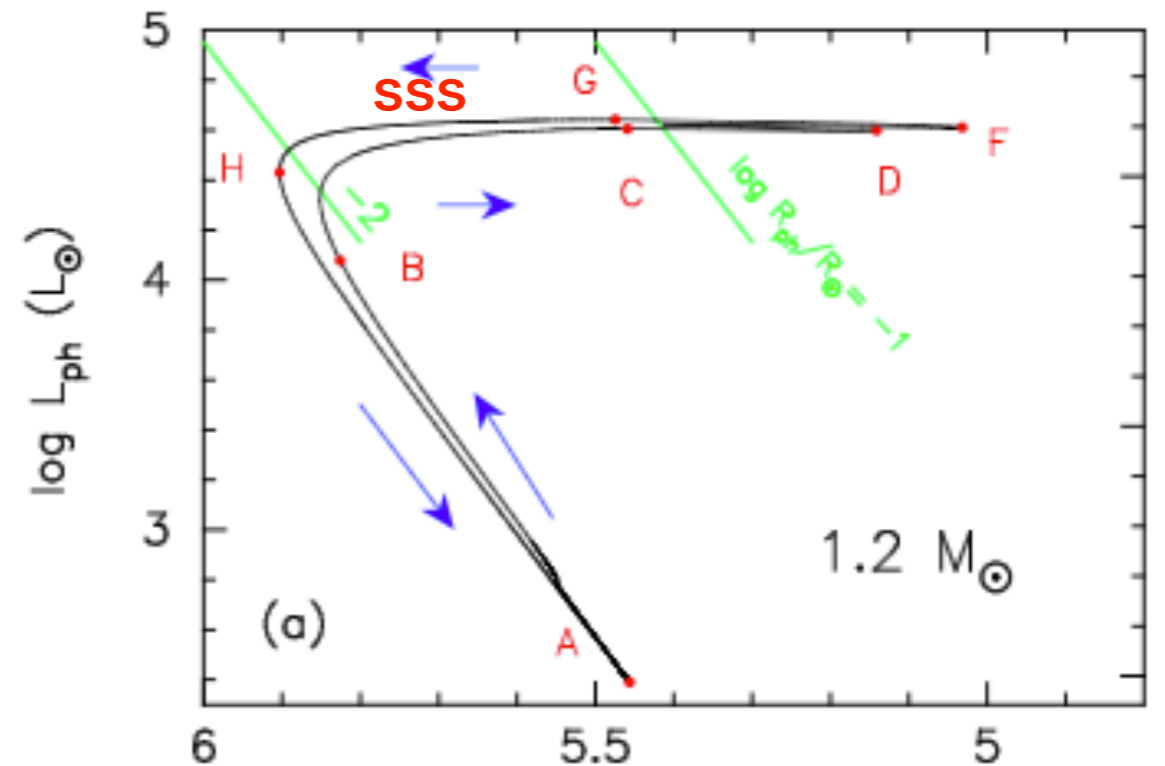
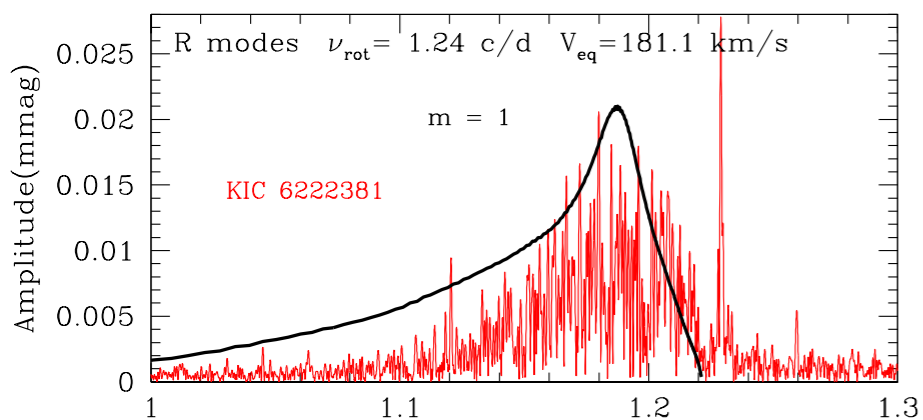
Osborne et al.(2011) RS Oph



Ness et al. (2015)

r modes ??

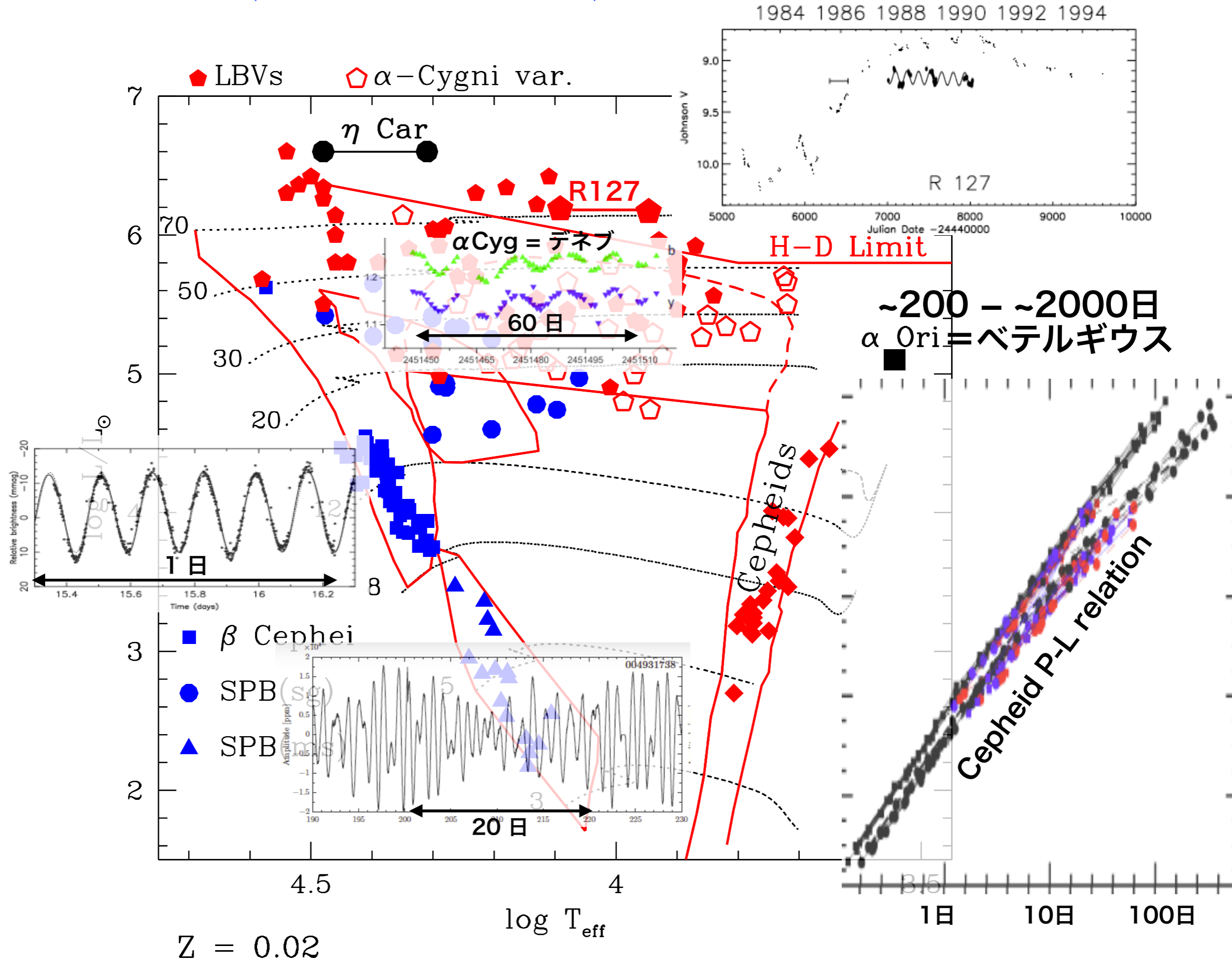
A-type 主系列星 r modes



Kato et al (2017)

1. 恒星振動(脈動) の 基本的性質
2. 恒星振動から知る恒星自転速度
3. r (Rossby) mode 振動
4. 脈動周期変化率と恒星進化速度
5. 進化の進んだ大質量星の脈動
6. Betelgeuse ( $\alpha$  Ori) の脈動

# Massive (Luminous) variable stars



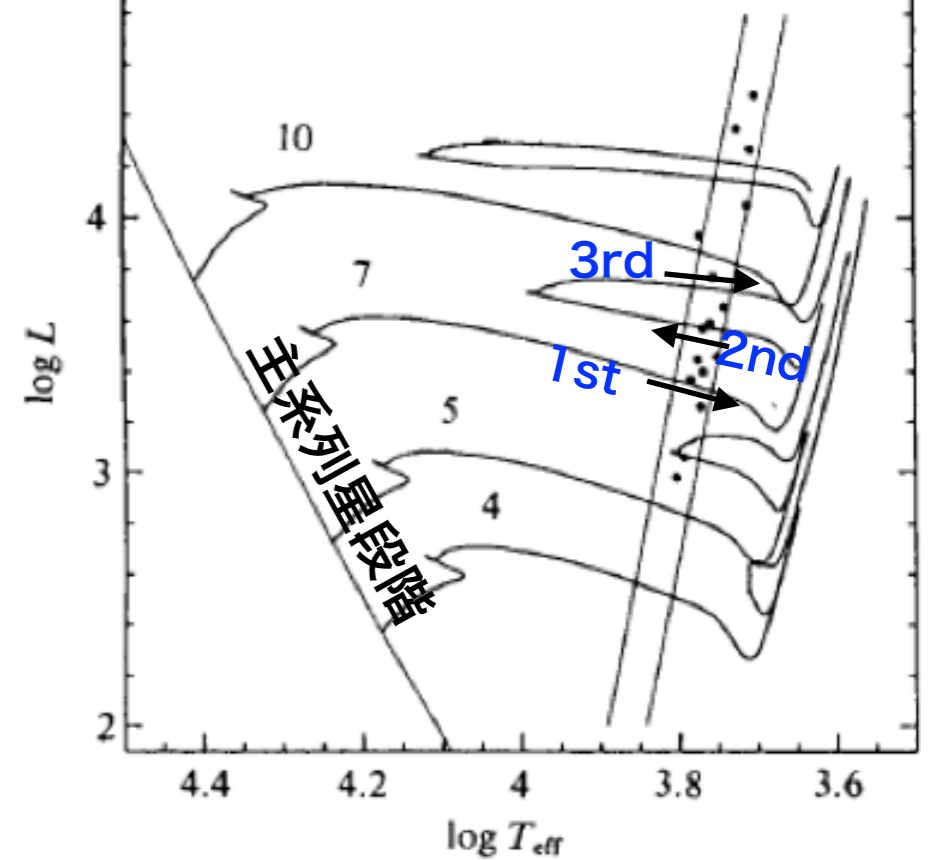
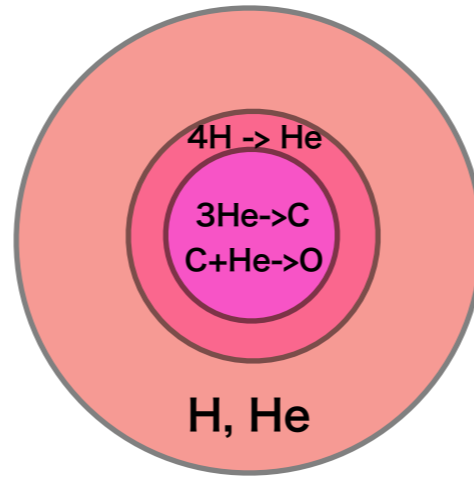


# セファイド変光星の周期永年変化

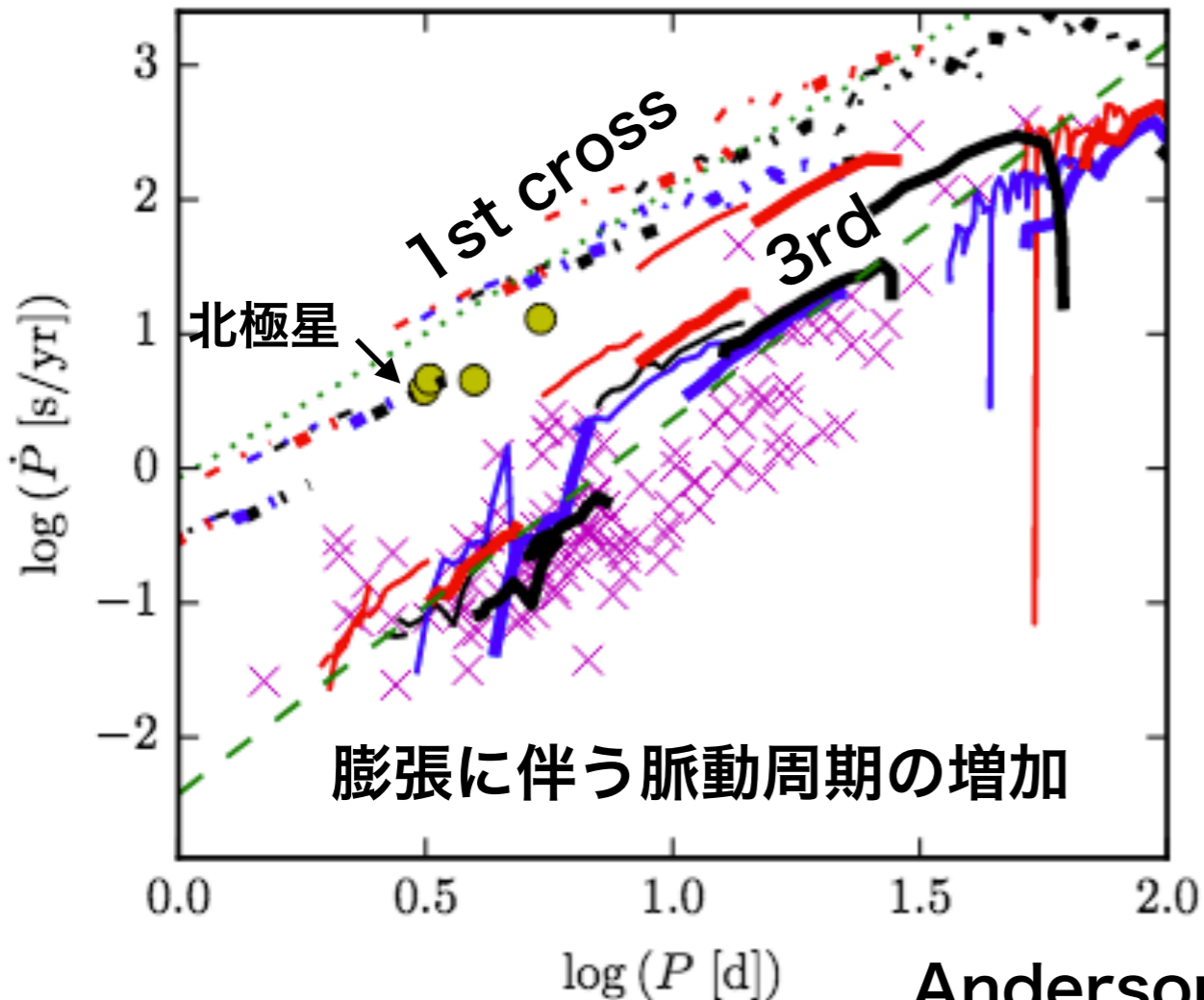
周期変化率 ~ 0.1 -- 100 秒/年

$$\text{Period} \propto R^{1.5} M^{-0.5}$$

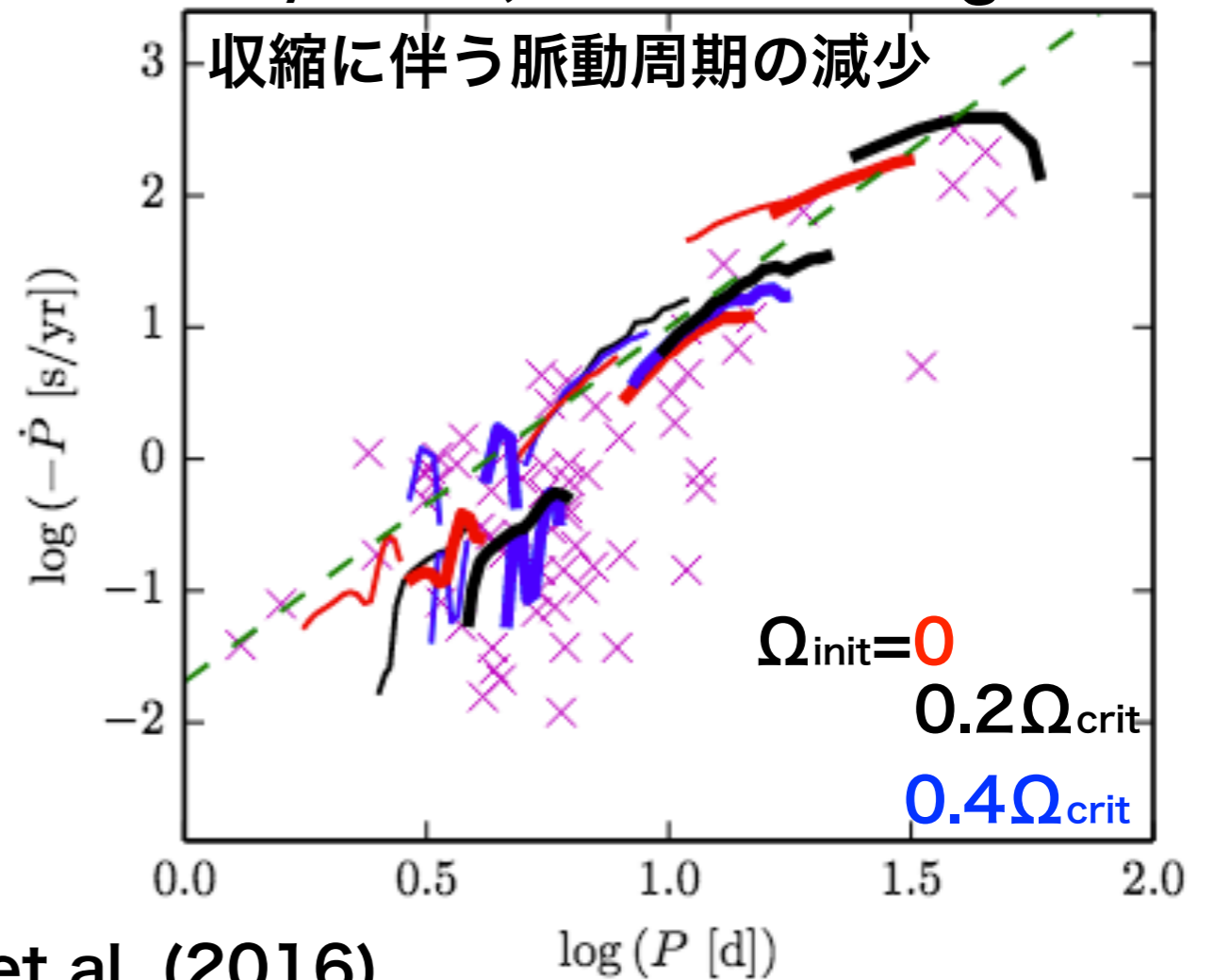
$$\frac{d \ln P}{dt} \approx 1.5 \frac{d \ln R}{dt}$$



$dP/dt > 0$ ; 1st & 3rd crossing



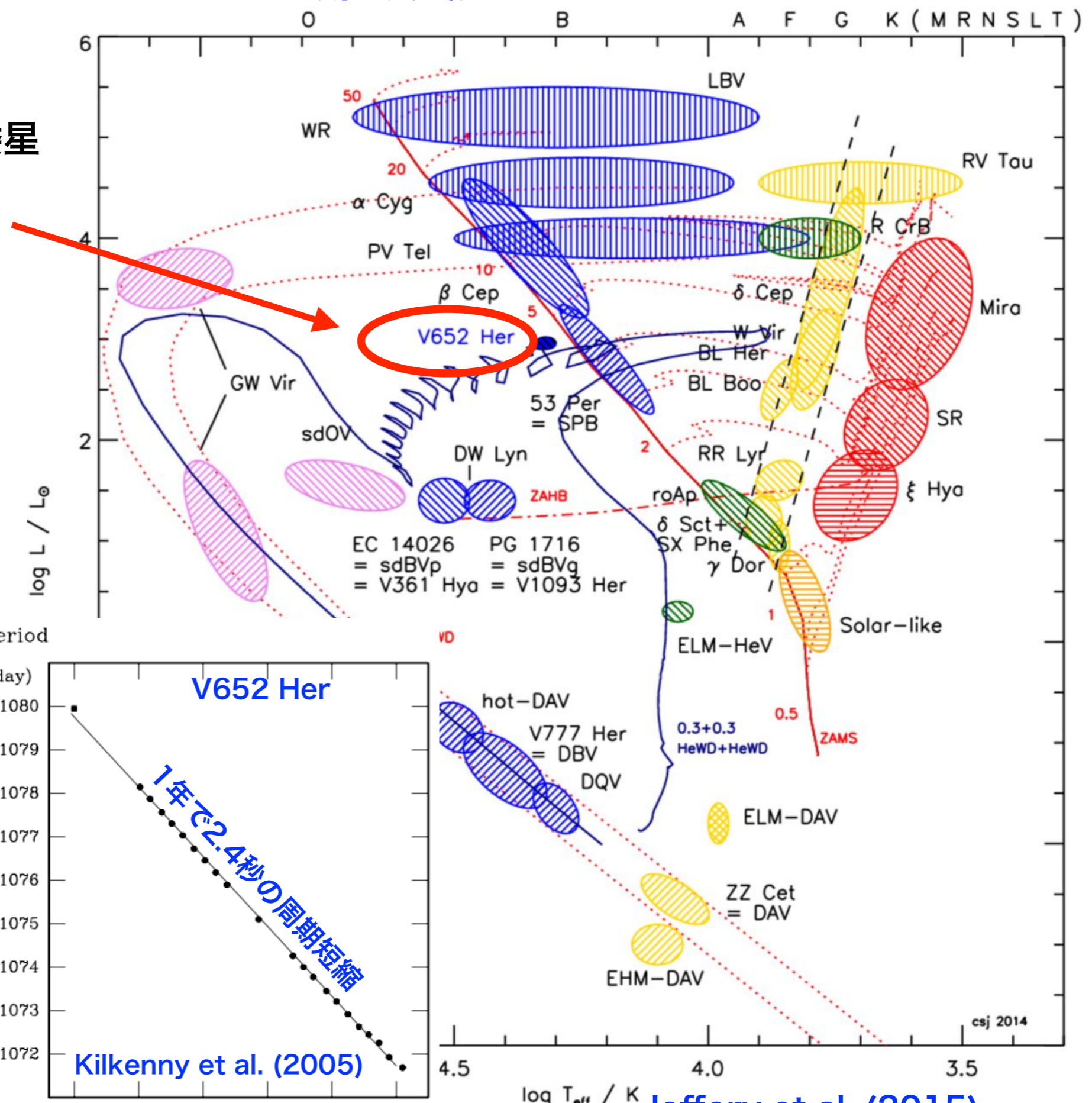
$dP/dt < 0$ ; 2nd crossing



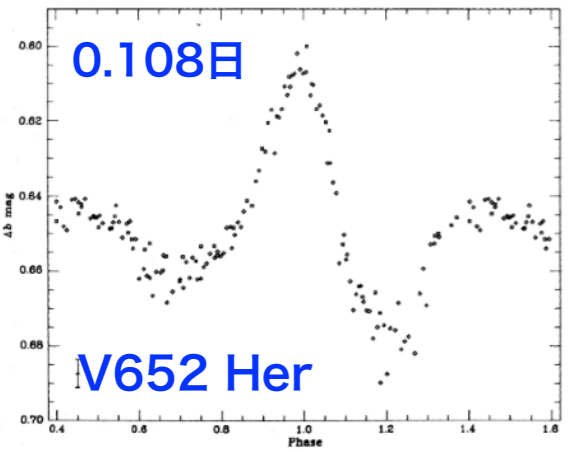
Anderson et al. (2016)

# 脈動変光星

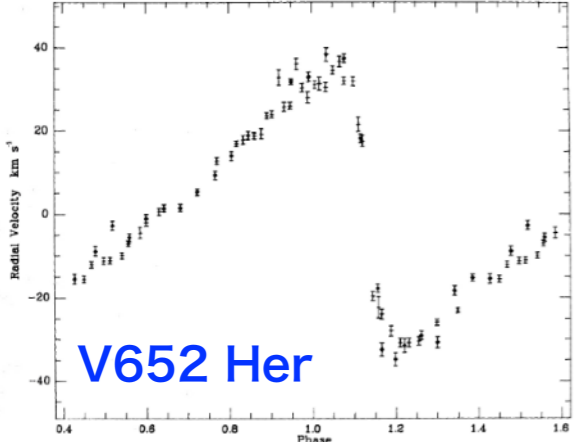
2つの小質量(He)白色矮星  
の合体で形成された  
無水素の脈動星  
V652 Her, BX Cir  
(実視等級 10.5, 12.6等)



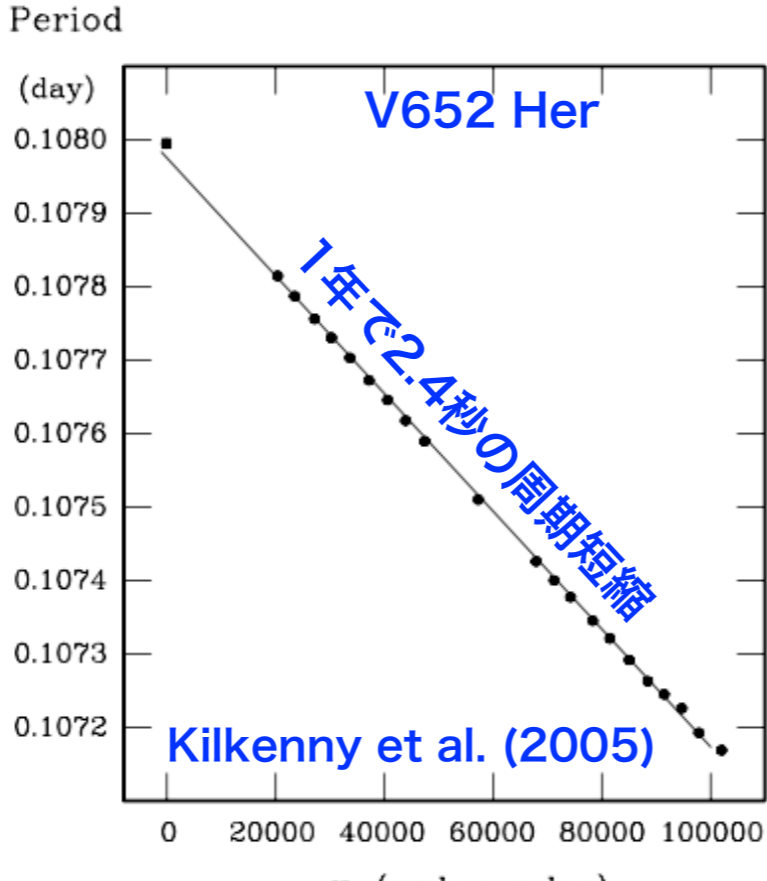
規則的光度曲線



規則的表面速度変化



Jeffery & Hill(1999)



Jeffery et al. (2015)

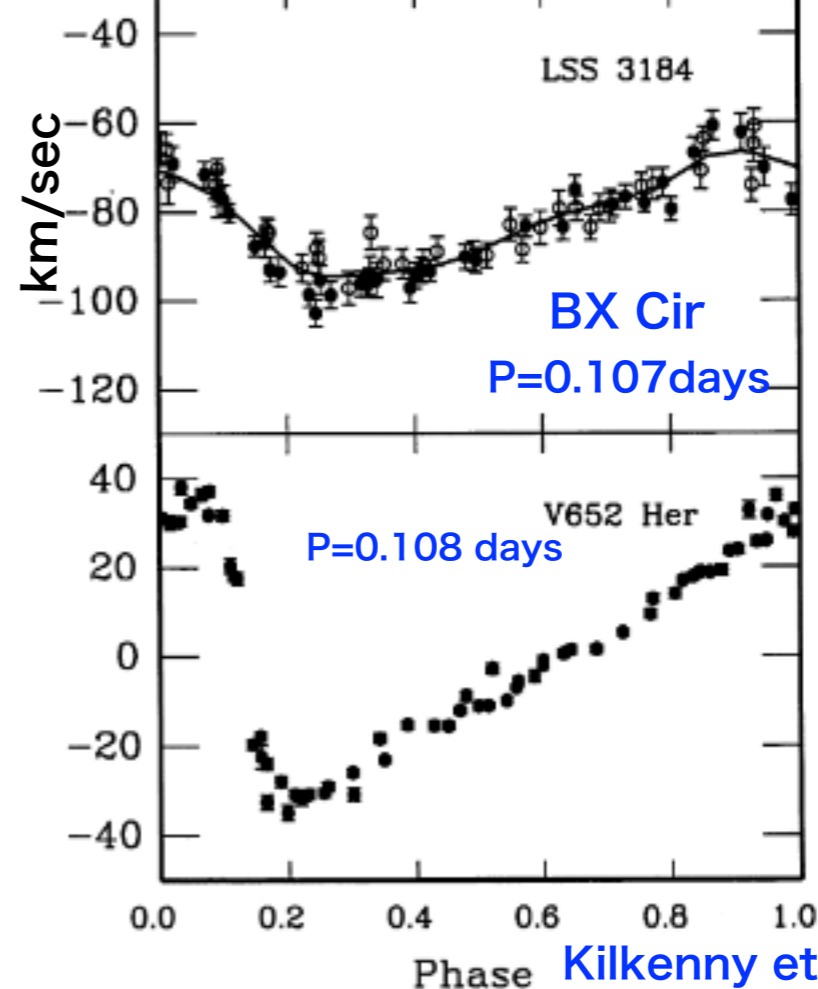
# Double He-WD merger models

## -- He-star pulsators

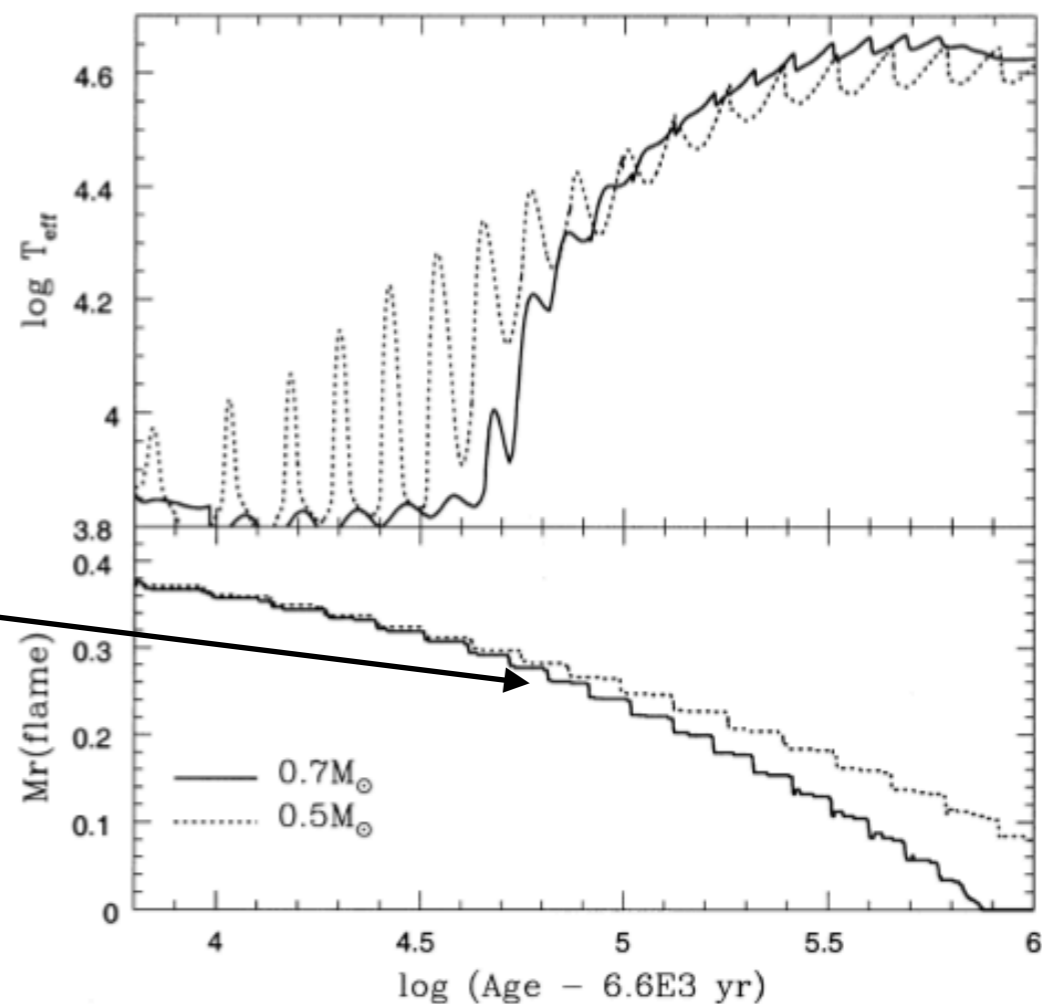
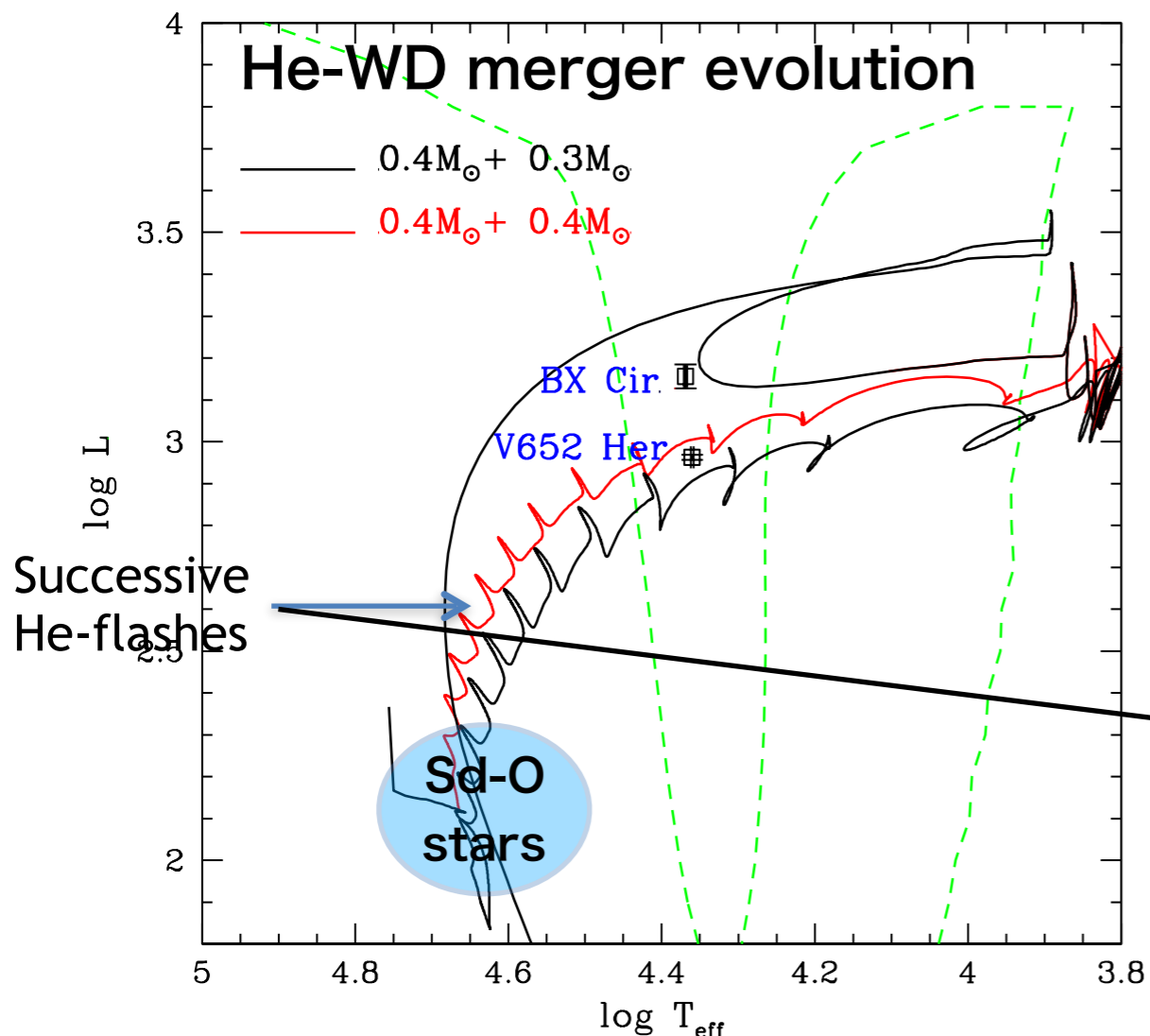
$$\dot{M}_{\text{acc}} = 1 \times 10^{-5} M_{\odot}/\text{yr}$$

Accretion -> 外層加熱 -> 外層でHe flash発生  
 He flash が繰り返されながらその発生位置が中心へ  
 --> Helium ZAMS

その進化経路の途中に2つのHe星脈動星が存在  
 $M \sim 0.7 M_{\odot}$

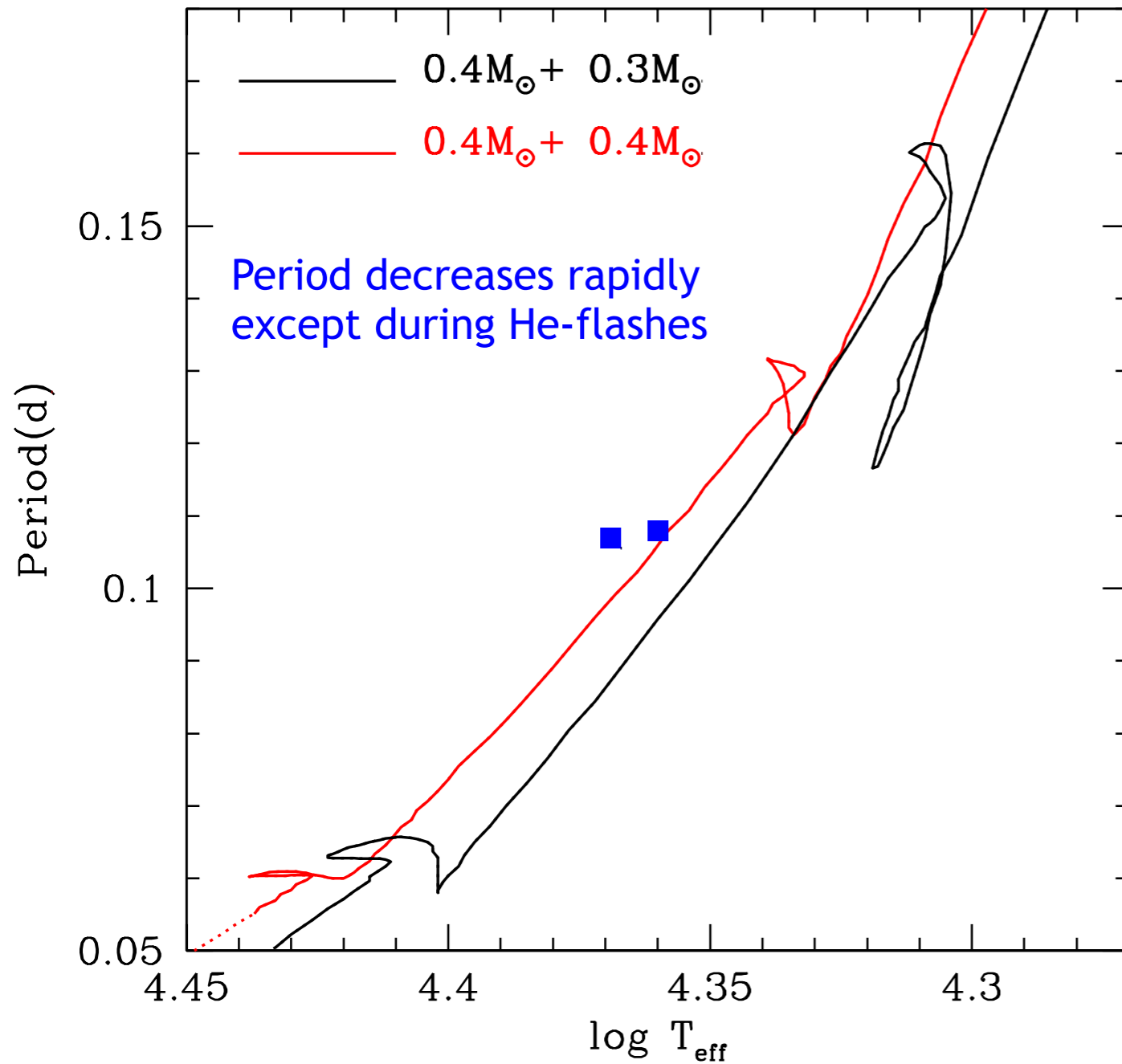


Kilkenny et al. (1999)

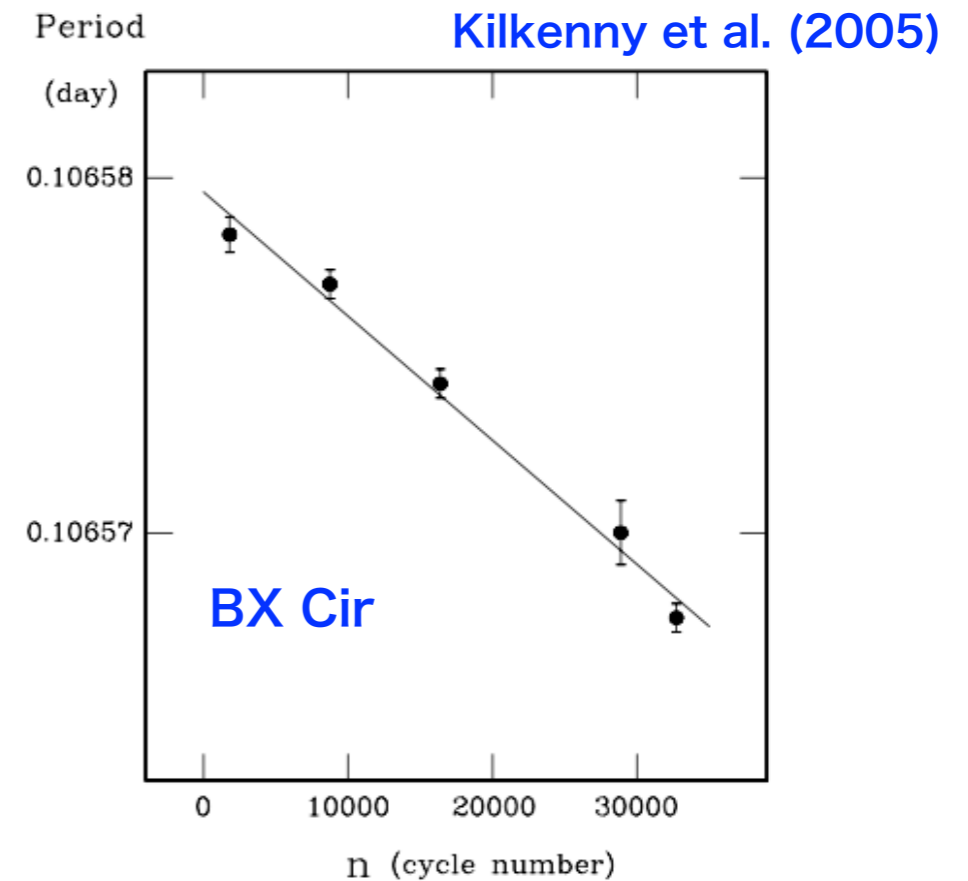
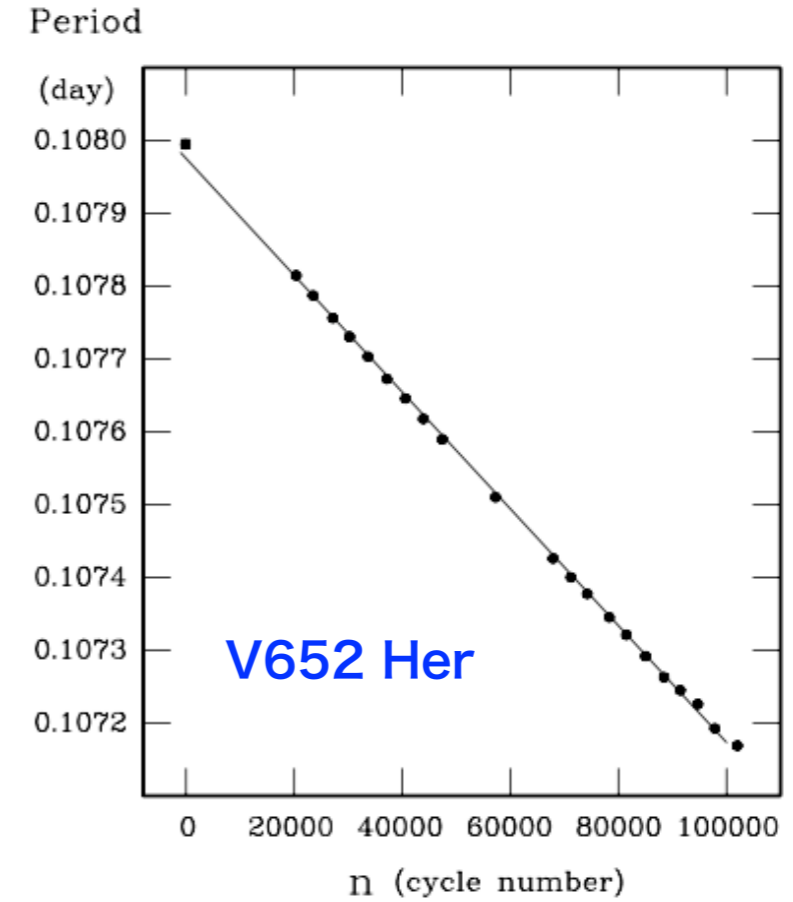




# Pulsation period changes with evolution



$$\Pi \propto \sqrt{\bar{\rho}} \propto R^{1.5}$$





# Period decrease rate of V652 Her agrees with a He-WD merger model

---> WD merger が実際に起こった証拠

'Instantaneous' Period

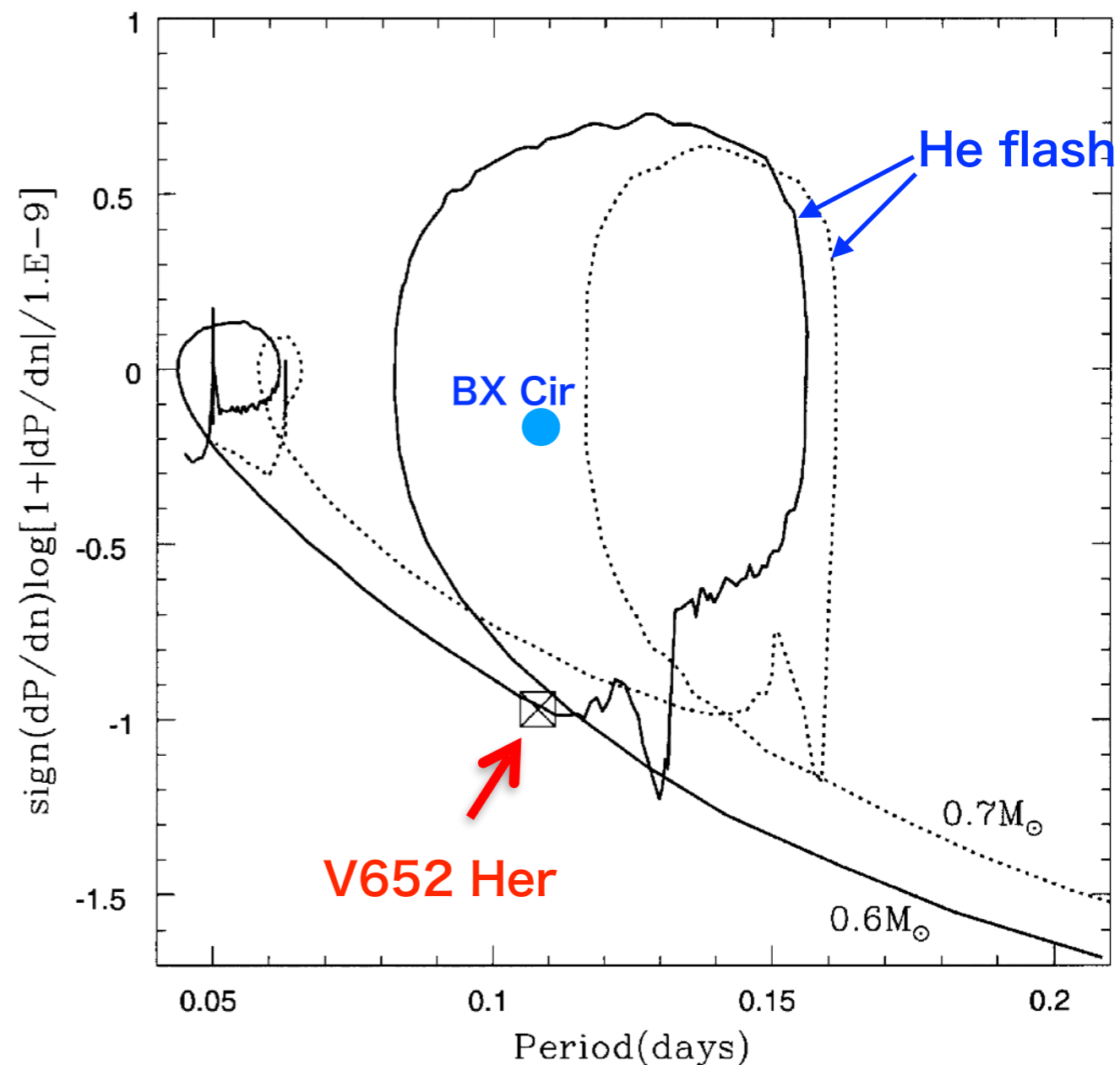
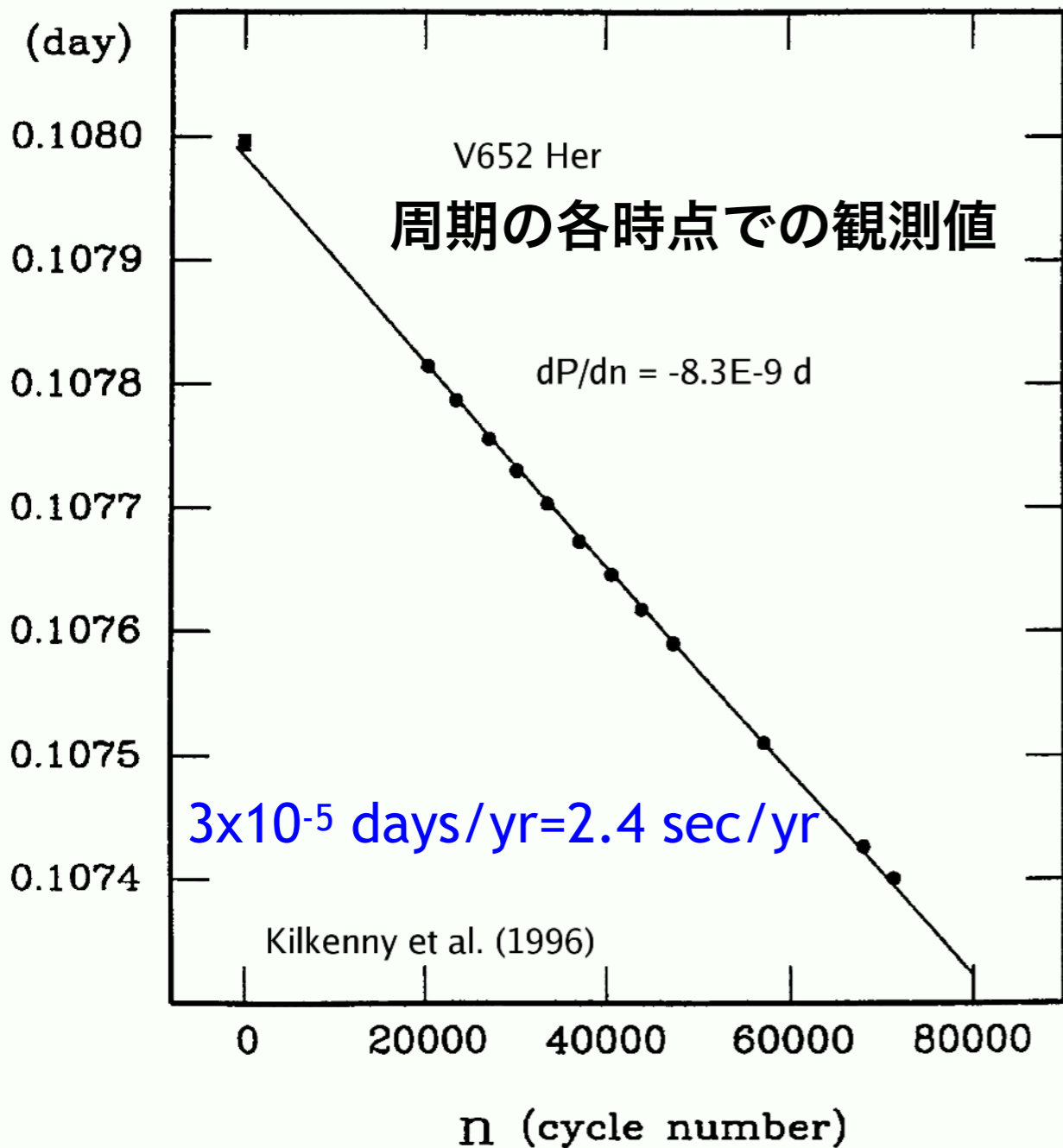
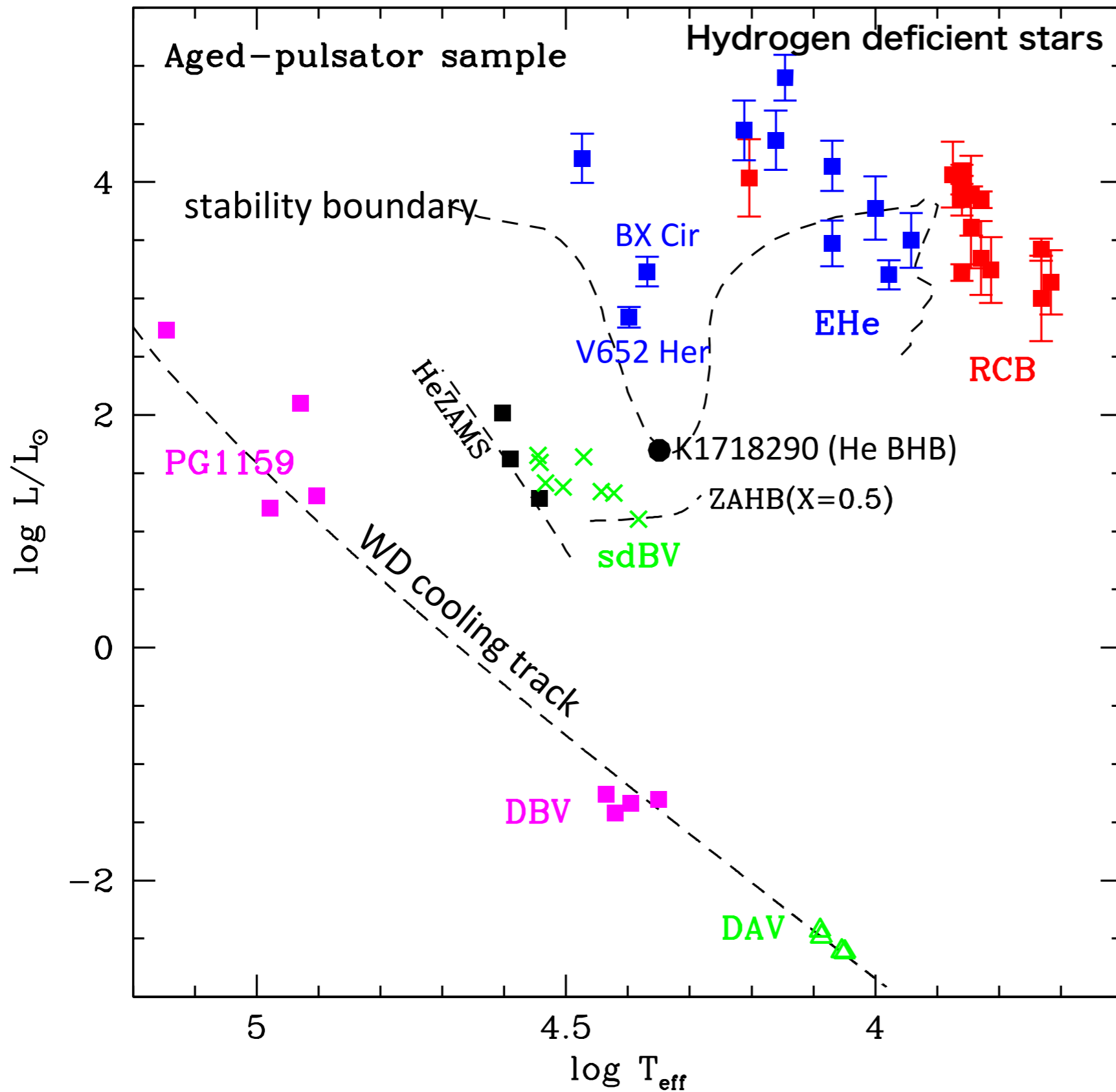


Figure 4. The rate of period change versus period for 0.7- and 0.6- $M_{\odot}$  cases, where  $dP/dn$  is the period change per cycle in days. The crossed square indicates the observed period and the period change rate of V652 Her (Kilkenny et al. 1996).  
Saio & Jeffery (2000)



### Strange-mode instability

$$\frac{\partial \Delta P}{\partial m} \approx -\frac{\kappa_{\rho} \kappa F}{c} \frac{\Delta \rho}{\rho}$$

Violent excitation

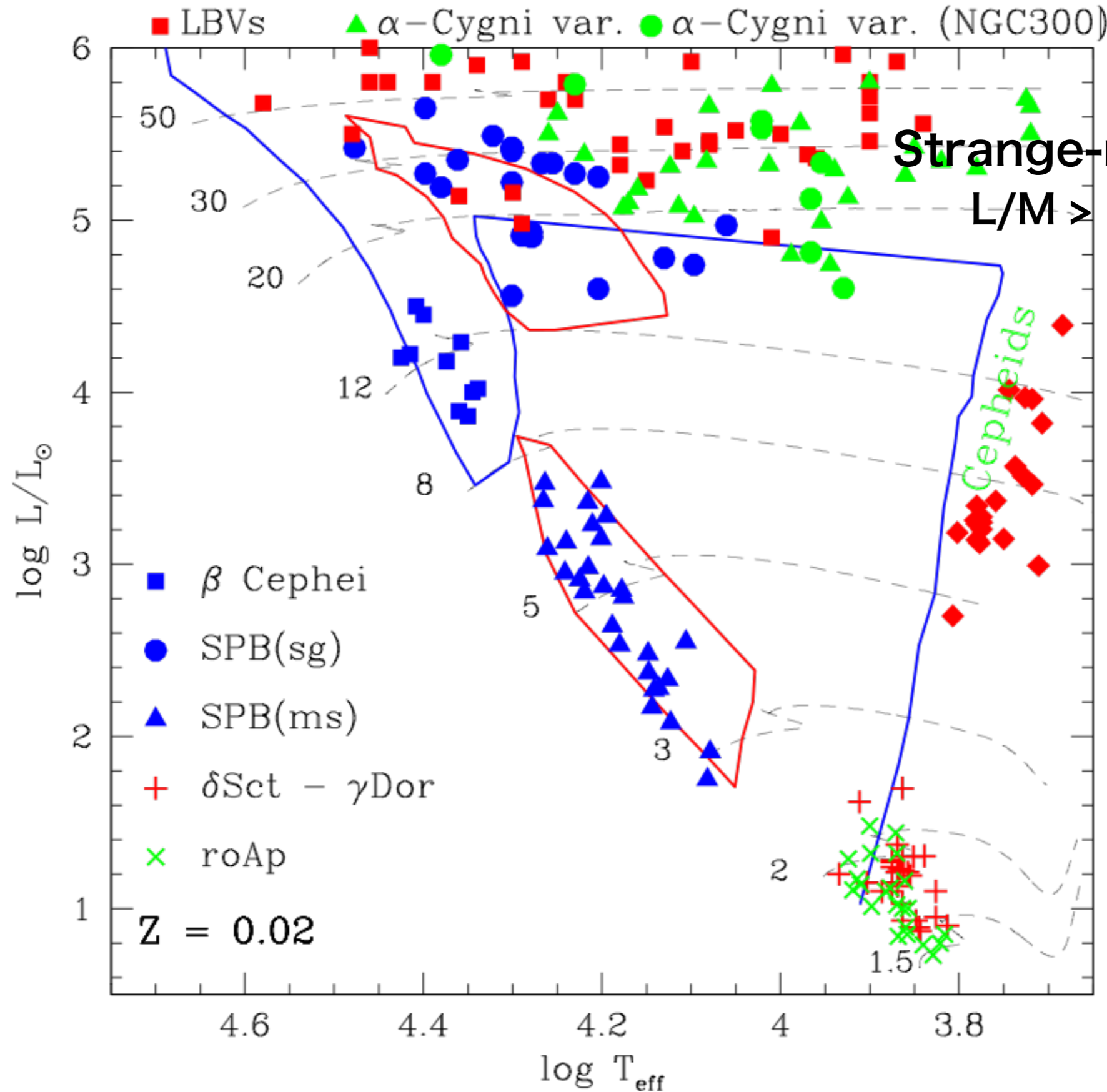
kappa-mechanism  
excitation

$$\frac{\Delta P}{P} \approx \Gamma_1 \frac{\Delta \rho}{\rho}$$

Slow excitation

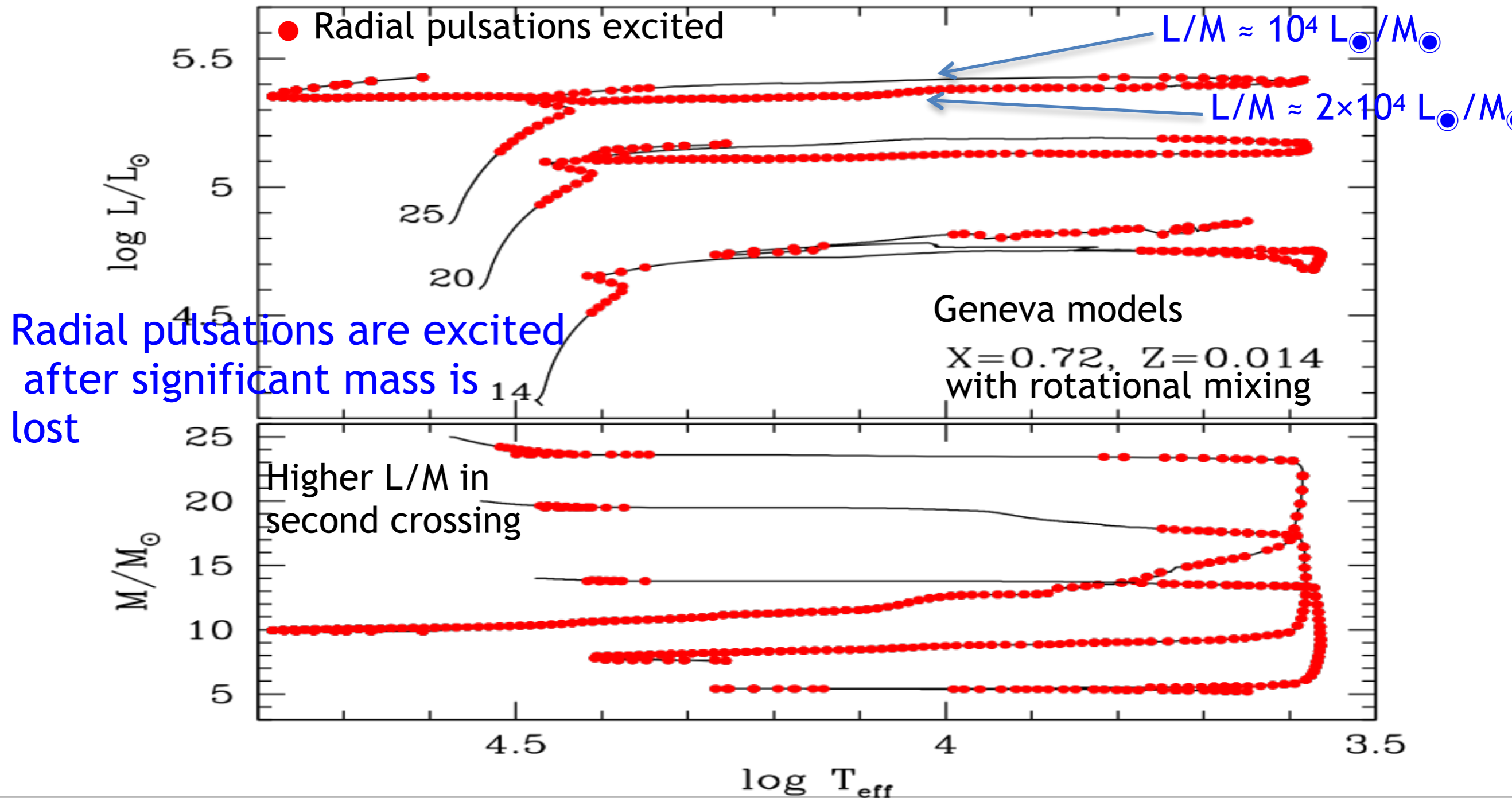
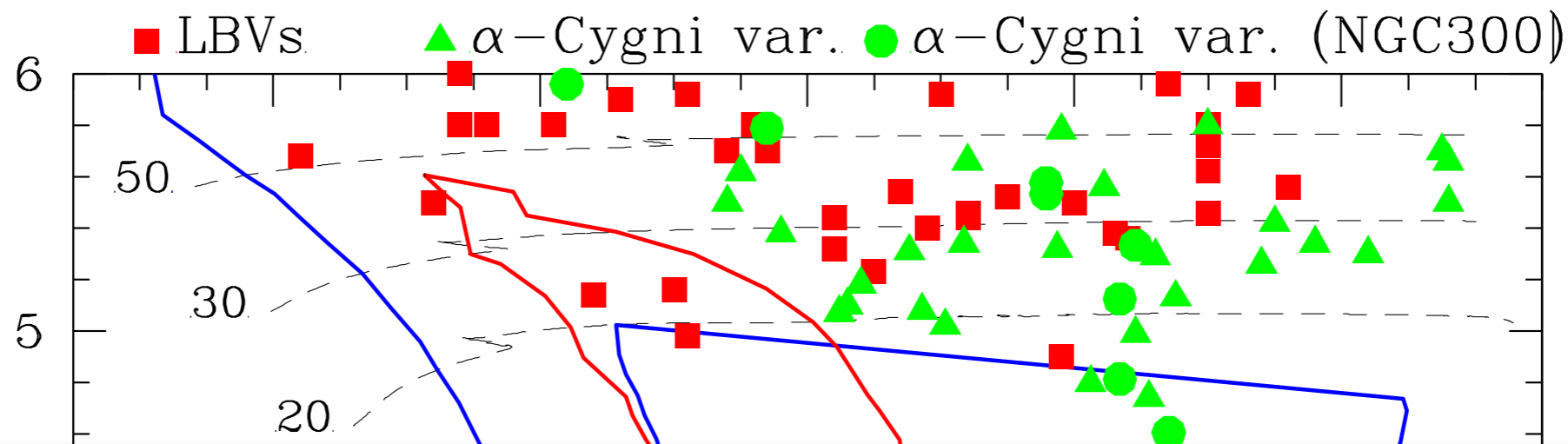
1. 恒星振動(脈動) の 基本的性質
2. 恒星振動から知る恒星自転速度
3. r (Rossby) mode 振動
4. 脈動周期変化率と恒星進化速度
5. 進化の進んだ大質量星の脈動
6. Betelgeuse ( $\alpha$  Ori) の脈動

# B-A type pulsators and instability boundaries

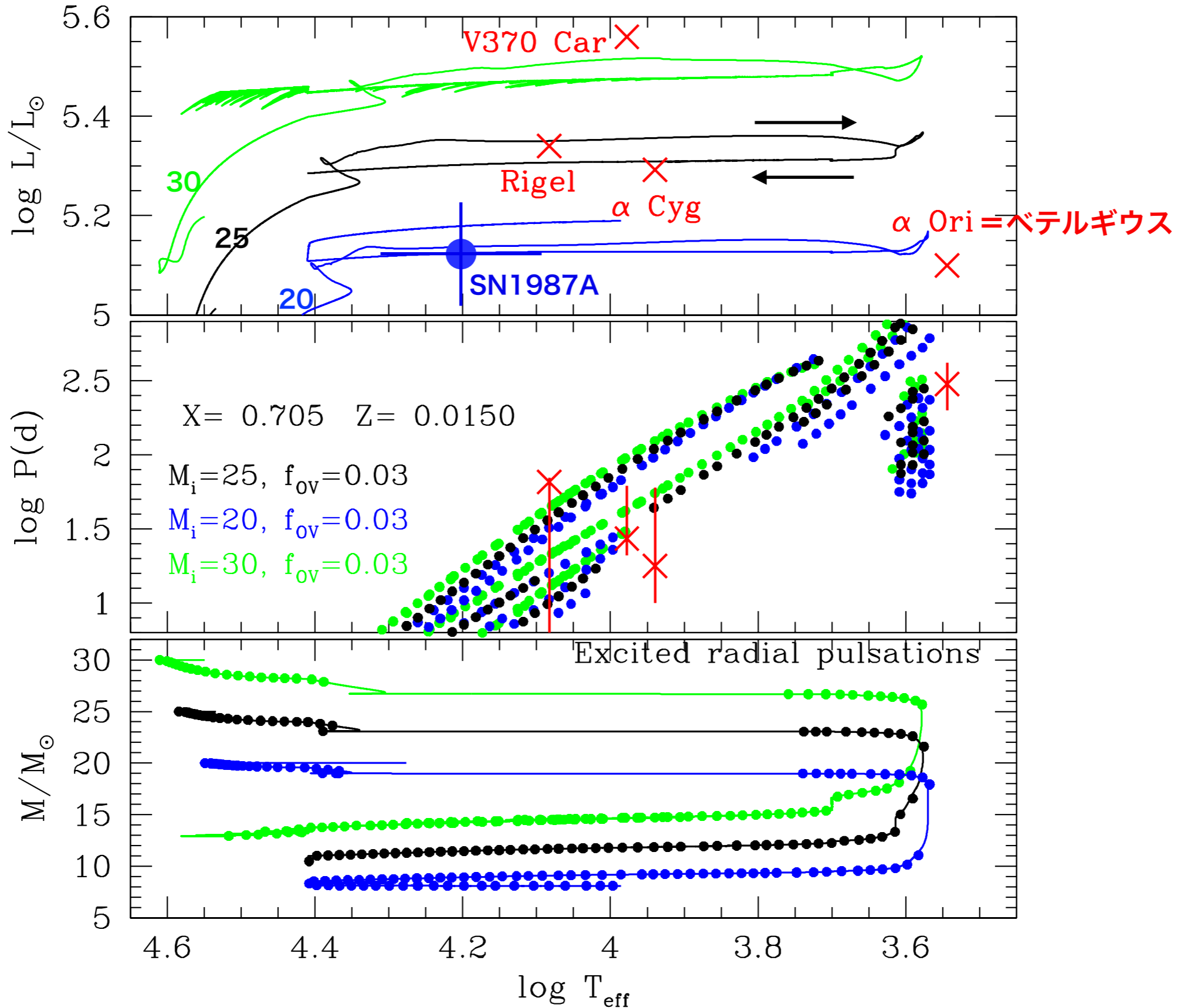




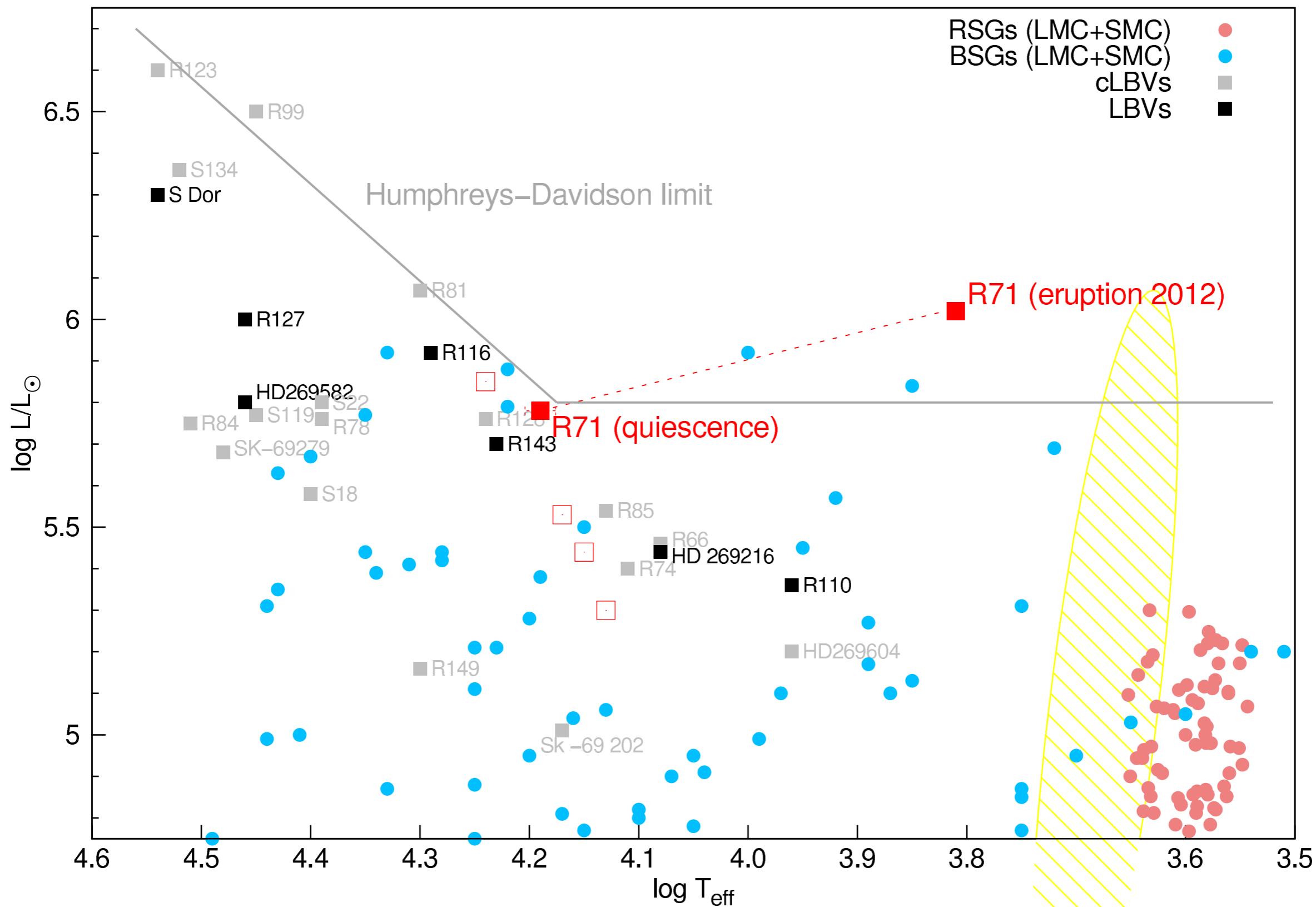
# $\alpha$ Cygni variables



リゲル, デネブは赤色超巨星の時代に十数太陽質量を放出した後  
青色超巨星に戻ってきた

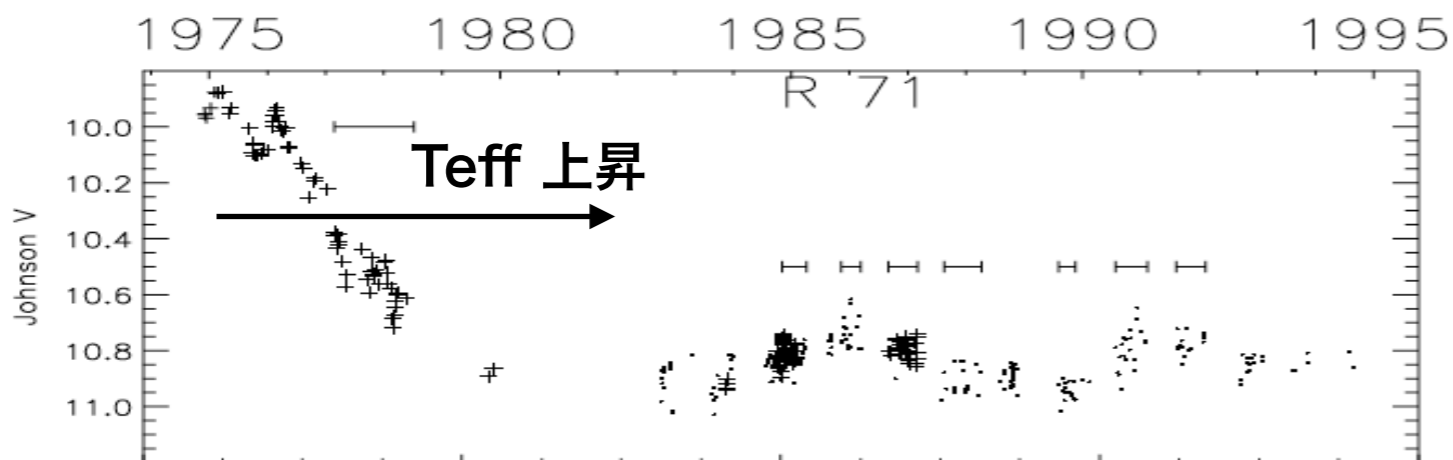


# ■ LBVs (Luminous Blue Variables)

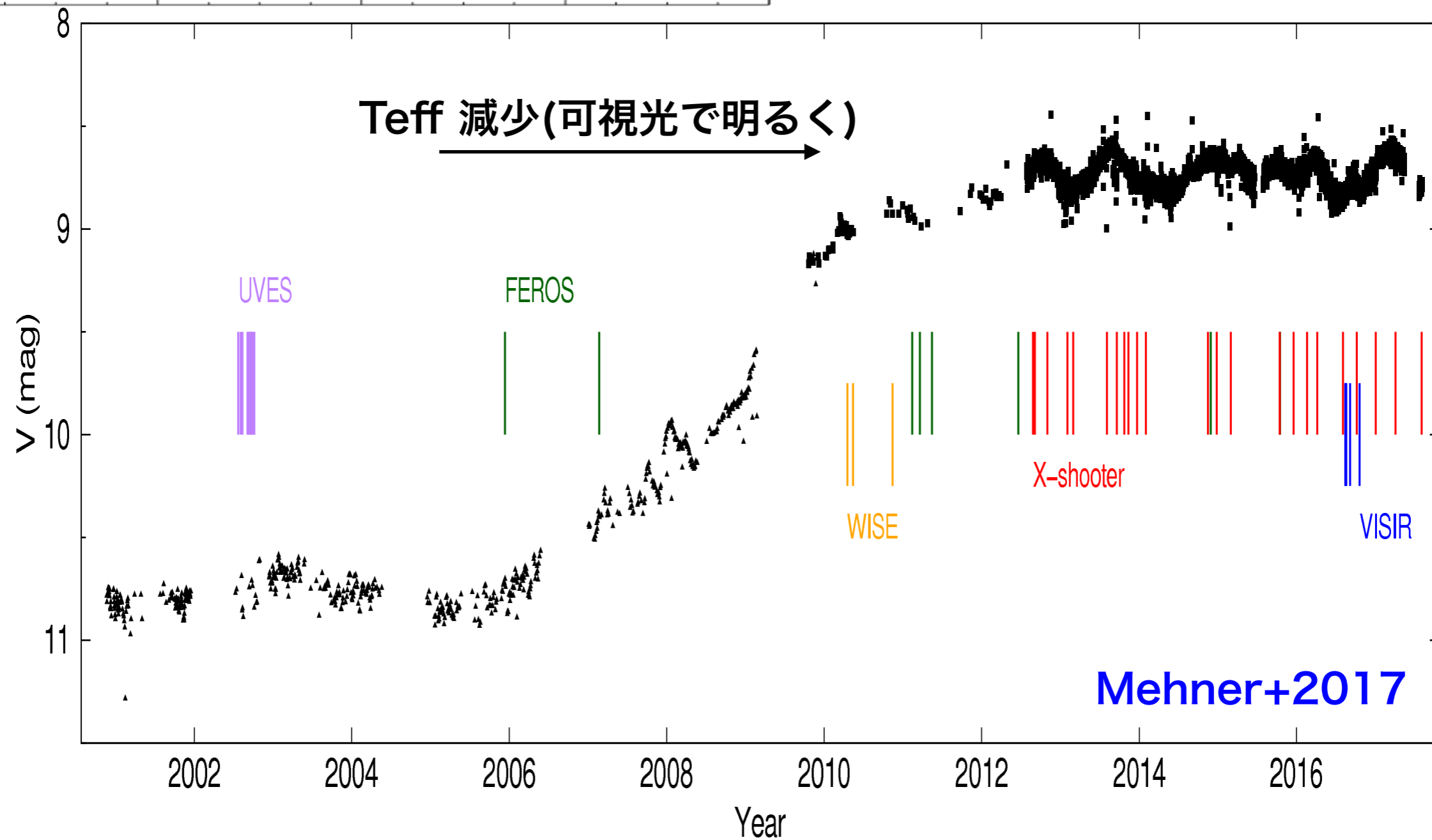


Mehner+2017

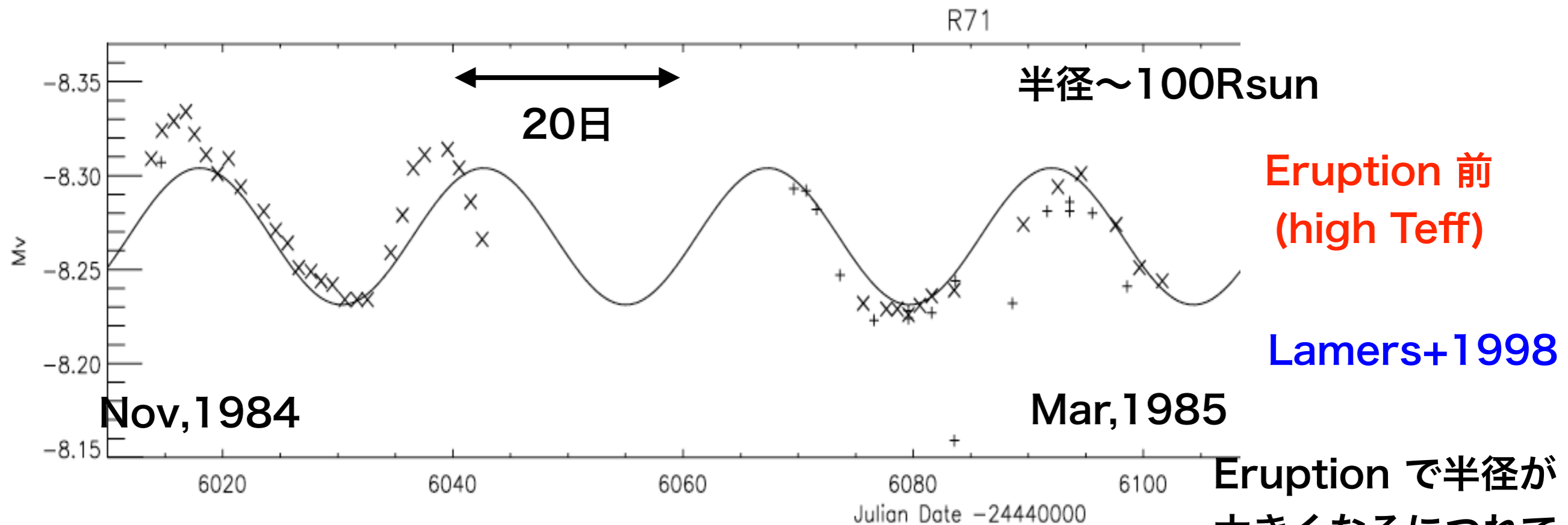
# LBV (Luminous Blue Variable) R71 in LMC



Lamers+1998

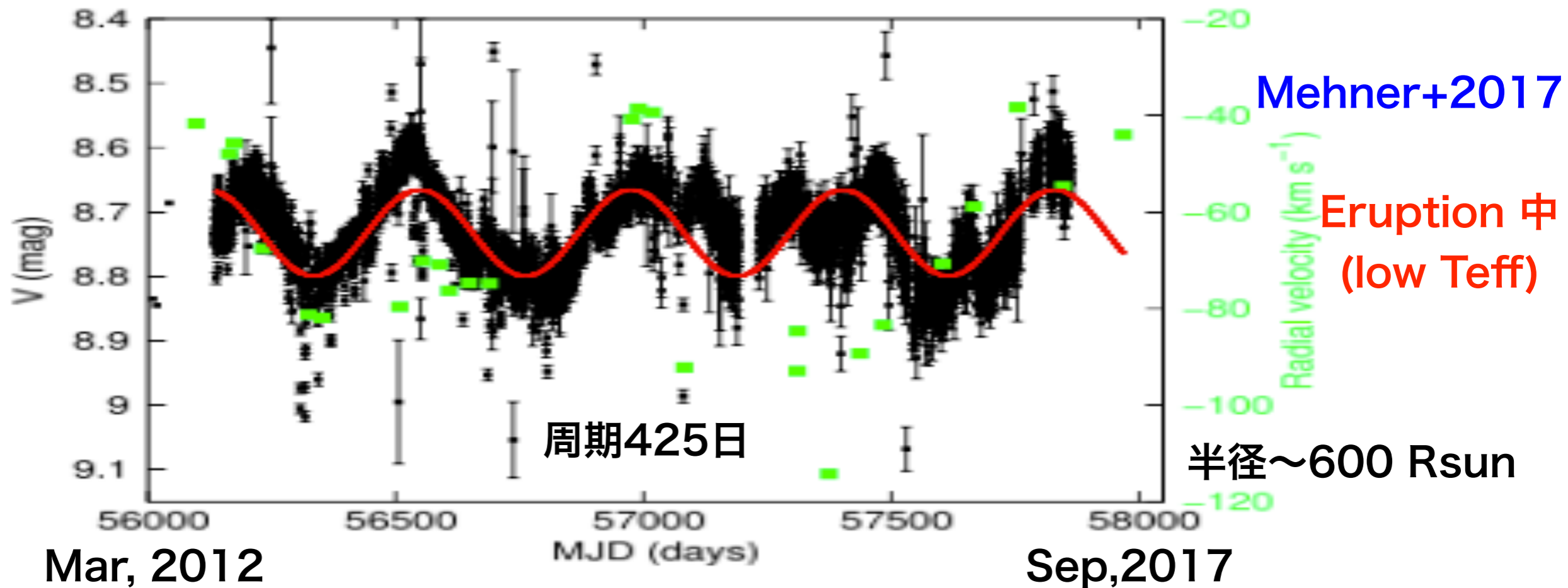






## Pulsations of the LBV R71 in LMC

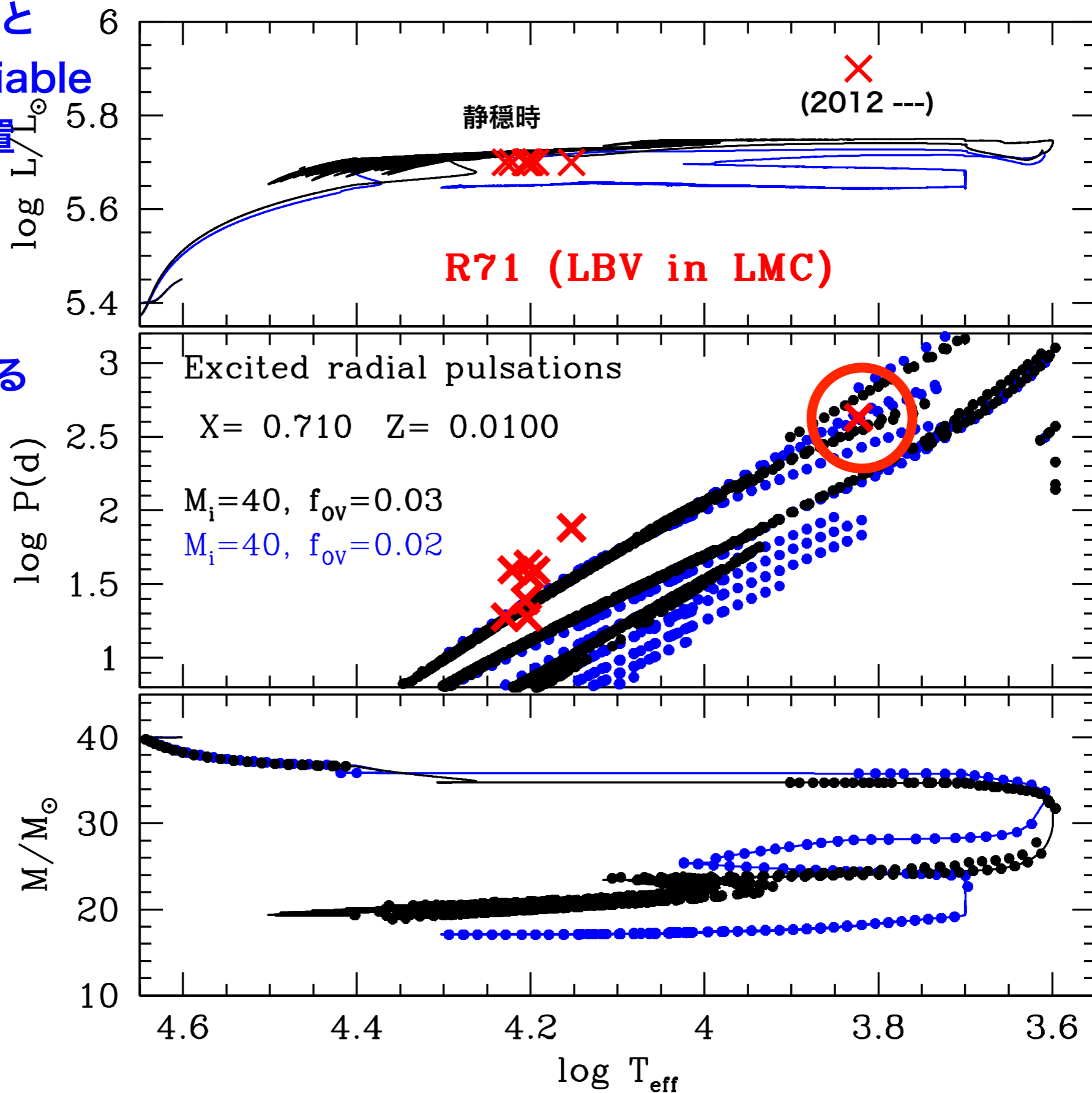
Eruption で半径が  
大きくなるにつれて  
脈動周期が伸びる



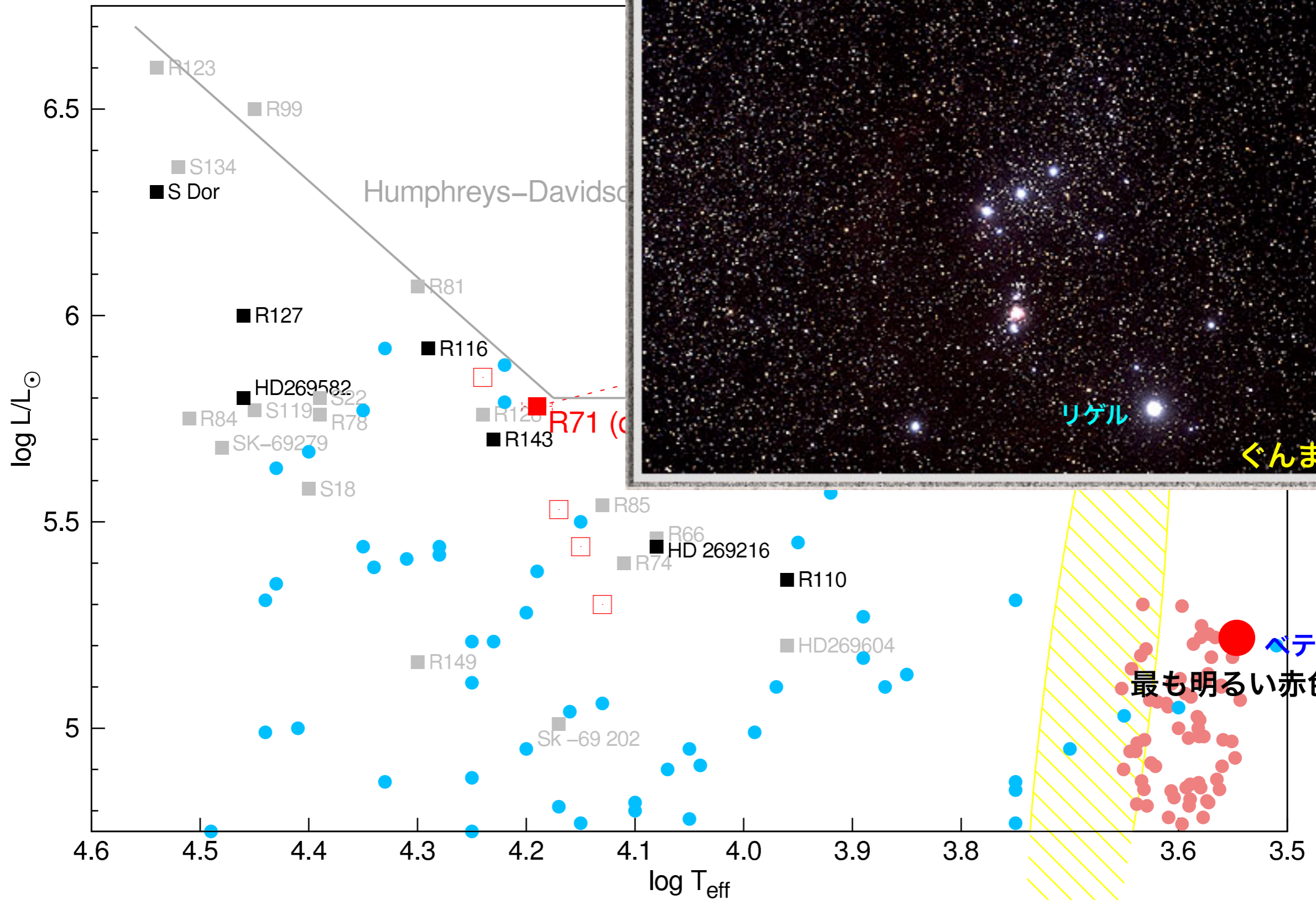
初期質量=40Msunの  
Model の進化経路と  
Luminous Blue variable  
(LBV) R71 の位置

進化の途中で予想される  
脈動周期 - Teff  
関係とR71の  
脈動周期

進化途中での  
質量放出による  
質量変化  
(質量が十分減少  
すると脈動が起こる)



# ベテルギウス

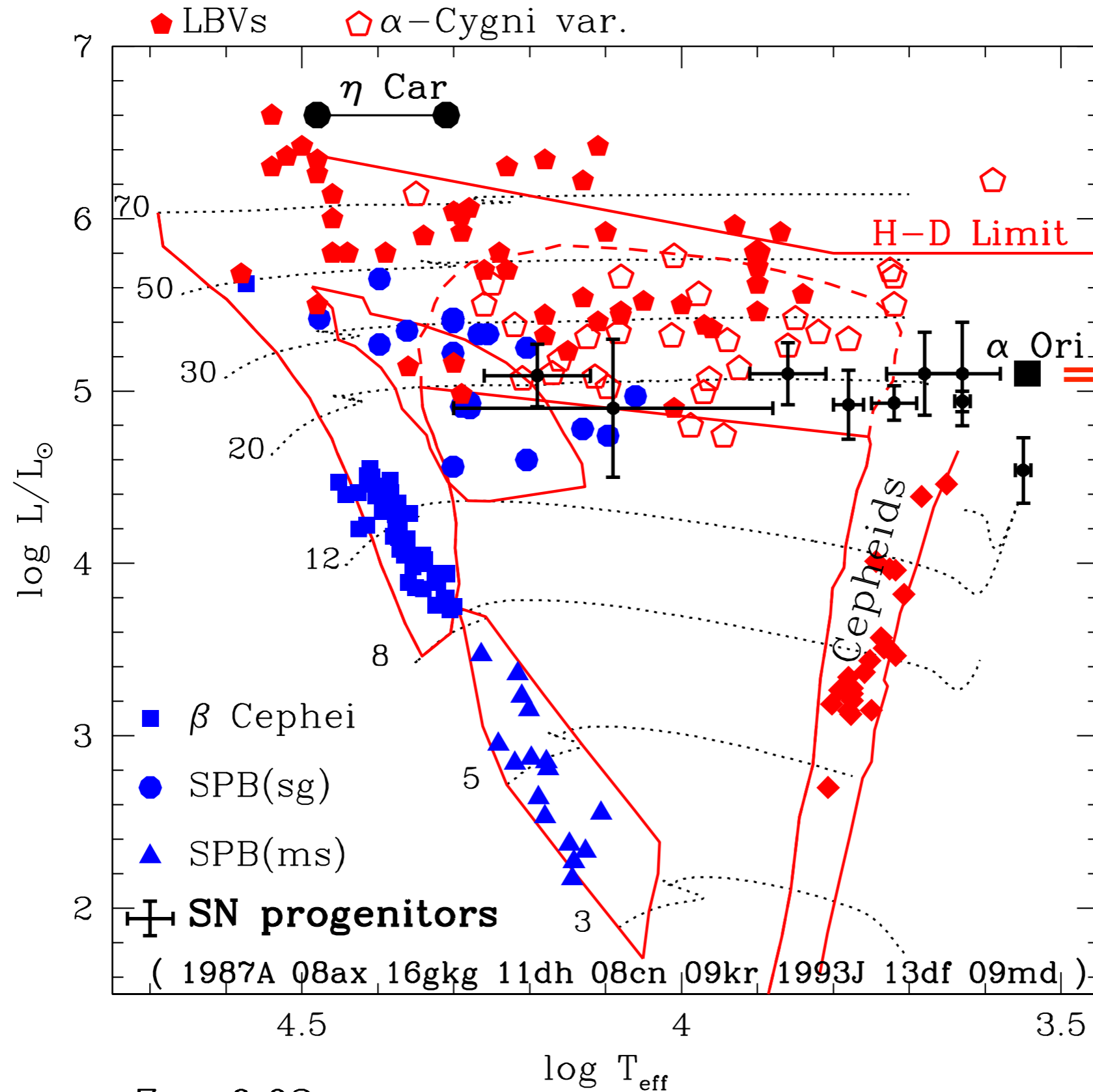


ベテルギウス  
最も明るい赤色超巨星

Mehner+2017



# Betelgeuse, some SN progenitors , & 大中質量脈動星



**≡ベテルギウス**

パラメータが知られている  
 ほとんどの超新星親星  
 と同程度のLuminosity

--> Betelgeuse が将来  
 (Black hole ではなく)  
 超新星となることは確実



# Betelgeuse ( $\alpha$ Ori)

V= 0.42, R= -1.17, I= -2.45 mag, SpType M1-2 Iab-a,

距離 : 190 pc (620光年) (LMC 約16万光年の0.004倍)

Teff =  $3500 \pm 200$  K,  $\lg(\text{Teff}) = 3.544 \pm 0.025$

$\lg L/L_{\odot} = 5.1 \pm 0.22$  (Dolan et al. 2016);  $5.22 \pm 0.16$  (Harper et al. 2017)

表面のC,N,O 組成比 :  $\lg(\text{N/C}) = 0.19 \pm 0.25$  &  $\lg(\text{N/O}) = -0.2 \pm 0.36$

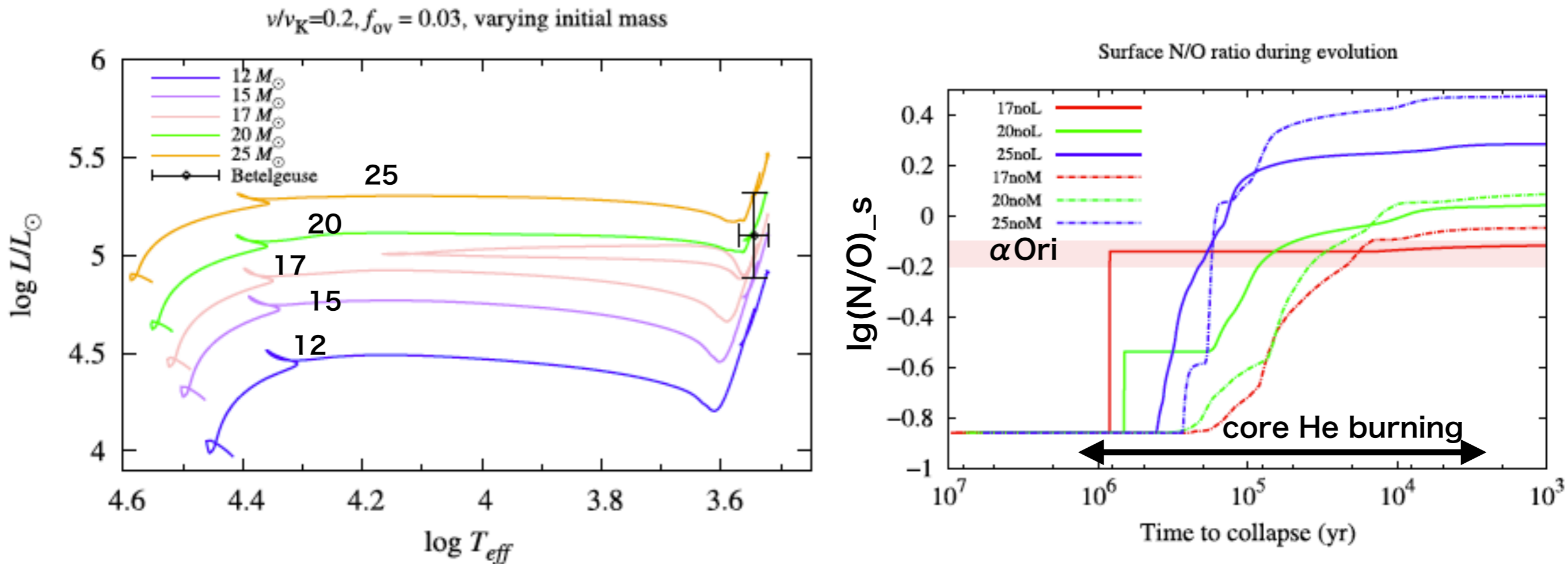
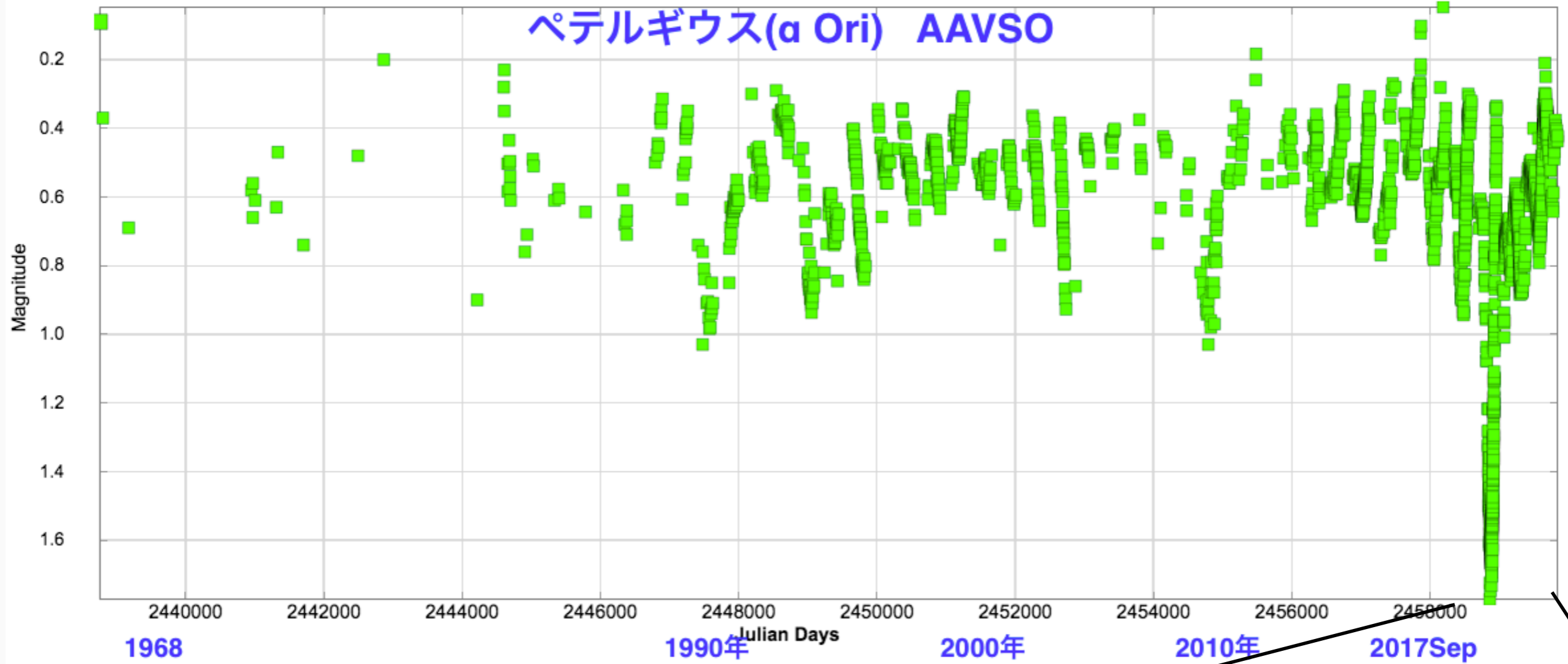


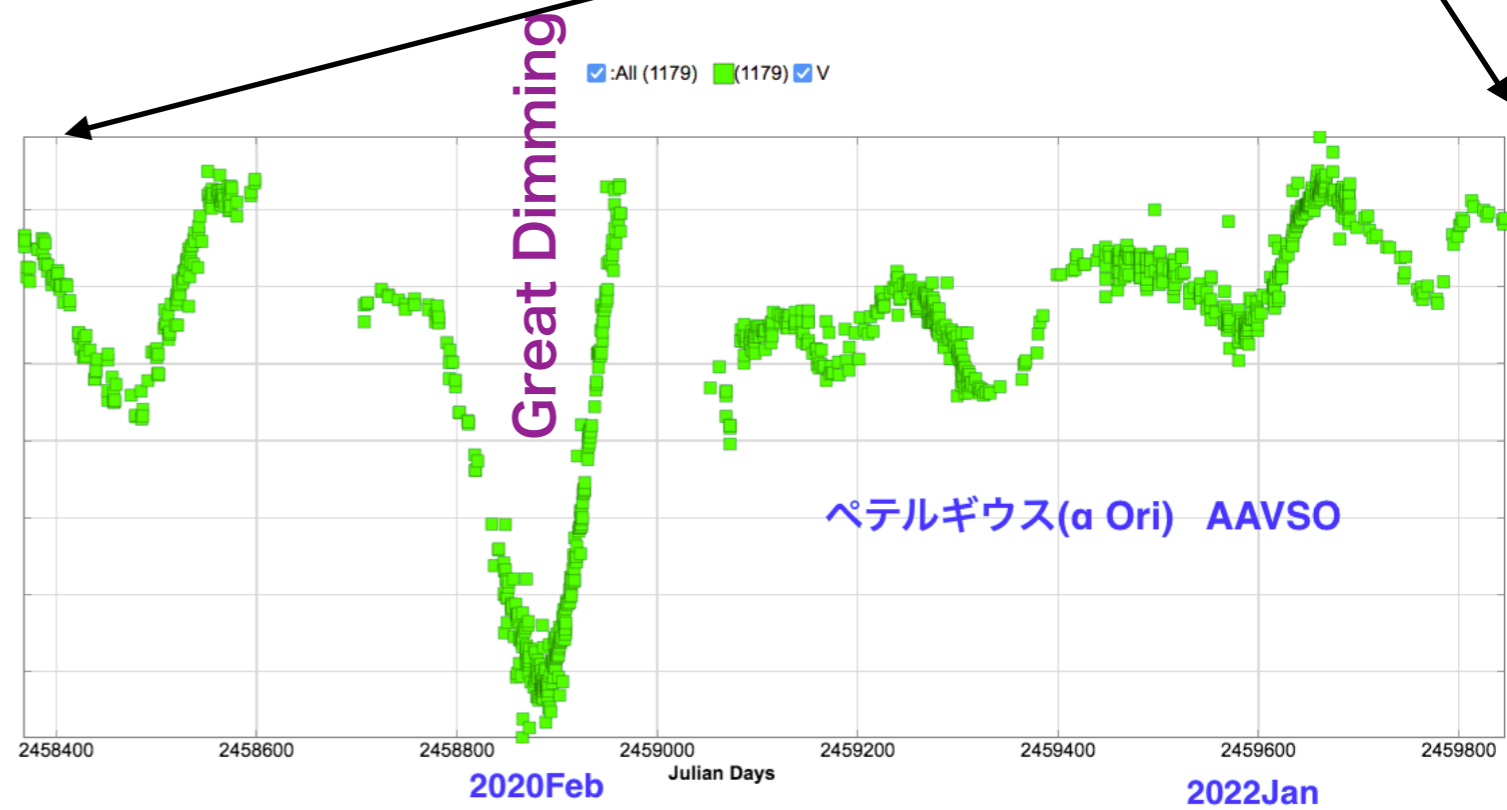
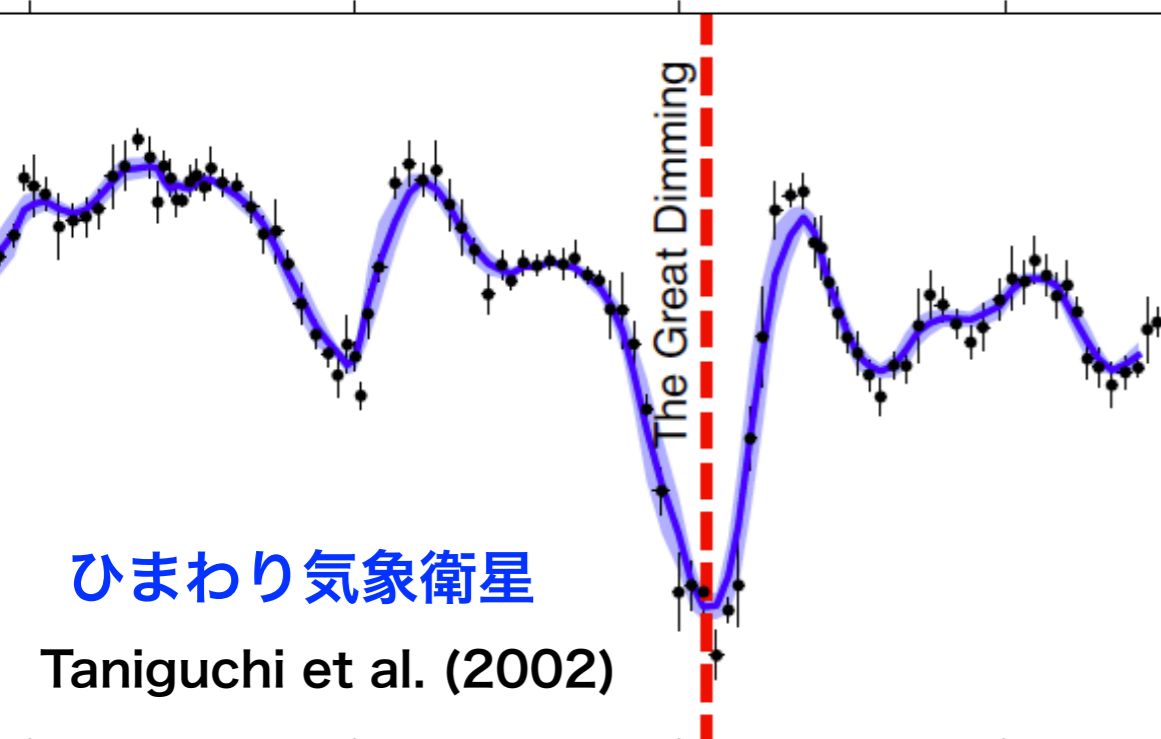
Figure 5. Evolution tracks for the 12–25  $M_{\odot}$  models with  $v/v_K = 0.2$  and  $L_A$ .

Luo et al. (2022)

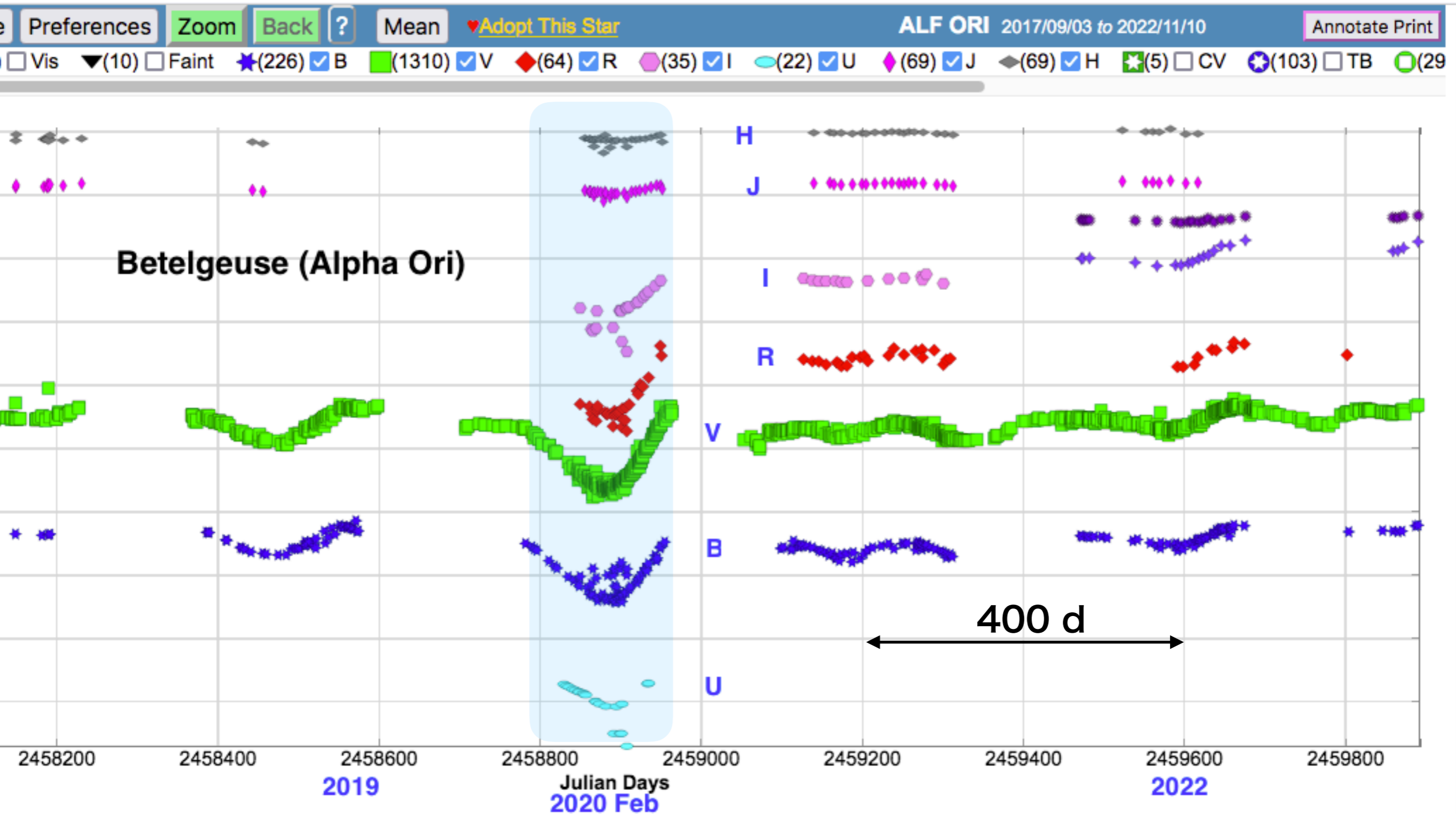
Luo et al. (2022)



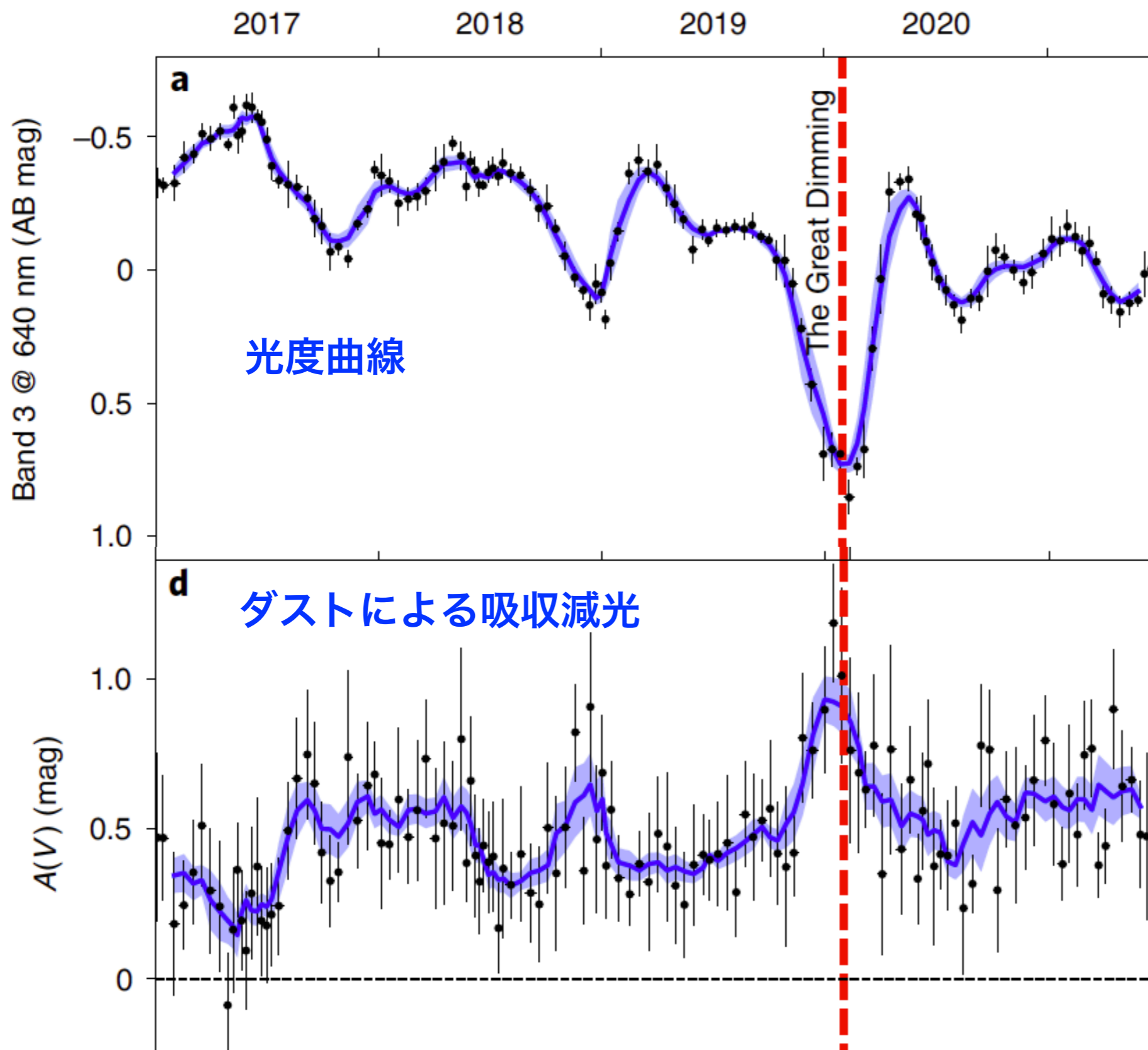
2018 2019 2020



# Betelgeuse light curves



# ベテルギウス (ひまわり気象衛星による観測)



Great Dimming  
— 大量のダストの放出



# Hydrogen-deficient supergiant stars

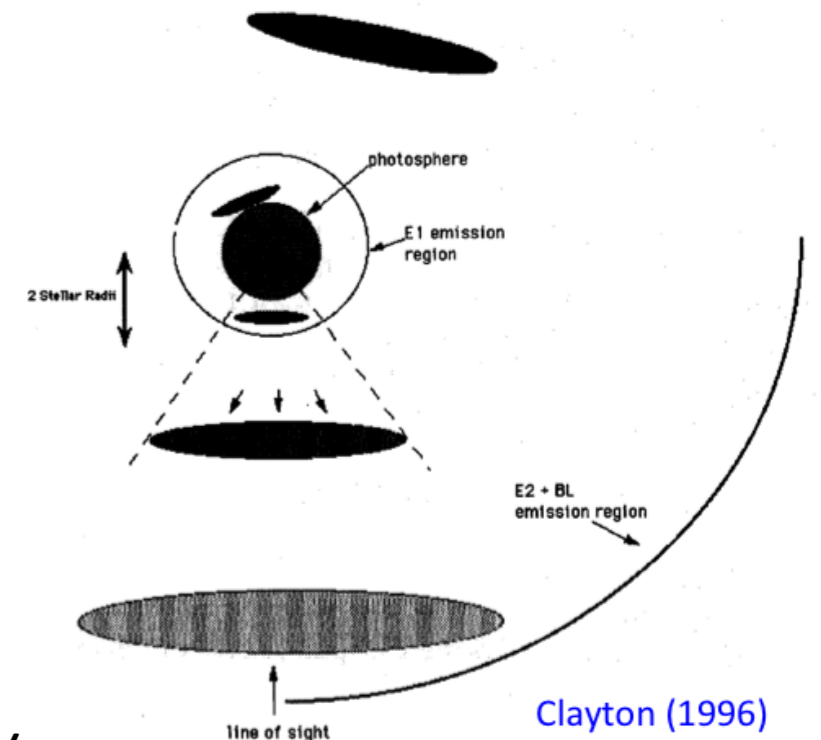
R Coronae Borealis (R CrB) の不規則で大幅な減光

$$L \approx 10^4 L_{\odot}$$

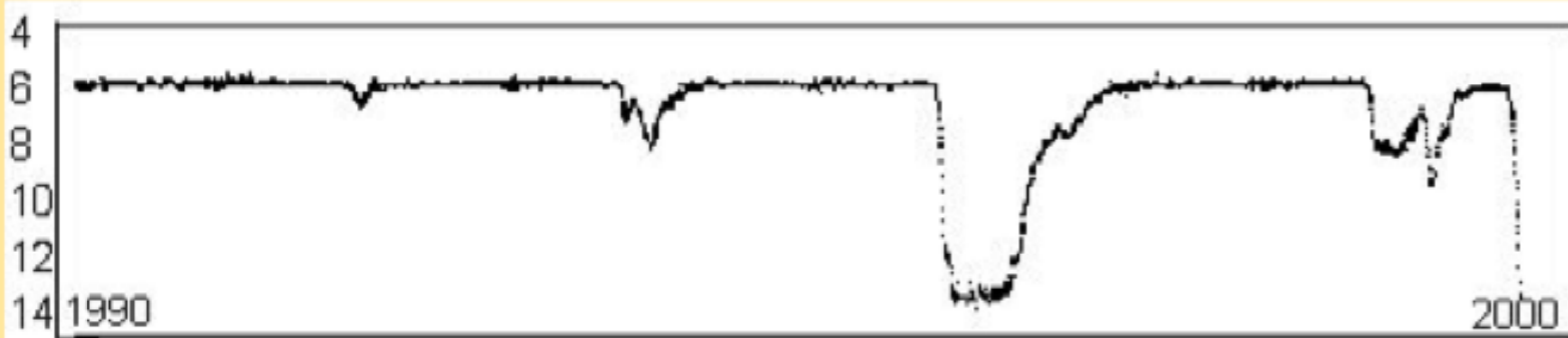
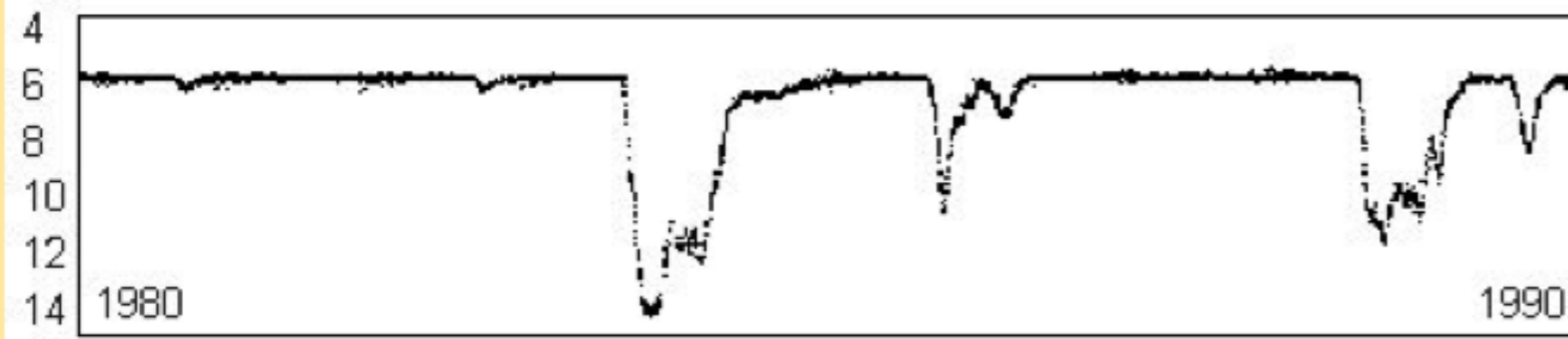
$$M \approx 0.8 \pm 0.1 M_{\odot}$$

$$T_{\text{eff}} \approx 8000\text{K}$$

RCB stars の不規則な減光のモデル  
ダストがランダムな方向に形成される

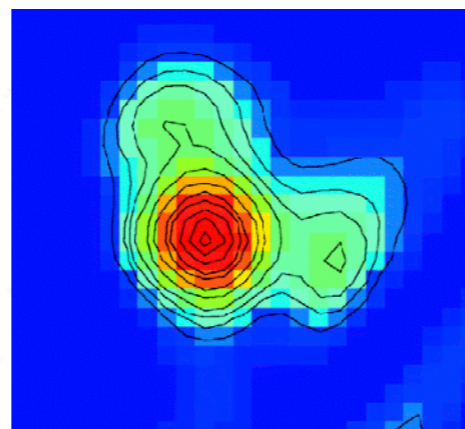
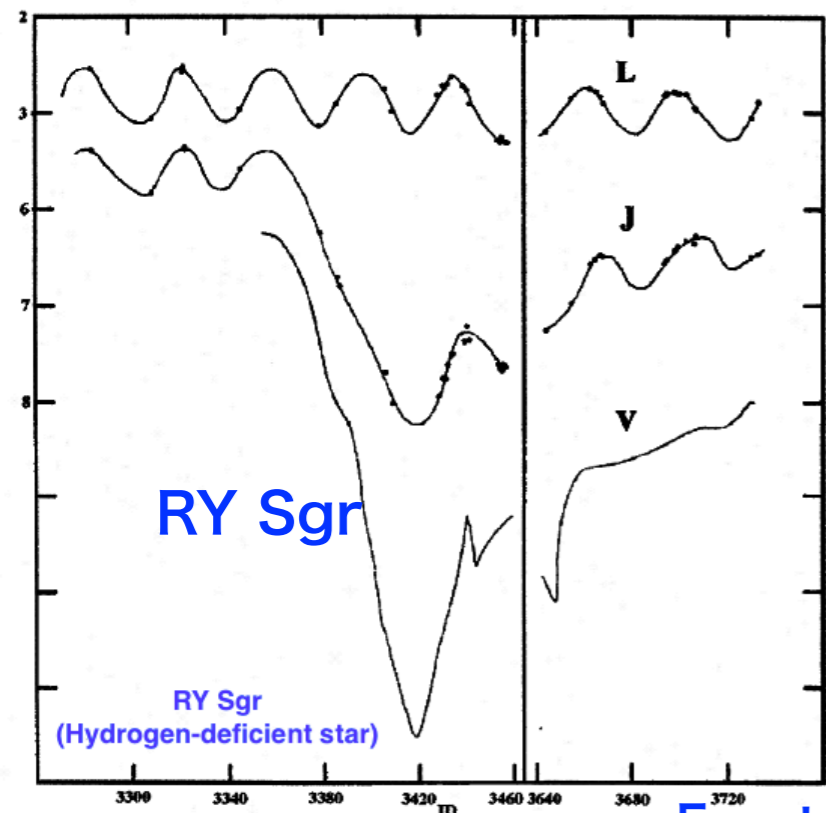


Magnitude



Year

AAVSO light curve of R Coronae Borealis from 1980 to 1999



RY Sgr (VLT)

~40日程度の周期の脈動

Feast (1979)

## RY Sgr (hydrogen-deficient star)

Legend: All (12988) ○ (12118) Vis ▼ (24) Faint ★ (221) B ■ (246) V ◆ (172) R ● (181) I ☒ (1) CV ⚙ (1) TB ○ (47) TG ● (1) NA

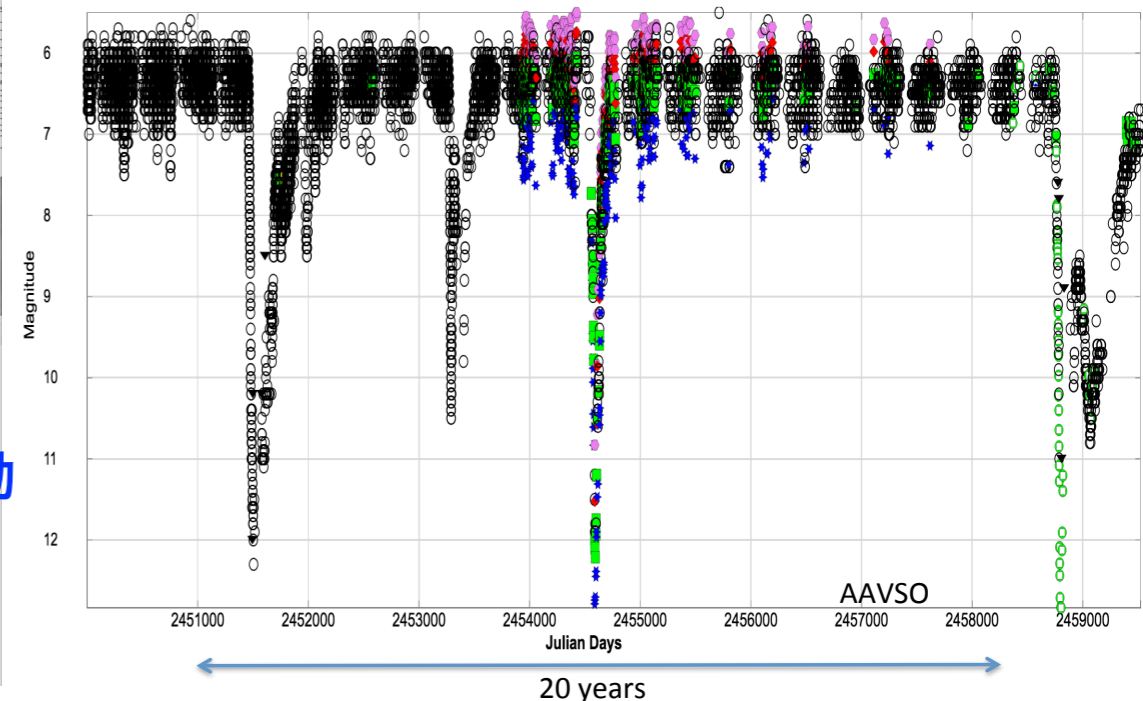


FIG. 6—V-band (lower curve), J-band (middle curve) and L-band (upper curve) photometry through a decline of RY Sgr. The V band is mostly stellar flux while the emission in the L band is primarily due to circumstellar dust. (From Feast, 1979; © Univ. of Waikato, reproduced with permission.)

# Betelgeuse は多周期脈動星

Jadlovsky et al. (2022):

$$P1 = 2190 \pm 270 \text{ d}$$

$$P2 = 417 \pm 17 \text{ d}$$

$$P3 = 230 \pm 29 \text{ d}$$

(and  $365 \pm 75 \text{ d} \sim 1 \text{ year}$   
 $185 \pm 4 \text{ d} \sim 0.5 \text{ yr}$ )

Ogane et al. (2022):

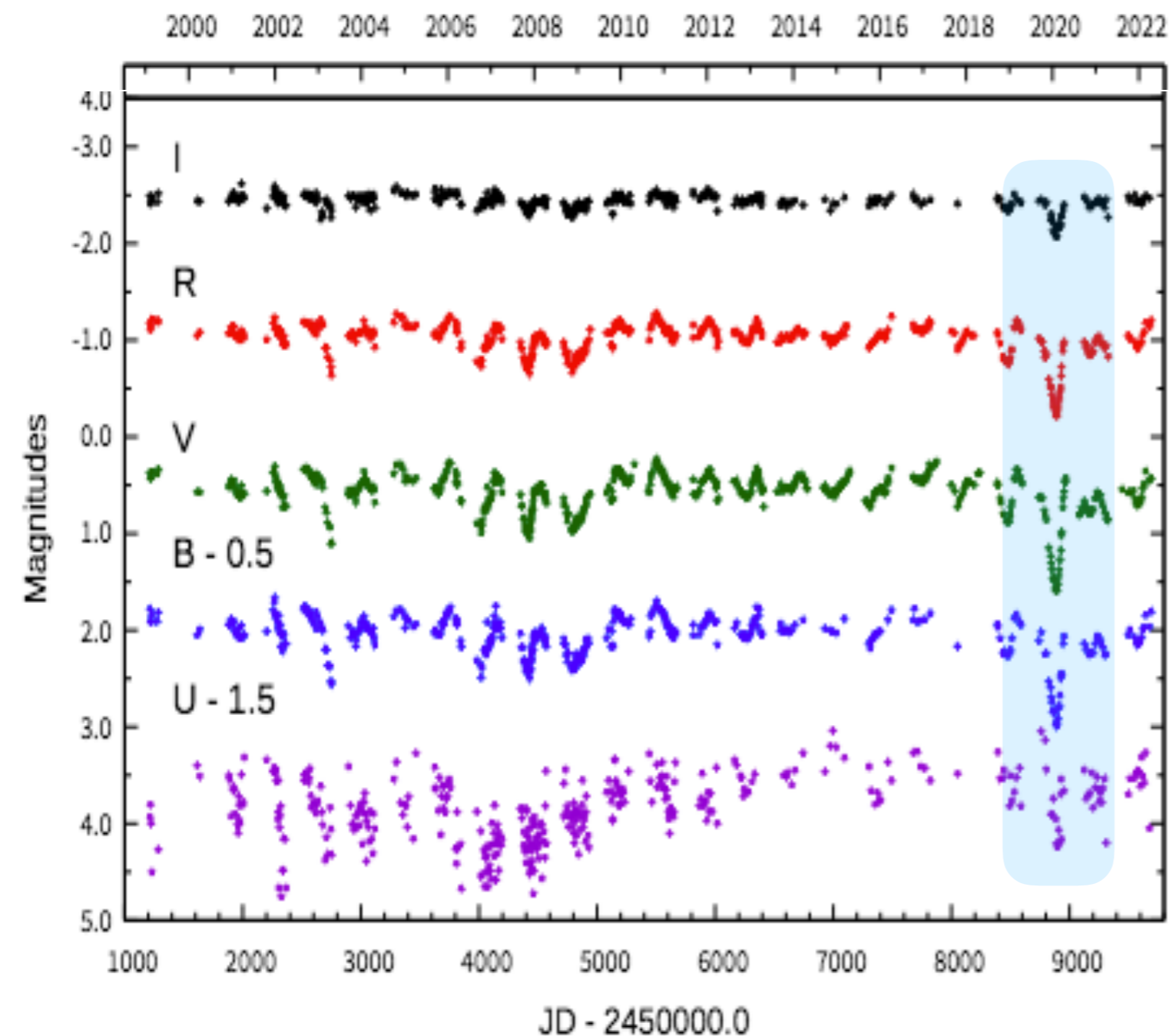
$$P1=2146 \text{ d} \ \& \ P2= 405 \text{ d.}$$

Joyce et al(2020):

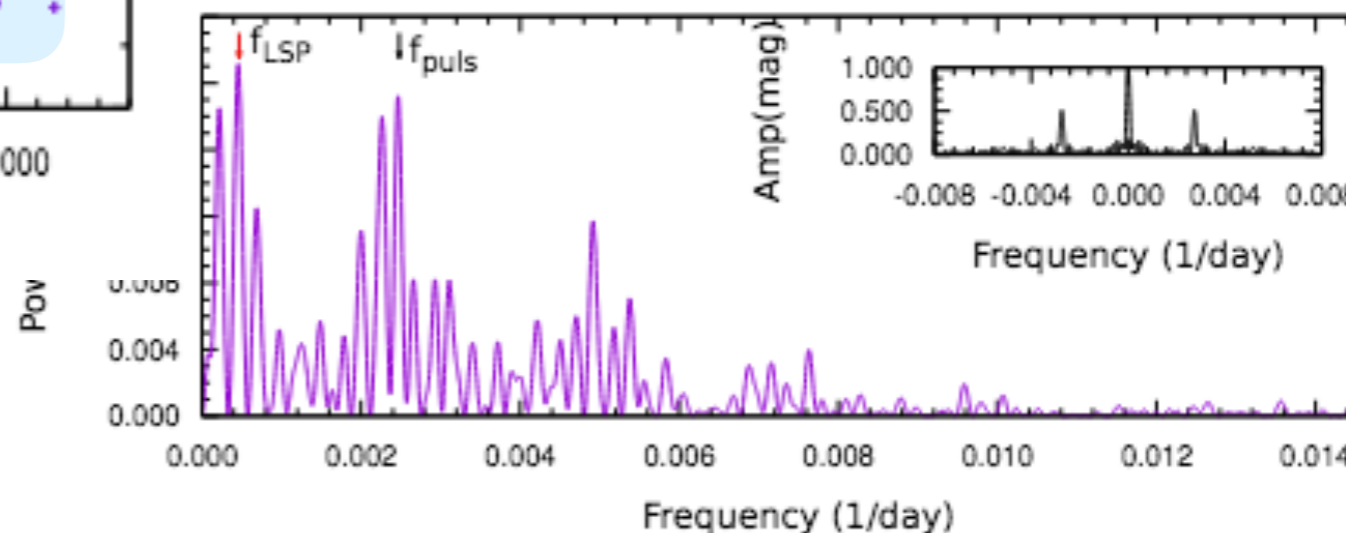
$$2365 \pm 10 \text{ d,}$$

$$416 \pm 24 \text{ d,}$$

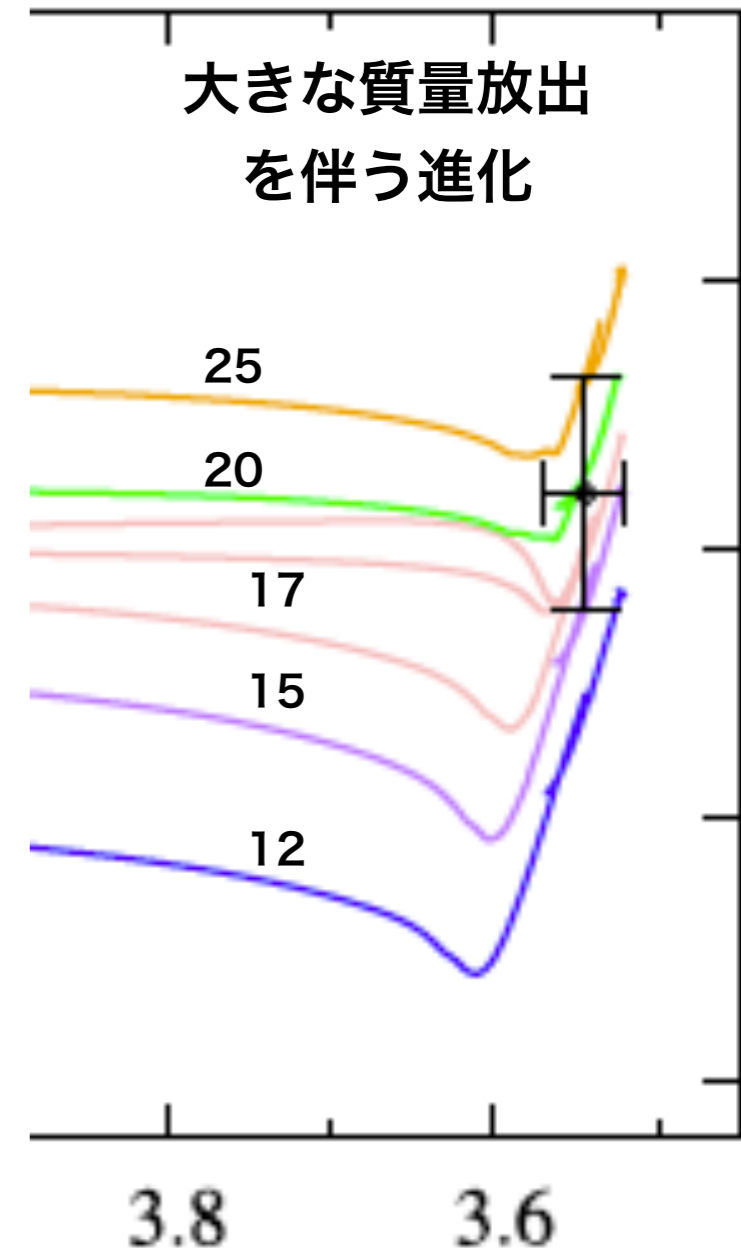
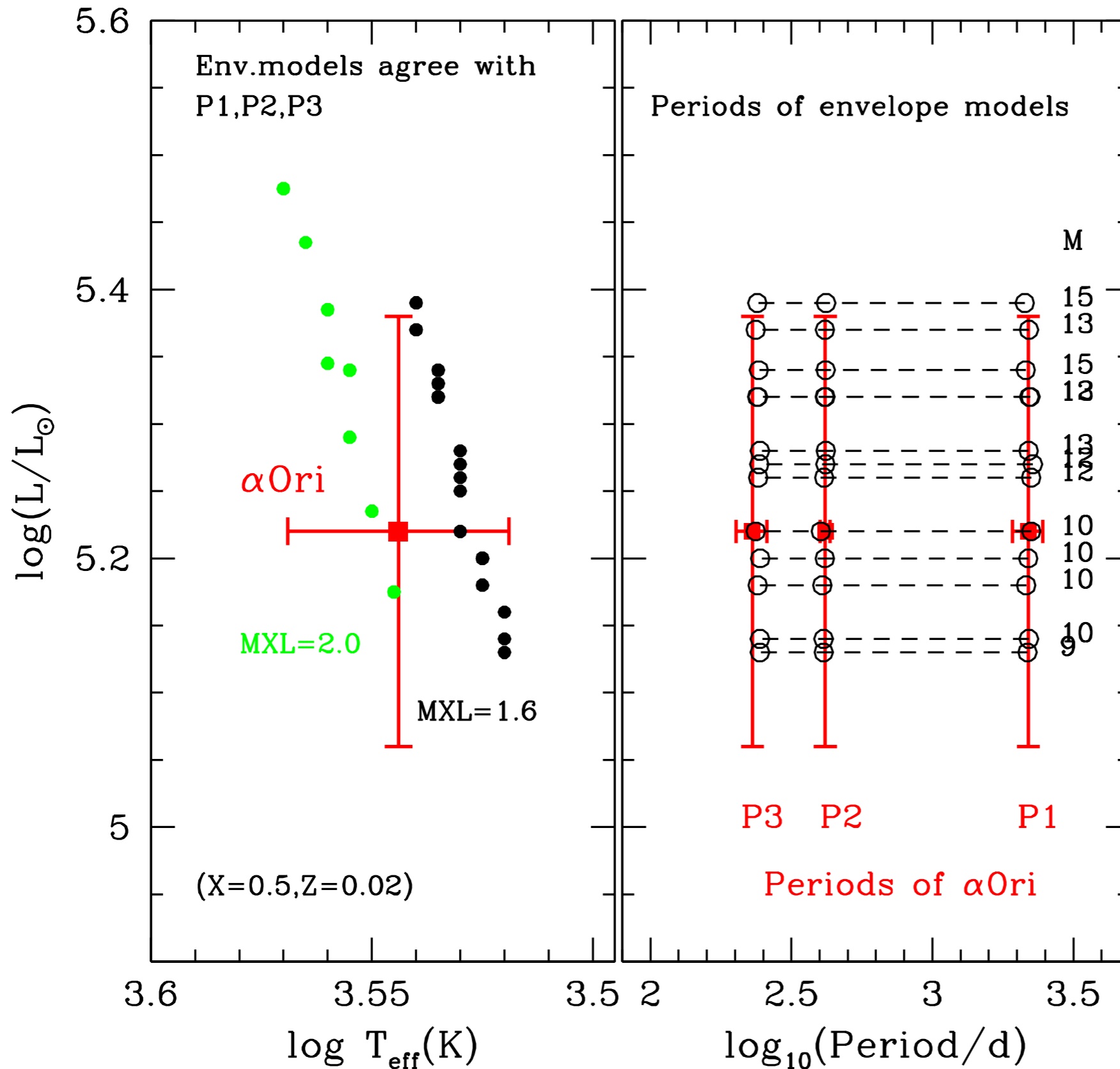
$$185.5 \pm 0.1 \text{ d}$$



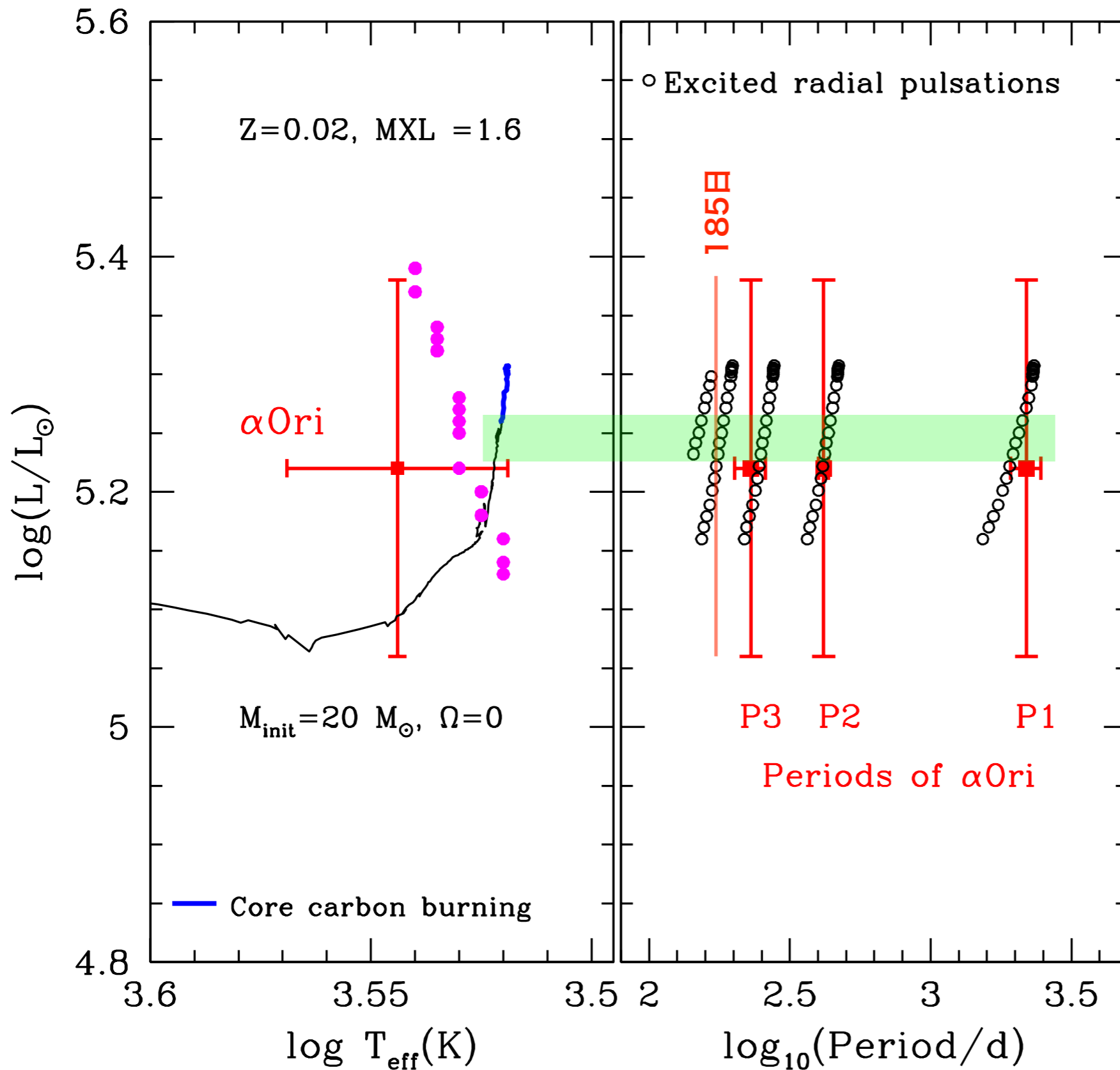
Ogane et al (2022)



# ベテルギウスの脈動周期(P1,P2,P3)と合致する 脈動周期を持つenvelope models (M,L,Teff)



Luo et al. (2022)



ベテルギウスの中心の  
進化段階は  
C-burning 直前 ( $Y_{\text{c}}=0$ )  
または  
C-burning 初期?



# 各中心燃焼段階でのlifetimes と parameters

(Maeder 2009)

Table 28.1. The main parameters in the advanced evolution of a 15 M<sub>⊙</sub> star. From S.E. Woosley and Th.Janka [638] 15 Msun

Stage	Timescale	Fuel	Ashes	$T(10^9)$ K	$\rho$ g cm <sup>-3</sup>	$L/L_{\odot}$ photons	$L_{\nu}/L_{\odot}$ neutrinos
H	$1.1 \times 10^7$ yr	H	He	0.035	5.8	$2.8 \times 10^4$	$1.8 \times 10^3$
He	$2.0 \times 10^6$ yr	He	C,O	0.18	$1.4 \times 10^3$	$4.4 \times 10^4$	$1.9 \times 10^3$
炭素燃焼 ネオン燃焼 酸素燃焼 シリコン燃焼 C	$2.0 \times 10^3$ yr	C	Ne,Mg	0.81	$2.8 \times 10^5$	$7.2 \times 10^4$	$3.7 \times 10^5$
Ne	0.7 yr	Ne	O, Mg	1.6	$1.2 \times 10^7$	$7.5 \times 10^4$	$1.4 \times 10^8$
O	2.6 yr	O,Mg	Si,S,Ar,Ca	1.9	$8.8 \times 10^6$	$7.5 \times 10^4$	$9.1 \times 10^8$
Si	18 d	Si,S, Ar,Ca	Fe,Ni, Cr,Ti	3.3	$4.8 \times 10^7$	$7.5 \times 10^4$	$1.3 \times 10^{11}$
Fe core collapse	~ 1 s	Fe,Ni, Cr,Ti	n star	~ 7.1	$> 7.3 \times 10^9$	$7.5 \times 10^4$	$> 3.6 \times 10^{11}$

$$\frac{(LMC: 50 \text{ kpc})^2}{(\alpha Ori : 0.2 \text{ kpc})^2} = 6.25e4$$

Lifetimes in years (exponent in parenthesis)

$M_{ZAMS}$	15	15	20	20	40	40	60	60
$v_{ZAMS}$ rot (km/s)	0	300	0	300	0	300	0	300
$t_H$	1.13 (7)	1.43 (7)	7.95 (6)	1.01 (7)	4.56 (6)	5.53 (6)	3.62 (6)	4.30 (6)
$t_{He}$	1.34 (6)	1.13 (6)	8.75 (5)	7.98 (5)	4.83 (5)	4.24 (5)	3.85 (5)	3.71 (5)
$t_C$	3.92 (3)	1.56 (3)	9.56 (2)	2.82 (2)	4.17 (1)	8.53 (1)	5.19 (1)	5.32 (1)
$t_{Ne}$	3.08	0.359	0.193	8.81 (-2)	4.45 (-2)	6.74 (-2)	4.04 (-2)	4.15 (-2)
$t_O$	2.43	0.957	0.476	0.132	5.98 (-2)	0.176	5.71 (-2)	7.74 (-2)
$t_{Si}$	2.14 (-2)	8.74 (-3)	9.52 (-3)	2.73 (-3)	1.93 (-3)	2.08 (-3)	1.95 (-3)	2.42 (-3)